

UNIVERSIDADE ESTADUAL DE CAMPINAS

FACULDADE DE ENGENHARIA ELÉTRICA

DEPARTAMENTO DE COMUNICAÇÕES

Este exemplar corresponde à redação final da tese
defendida por EDUARDO GUILLERMO CORREA ARANEDA
e aprovada pela Comissão Julgadora em 19 de abril
de 1990.

Eduardo Guillermo Correa Araneda

UMA PROPOSTA DE MODIFICAÇÃO DE UM SISTEMA
MCPD PARA TRANSMISSÃO DE SINAL DE TELEVISÃO
PAL-M EM TAXAS COMPATÍVEIS COM 34 MBIT/S.

AUTOR : EDUARDO GUILLERMO CORREA ARANEDA

ORIENTADOR : YUZO IANO

Tese apresentada à Faculdade de
Engenharia Elétrica da
Universidade Estadual de Campinas
- UNICAMP - como parte dos
requisitos exigidos para obtenção
do título de MESTRE EM ENGENHARIA
ELÉTRICA

MARÇO 1990

P R E F Á C I O

O presente trabalho está dividido em 4 capítulos que tratam de uma proposta de modificação do esquema MCPD ("Modulação por Código de Pulso Diferencial") a fim de se digitalizar um sinal de televisão comercial PAL-M. A taxa-mota para codificação do sinal de vídeo deve ser compatível com aquela usada nos sistemas de transmissão que trabalham com feixes de 34 Mbit/s.

No Cap.I descrevem-se as motivações e as limitações deste estudo. Faz-se também uma descrição geral dos objetivos, ressaltando-se a importância da redução da taxa de bits.

No Cap.II descreve-se o sistema proposto e apresenta-se o equacionamento pertinente ao modelo do esquema bem como as discussões com relação às implicações que acarretam as modificações propostas. Realiza-se também uma discussão sobre os preditores e os quantizadores a serem usados para redução da taxa de bits.

No Cap.III modela-se o sistema para simulação e escolhem-se os parâmetros de avaliação objetiva do desempenho do sistema ressaltando-se também a importância da avaliação subjetiva da qualidade do sinal recuperado.

No Cap.IV analisam-se os resultados obtidos através de simulações e apresentam-se as conclusões. A ênfase é dada nas obtenções da relação sinal/ruído do sinal recuperado bem como da entropia do sinal transmitido.

A G R A D E C I M E N T O S

Meus sinceros e profundos agradecimentos as instituições e as pessoas que tornaram possível a realização de meus estudos em pós-graduação e que culminam agora com este trabalho de tese.

- A Universidade de Tarapacà e a Universidade de Campinas.
- A Yuzo Iano pela orientação deste trabalho.
- A todas as pessoas que direta ou indiretamente me ajudaram com suas sugestões e críticas construtivas.
- A minha família pelo apoio incondicional compartilhando as minhas experiências.
- A Igor Arriagada, Osvaldo Saavedra, João Batista, Luis C. Martini, Normonds Alens e Rosivaldo Ferrarezi.

O autor

Eduardo Guillermo Correa Araneda

DEDICATÓRIA

A MINHA FAMÍLIA E AOS MEUS PAIS.

ÍNDICE

CAPÍTULO I - INTRODUÇÃO.....	1
I.1 - CONSIDERAÇÕES INICIAIS.....	1
I.2 - OBJETIVOS E LIMITAÇÕES.....	8
CAPÍTULO II - O SISTEMA MCPQ.....	12
II.1 - CARACTERÍSTICAS DO SISTEMA PROPOSTO MCPQ.....	12
II.2 - DISTRIBUIÇÃO DAS AMOSTRAS.....	16
II.3 - TAXA DE BITS.....	18
II.4 - UMA PROPOSTA DE QUANTIZAÇÃO.....	19
II.4.1 - Quantizador não-uniforme para o sistema MCPQ.....	20
II.4.2 - Leis de quantização.....	25
II.5 - PREDITORES.....	27
II.5.1 - Amostragem com TAF para $f_a = (8/3)f_{sc}$	30
II.6 - MELHORAMENTO DO SISTEMA MCPQ (MCPQ-MD).....	37
CAPÍTULO III - DESCRIÇÃO DOS PARÂMETROS DE AVALIAÇÃO DO SISTEMA MCPQ.....	45
III.1 - INTRODUÇÃO.....	45
III.2 - CRITÉRIOS PARA AVALIAÇÃO DO DESEMPENHO.....	46
III.2.1 - Degradiação da Relação Sinal/Ruído.....	47
III.2.2 - Referência para a Relação Sinal/Ruído.....	48
III.2.3 - Distribuição Acumulada por Região.....	49
III.2.4 - Entropia do Sinal Quantizado HQ.....	51
III.3 - SIMULAÇÕES.....	51
III.3.1 - Quantizador.....	52
III.3.2 - Preditores.....	53

III.4 - PROCESSAMENTO DA IMAGEM.....	54
III.4.1 - Programa para Simulação.....	55
III.5 - O SISTEMA MCPQ.....	57
III.5.1 - Análise Subjetiva.....	60
III.6 - IMAGENS-PADRÃO DA "SMPTE".....	61
CAPÍTULO IV - RESULTADOS DAS SIMULAÇÕES E CONCLUSÕES..... 64	
IV.1 - MODELAMENTO E PROGRAMAS UTILIZADOS.....	64
IV.2 - RESULTADOS DAS SIMULAÇÕES.....	66
IV.2.1 - Análise dos Resultados.....	67
IV.2.2 - Simulações com o Sistema MCPQ-M.....	68
IV.2.3 - Discussão sobre os Resultados.....	75
IV.3 - CONCLUSÕES.....	76
APÊNDICE A.....	80
APÊNDICE B - PROGRAMAS PARA SIMULAÇÕES.....	81
BIBLIOGRAFIA.....	108

CAPÍTULO I

INTRODUÇÃO

CAPÍTULO I

INTRODUÇÃO

I.1 - CONSIDERAÇÕES INICIAIS

Dentro do campo denominado processamento digital de sinais, o processamento de imagens de TV em cores é apenas um caso particular.

Atualmente na digitalização de sinais de TV em cores com qualidade de radiodifusão se aceitam de 6 a 8 bits por amostra. Assim, para a transmissão, de sinais de TV levando em consideração uma largura de faixa de 4,2 MHz no caso de sinais de TV no padrão M, e usando uma frequência de amostragem super Nyquist de $f_a = (8/3)f_{sc}$, existe uma taxa de bits codificada de aproximadamente 76 Mbit/s quando se considera 8 bits por amostra.

Caso se deseje utilizar um canal de transmissão de terceira hierarquia com taxas de 34 Mbit/s torna-se necessário uma redução considerável da taxa de bits de transmissão. Além disso, existe a preocupação de se manter uma qualidade aceitável da imagem transmitida.

Muitos trabalhos têm sido publicados com o fim de se obter uma redução da taxa de bits para transmissão digital de imagens de TV aproveitando-se algumas características tanto da imagem como do olho humano [1.1] [1.2].

O processamento digital de sinais de TV pode ser considerado um campo muito amplo para pesquisa e desenvolvimento com múltiplas aplicações na transmissão, processamento e implementação de novos sistemas aproveitando-se as muitas

vantagens dos sistemas digitais como por exemplo o armazenamento de dados, o que permite o uso de computadores para simulações.

No processo de geração do sinal de televisão pode-se observar diversos aspectos que são descritos a seguir.

A câmera de TV faz a conversão foto-elétrica do sinal luminoso proveniente do objeto e dessa forma a cena (objeto da câmera) é transformada em sinal elétrico depois de a luz ter passado por três conjuntos de filtros simples e dicróicos. A cena que na verdade é dinâmica, pode ser transmitida considerando-se a imagem como um conjunto finito de imagens estáticas espaçadas temporalmente, em $1/24$ s, tempo menor do que o tempo de persistência do olho humano. Dependendo dos filtros estes sinais devem ser corrigidos por um fator "gama", como é mostrado na Fig.I.1 [1.1],[1.3]. Os sinais elétricos correspondem aos denominados sinais ou componentes primários vermelho " E'_R " , verde " E'_G " e azul " E'_B " ("'" significa correção gama). Essas cores primárias podem reproduzir quase toda a gama de cores visível ao olho humano e portanto também poderão compor a cena tomada por uma câmera [1.3].

A partir dos três sinais primários de acordo com a forma final do sinal de TV pode-se usar dois métodos de transmissão e processamento, quais sejam por "componentes" e "composta". Nós estamos interessados na "composta" sem nos importarmos com as vantagens e desvantagens que existam nesses métodos.

O sinal composto E'_M deve conter, além da imagem a ser transmitida, toda a informação para recuperá-la no receptor. Assim o sinal composto é formado de uma parte "ativa", que contém a informação da imagem e de uma parte "não ativa" que contém todos os sinais de sincronismo. A parte ativa do sinal composto

E'_M é formada pelo sinal de "crominância" E'_C e pelo sinal de "luminância" E'_Y . Tem-se:

$$E'_M = E'_Y + E'_C$$

I.1

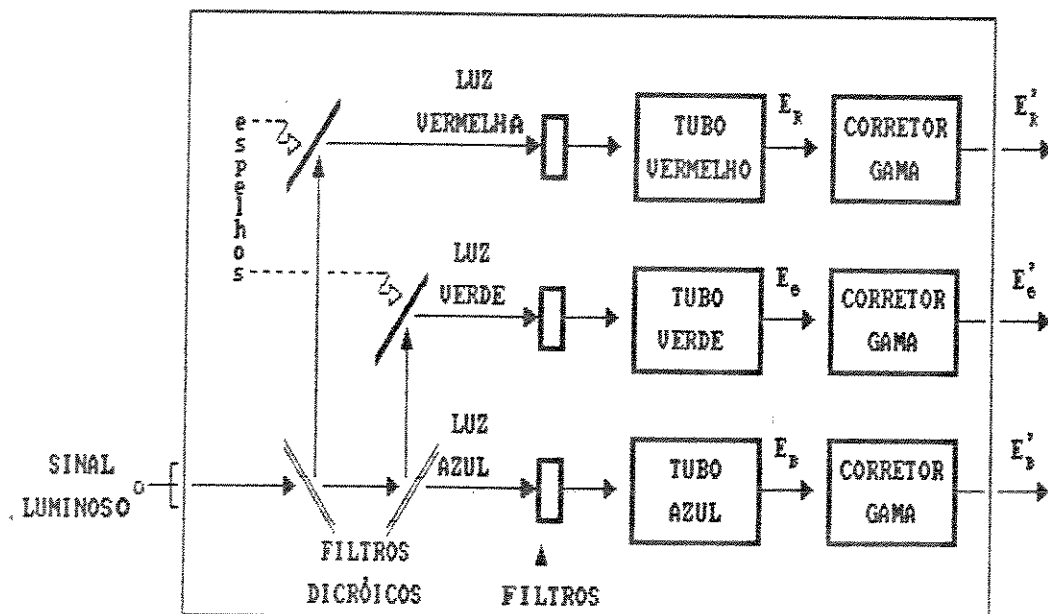


Fig.1.1 - Transdução da informação luminosa para componentes elétricas primárias.

O sinal de luminância é necessário para tornar compatível a televisão em preto e branco com o sistema de televisão em cores, e vale em termos dos sinais primários:

$$E'_Y = 0,299E'_R + 0,587E'_G + 0,114E'_B$$

I.2

O sinal de crominância na forma mais simples é formado por dois sinais diferença de cor, denominados " E'_U " e " E'_V " que em termos dos sinais primários de cor valem:

$$E'_U = 0,493(E'_B - E'_Y)$$

I.3

$$E'_v = 0,877(E'_x - E'_y)$$

I. 4

Esses sinais são modulados em quadratura na frequência da subportadora de cor a fim de gerar o sinal de crominância.

$$E'_c = E'_u \operatorname{sen} \omega_{sc} t + m(t) E'_v \cos \omega_{sc} t$$

I. 5

onde "m(t)" é o chaveamento PAL que vale "1" ou "-1" alternadamente em linhas consecutivas do mesmo campo de uma imagem de TV; " ω_{sc} " é a frequência angular da subportadora de cor e vale:

$$\omega_{sc} = 2\pi f_{sc}$$

I. 6

sendo " f_{sc} " a frequência da subportadora de cor. Para o caso PAL-M essa frequência vale:

$$f_{sc} = 3,575611 \text{ MHz} \pm 10 \text{ Hz}$$

I. 7

O sinal de vídeo composto E'_M fica então:

$$E'_M = E'_y + E'_u \operatorname{sen} \omega_{sc} t + m(t) E'_v \cos \omega_{sc} t$$

I. 8

A equação I.8 representa então o sinal de vídeo composto ativo em banda base e que no sistema PAL-M deve estar limitado em 4,2 MHz [1.4]. O sinal de luminância ocupa uma faixa máxima de 4,2 MHz, enquanto que os sinais diferença de cor estão limitados em banda base em 1,3 MHz. Logo, existe uma assimetria no espectro do sinal de crominância em torno da subportadora de cor ($\cong 3,58$ MHz). Assim, os sinais E'_u e E'_v são modulados em VSB ("Vestigial Side Band"), o que faz com que a equação I.8 seja mais complexa. [1.4], [1.5].

Atualmente existe a necessidade do sinal de vídeo ser transmitido na forma digital. A transformação do sinal analógico para digital (A/D) é realizada depois que este é filtrado. A filtragem é realizada para evitar superposições de espectros de frequências quando se transforma o sinal digital em analógico (D/A) no receptor [1.6].

A transmissão do sinal de TV na forma digital tem consideráveis vantagens em relação à forma analógica. Por exemplo:

- a) A economia de potência de transmissão para uma mesma largura de faixa dada.
- b) Vantagens quanto à manipulação, armazenamento de dados e controle por meio de computadores.
- c) Maior imunidade aos ruídos e distorções.

A frequência de amostragem usada na digitalização é um outro parâmetro que dependerá da técnica de codificação A/D e do sistema utilizado (NTSC, PAL, SECAM ; NTSC = "NATIONAL TELEVISION SYSTEM COMMITTEE", PAL = "PHASE ALTERNATION LINE", SECAM = "SÉQUENTIEL COULEUR À MÉMOIRE"). No caso em interesse, um múltiplo da subportadora de cor, satisfazendo a condição de Nyquist, é utilizado.

O sinal filtrado e digitalizado, deve passar pelo denominado "Codificador Redutor de Redundância" (R^2). Este é um bloco que tem como objetivo remover grande parte da redundância contida em um quadro de TV a fim de diminuir a taxa de bits de

transmissão. A razão pela qual se diminui a taxa de bits na transmissão é porque o canal de transmissão tem uma largura de faixa de 34 Mbit/s sendo que a imagem digitalizada em 8 bits/amostra com uma frequência de amostragem de $(8/3)f_{sc}$ tem uma largura de faixa de aproximadamente 76 Mbit/s, o que torna impossível a transmissão de toda a informação por esse canal. Com respeito a esse tema existem muitos estudos feitos utilizando a correlação entre quadros, campos ou linhas da imagem de TV, além de diversas técnicas. No caso de transmissão, existe uma tendência em se utilizar métodos de codificação preditivos e, em particular, variações do tipo MCPD (Modulação por Código de Pulses Diferencial).

No receptor deve ocorrer o processo de transformação do sinal elétrico em imagem luminosa a partir do sinal recuperado o qual deve ser decodificado e mostrado no monitor de imagem. A reprodução da cena composta pelas imagens estáticas transmitidas é realizada usando-se as 525 linhas de varredura para o sistema PAL-M. As linhas de varredura contêm as informações de vídeo ativo e os sinais de sincronismos para o controle do aparelho de TV.

O quadro de TV por definição é dividido em dois campos, um deles contendo as linhas pares e o outro contendo as linhas ímpares. Os campos são expostos alternadamente como é mostrado na Fig I.2. A enumeração de linhas, campos e quadros são mostrados na Fig.I.1. A Tab.I.1 mostra os valores dos diversos parâmetros de tempos e de frequências correspondentes a um sinal de televisão no sistema em cores PAL-M.

Deve-se frisar que este trabalho é realizado para sinais no sistema PAL, porém os estudos deverão ser extendidos para o

sistema NTSC uma vez que existe a tendência atual de utilização desse sistema nos estúdios brasileiros de radiodifusão.

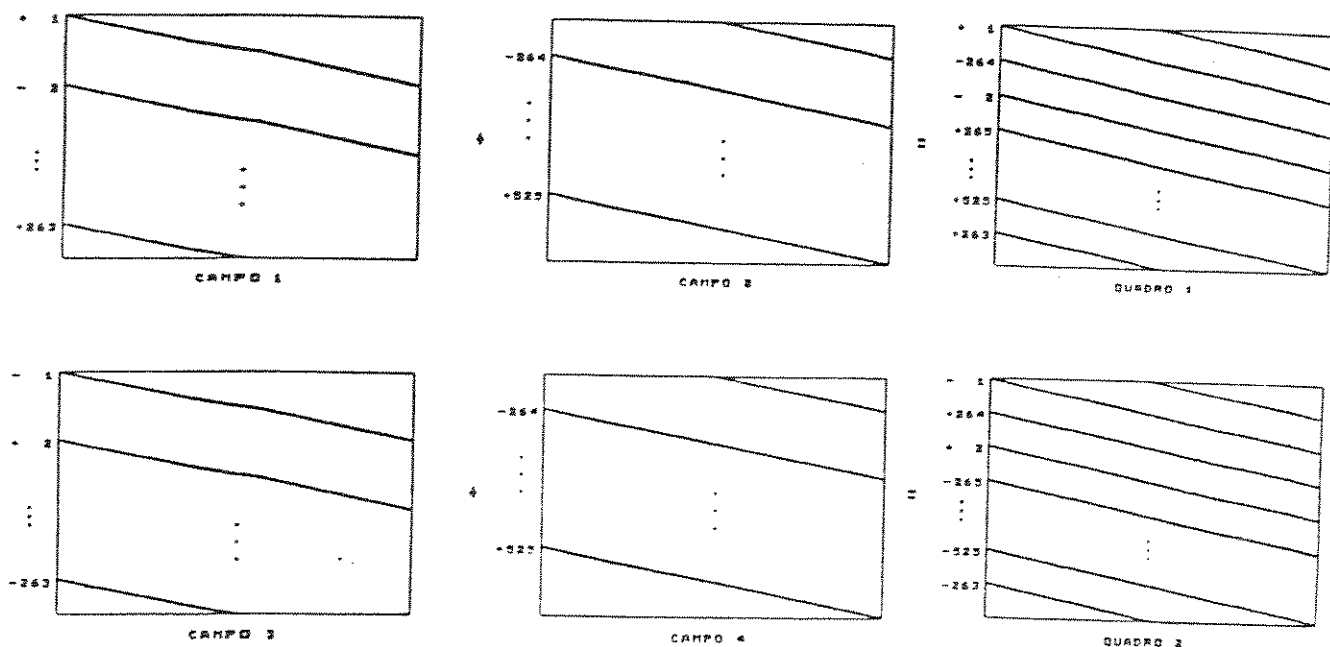


Fig.I.2 - Enumeração das linhas em 2 quadros de TV consecutivos.

$T_Q = \text{PERÍODO DE UM QUADRO}$	33 366,670 μs
$f_Q = \text{FREQUÊNCIA DE QUADROS}$	29 970 Hz
$T_C = \text{PERÍODO DE UM CAMPO}$	16 683,330 μs
$f_C = \text{FREQUÊNCIA DE CAMPOS}$	59,940 Hz
$T_H = \text{PERÍODO E VARREDURA DE UMA LINHA}$	63,550 μs
$f_H = \text{FREQUÊNCIA DE LINHAS}$	15 764,264 Hz

Tabela I.1. - Relações de quadros, campos e linhas.

I.2 – OBJETIVOS E LIMITAÇÕES.

O estudo apresentado neste trabalho tenta demonstrar a viabilidade de uma modificação do sistema convencional MCPD (Modulação por Código de Pulso Diferencial) e aqui denominado MCPQ (Modulação por Código de Pulso Quociente). Tal sistema visa a redução da redundância contida na imagem de TV, para diminuir a taxa de bits de transmissão com um bom desempenho em termos de relação sinal/ruído a fim de assegurar uma boa qualidade subjetiva da imagem recuperada.

A frequência de amostragem é um parâmetro muito importante para a compressão de faixa do sinal de vídeo, tanto no sistema MCPQ quanto no sistema MCPD, pois ela influencia diretamente na taxa de bits "R". Por outro lado essa taxa está também diretamente relacionada com o número médio de bits por amostra "N". De fato:

$$R = f_a * N$$

I.9

Também pode-se dizer que o valor "N" representa, no melhor dos casos, a "entropia" do sinal a ser codificado nos sistemas anteriormente citados.

Sendo a entropia um dado estatístico, ela deveria ser obtida em função da imagem, da frequência de amostragem e fundamentalmente do algoritmo de predição. Acontece que no caso de radiodifusão, as imagens variam muito, isto é, existe uma infinidade de tipos de cenas que podem estar associadas a um quadro de TV. Assim, a SMPTE ("Society of Motion Picture and Television Engineers") padronizou um conjunto de cenas estáticas

que representam as diversas variações que poderiam ter o sinal de TV. Algumas dessas imagens-padrão serão utilizadas no presente trabalho para se fazer a avaliação do sistema.

Tem-se escolhido uma frequência de amostragem de $(8/3)f_{sc}$ devido ao fato de que essa frequência satisfaz as seguintes condições:

- a) A condição de Nyquist ($f_a \geq 2f_{sc}$) e também a condição $f_a \leq 4f_{sc}$ (a fim de reduzir a taxa de bits).
- b) O valor de $f_a = (r/d)*f_{sc}$ onde "r" e "d" são valores estritamente positivos facilitando assim a implementação física.
- c) As amostras ficam alinhadas na vertical o que facilita a análise e implementação.
- d) Existe a possibilidade de comparação com o sistema MCPD estudado nessa frequência.

Trabalhos anteriores mostram que a condição que a frequência de amostragem deve satisfazer para evitar as interferências entre os sinais de luminância e crominância é [1.1] :

$$f_{sc} = \frac{909}{4} f_h \quad I.10$$

sendo f_h a frequência de linha de varredura horizontal. Como a frequência de amostragem é igual a $(8/3)f_{sc}$ então tem-se :

$$T_M = 606 T_a$$

I.11

onde " T_a " é o período da frequência de amostragem. A equação anterior mostra que existem exatamente 606 amostras em cada linha.

A idéia é transmitir a informação contida na imagem com um mínimo de distorção possível e com uma taxa de bits que respeite a capacidade do canal de transmissão. O quantizador é o maior responsável pela diminuição da taxa de bits, assim como o preditor é o maior responsável pela qualidade do sinal recuperado.

Quanto melhor for o preditor, o sinal previsto será tanto mais parecido com o sinal de entrada. Na entrada do quantizador, a entropia deverá ser maior do que na saída do quantizador. Isso é devido ao fato de que na saída do quantizador a distribuição dos valores dos números é menor, implicando em uma degradação da imagem.

O quantizador faz uma diminuição da entropia ao custo de uma perda da informação contida no sinal, o que se traduz em uma degradação da relação sinal/ruído e uma degeneração na qualidade do sinal a ser transmitido e recuperado. Assim pode-se avaliar a importância que têm o preditor e o quantizador justificando-se dessa forma o fato de que são considerados como sendo as partes mais importantes do sistema.

Os quantizadores que se analisam neste trabalho, são formados por três regiões. A cada região associam-se palavras de comprimentos diferentes porém fixos.

Na procura dos preditores supõe-se que a previsão deva ser correta em áreas de cor uniforme. O modelamento matemático

considera que as variações são lentas e lineares dentro de uma linha. Na previsão utiliza-se a Técnica de Amarração de Fase (TAF) e preditores com um máximo de três coeficientes não nulos. Os preditores consideram as amostras passadas da linha atual e da linha anterior do mesmo campo.

Nas simulações, economiza-se memória do computador devido ao fato de se usar apenas duas linhas do mesmo campo para se fazer a previsão, sendo necessário apenas quatro linhas de um quadro para o processamento de toda a imagem estática.

CAPÍTULO II

O SISTEMA MCPQ

CAPÍTULO II

O SISTEMA MCPQ

II.1 - CARACTERÍSTICAS DO SISTEMA PROPOSTO MCPQ

Uma aplicação do sistema MCPQ (Modulação por Código de Pulses Quociente), como redutor de redundância é na transmissão de imagens de TV comercial PAL-M. As simulações para avaliação são feitas utilizando-se as imagens-padrão da SMPTE.

Sabe-se que a quantidade de informação contida no sinal de vídeo composto é grande, quando comparada por exemplo com a informação contida num sinal de voz. As imagens-padrão da SMPTE foram digitalizadas em 8 bit/amostra com uma frequência de amostragem de 10 MHz, o que resulta em uma taxa de cerca de 80 Mbit/s. Pretende-se transmitir essa imagem por um canal MCPD de terceira hierarquia que suporta uma taxa um pouco maior que 34 Mbit/s, o que significa, que deve ser feita uma compressão de faixa da ordem de 2,4 vezes e, isso sem perder a qualidade da imagem transmitida.

A idéia básica do sistema MCPQ é a transmissão do sinal quociente quantizado, obtido a partir do sinal atual e da amostra prevista, ao invés de se transmitir a diferença, como acontece no sistema MCPD [2.1] [2.2]. A Fig.II.1 mostra o esquema básico do sistema proposto MCPQ. O sistema consta de um divisor de sinais, um quantizador "Q", de um multiplicador, de um preditor "P", e de um limitador "L". Neste esquema a idéia da previsão é prever o valor da amostra " \hat{x} " que está entrando no instante "t" em função

de amostras passadas. Quanto mais corretas forem as previsões das amostras, tanto melhor será a qualidade da transmissão.

Da saída do quantizador é tomado o sinal para ser codificado pelo conversor de código "CC" e, posteriormente transmitido. Este conversor de código não é analisado neste trabalho, porém a sua implementação física é muito simples.

O objetivo do quantizador é produzir a diminuição da taxa de bits de transmissão, com uma degradação aceitável da informação que contém a imagem.

O preditor tem a função de prever a próxima amostra a ser transmitida, aproveitando a informação que está contida nas amostras anteriores.

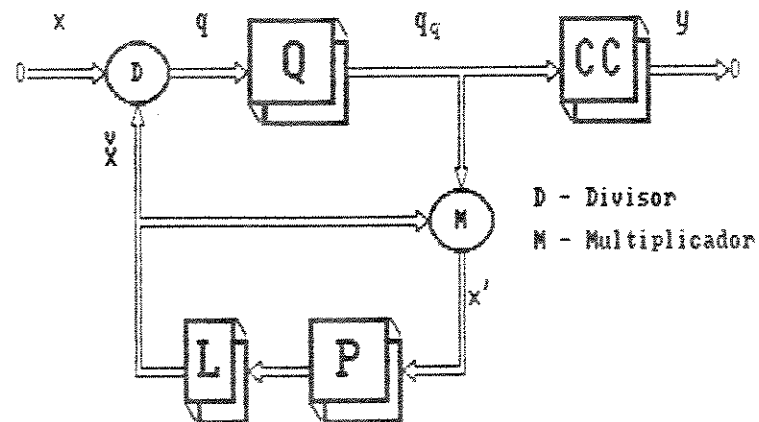


Fig.II.1 - O sistema MCPQ.

O limitador tem como objetivo controlar o sinal de saída do preditor dentro dos limites de variação do sinal de entrada uma vez que não há sentido em se fazer uma previsão com valores fora destes limites.

No sistema MCPQ "x" é o sinal composto digitalizado em 8 bits/amostra obtido das três imagens de cores primárias da SMPTE, as quais foram processadas e filtradas para se obter o sinal composto correspondente.

O resultado do quociente entre o sinal "x" (dividendo) e o sinal " \hat{x} " (divisor) será o sinal quociente "q":

$$q = x / \hat{x} \quad \text{II.1}$$

neste caso, " \hat{x} " é o valor previsto da amostra "x". No caso ideal " \hat{x} " deveria ser igual ao valor da amostra anterior.

O sinal quociente entra no quantizador "Q" o qual, no caso mais geral, segue uma lei não-uniforme e não-simétrica em torno de "1" como será visto mais adiante. A saída quantizada " q_q " é então dada por:

$$q_q = q + \varepsilon_q \quad \text{II.2}$$

onde " ε_q " é o erro de quantização. O quociente quantizado é então multiplicado com o valor do sinal previsto " \hat{x} " resultando assim o sinal recomposto "x'" que é usado para se fazer a predição.

Tem-se:

$$x' = q_q * \hat{x} \quad \text{II.3}$$

Substituindo as equações II.1 e II.2 em II.3 obtém-se:

$$x' = x + \varepsilon_q \hat{x} \quad \text{II.4}$$

Nesta última expressão o erro de quantização é multiplicado pelo sinal previsto " \hat{x} ", mas o erro de quantização é um número real muito pequeno, no caso geral (como se verá mais adiante), portanto, o produto desse erro pelo sinal previsto resultará ser pequeno.

Observa-se na Fig.II.1 que o ruído de quantização " ε_q " não é acumulativo no decodificador, ou na malha de realimentação do codificador, uma vez que o quantizador está inserido dentro de uma malha fechada, permitindo a correção dos erros entre o valor atual "x" e o valor previsto " \hat{x} ".

O sinal recomposto "x'" na entrada do preditor é igual ao sinal de entrada afetado pelo produto do erro de quantização vezes o sinal previsto.

A idéia é que a potência média de ruído " $C\varepsilon_q \hat{x}^2$ " seja pequena comparada com a potência média do sinal previsto \bar{x}^2 ; neste caso em média os sinais "x" e "x'" serão muito parecidos.

No receptor o sinal recebido é decodificado, obtendo-se na saída o sinal " q_q " como é mostrado na Fig.II.2. Esse sinal é multiplicado pelo sinal previsto " \hat{x} ", obtendo-se o sinal original somado ao ruído " $\varepsilon_q \hat{x}$ ". É esperado que o erro de quantização seja muito pequeno, e isso dependerá do quantizador usado. O quantizador tenderá a ser mais eficiente quando o preditor determinar corretamente o sinal previsto. Espera-se que devido ao fato de se trabalhar com números reais em torno de "1", os passos de quantização sejam muito próximos; assim o erro " ε_q " será muito pequeno e isso terá como consequência, um ruído também pequeno.

Na expressão do algoritmo de predição considera-se que "x" e "x'" são muito próximos, podendo-se desconsiderar o ruído de quantização. Mas a relação sinal-ruído deve ter um nível

aceitável a fim de preservar a qualidade subjetiva da imagem transmitida.

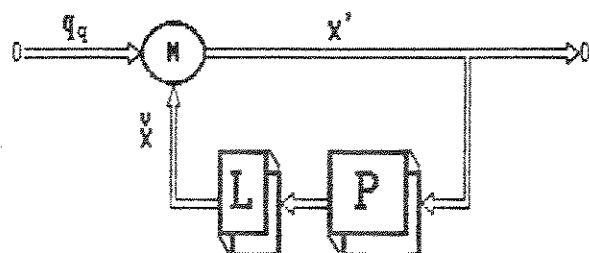


Fig.II.2 - Receptor do sistema MCPQ.

II.2 - DISTRIBUIÇÃO DAS AMOSTRAS.

Foi feito em forma preliminar um estudo da distribuição do sinal quociente. O dividendo corresponde ao sinal composto de uma imagem digitalizada em 8 bits, portanto, o valor das amostras são números inteiros que podem variar, entre "0" e "255". O divisor corresponde ao sinal previsto e ele deve variar entre "1" e "255". Isso devido ao fato de que ao se realizar a divisão dos sinais deve-se evitar a divisão por zero. Como consequência, os valores possíveis que "x" e "x'" podem tomar são:

$$\text{sinal de entrada } x = \sum_{k=0}^7 A_k * 2^k \quad \text{II.5}$$

$$\text{sinal previsto } x = 1 + \sum_{k=1}^7 B_k * 2^k \quad \text{II.6}$$

onde: A_k, B_k = Coeficientes que podem assumir valores "0" ou "1".

Ao realizar a análise do sinal quociente vemos que existem 256 valores possíveis para o numerador e 255 valores possíveis para o denominador; assim existem 65280 valores do sinal quociente os quais encontram-se distribuídos em um universo de 39640 valores possíveis diferentes de números reais, tudo isso sem considerar o número das repetições.

O estudo da distribuição do sinal quociente permite observar as seguintes conclusões dadas a seguir.

Existem 4 subconjuntos de números reais perfeitamente identificáveis os quais contêm exatamente 9910 valores diferentes possíveis. Esses subconjuntos são de menor a maior, $[0,0.5]$; $[0.5,1]$; $[1,2]$; $[2,255]$. O comportamento das distribuições dos quocientes segue uma determinada estrutura no que se refere à frequência dos valores dentro de cada intervalo (Fig.II.3). Deve-se observar que de fato os números reais $1/2$, $2/4$, $3/6\dots$ etc, são os mesmos.

Outro fato de interesse, é que dentro desses subconjuntos, os valores seguem uma determinada distribuição sendo esta linear entre $[0,0.5]$ e $[0.5,1]$ e uma distribuição logarítmica com base 2 entre $[1,2]$ e $[2,255]$.

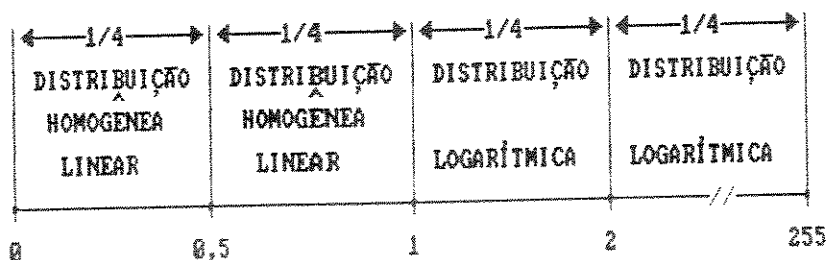


Fig.II.3 - Distribuição das amostras.

II.3 - TAXA DE BITS

Como foi dito anteriormente a taxa " R_L " de bits máxima do sistema de 3ª hierarquia do MCP é de 34,388 Mbit/s. A fim de atingir esse objetivo, propõe-se neste trabalho, como recurso principal, vários preditores e quantizadores para o esquema MCPQ já apresentado. Para determinar a taxa de bits máxima para transmissão da imagem de TV no sistema PAL-M é necessário considerar além disso, a informação de controle da imagem. Dessa forma no canal só se dispõe de uma taxa meta " R_L " de 33,797 Mbit/s para o sinal de vídeo ativo digitalizado [2.1]. Logo, da equação da taxa de bits apresentada no Cap .I e fazendo algumas considerações, obtém-se, para o número médio de bits por amostra " R_a ", a seguinte condição:

$$R_a = \frac{R_L}{(1-\alpha)f_a} \quad \text{II.7}$$

$$\alpha = \frac{T_{APH}}{T_H} \cong \frac{10,8}{63,5} \cong 0,17 \quad \text{II.8}$$

onde f_a = frequência de amostragem,

T_{APH} = intervalo de apagamento horizontal = 10,8 μs

T_H = período de uma linha horizontal = 63,5 μs

Os parâmetros anteriores são padronizados pela CCIR para o sistema PAL-M. Em nosso caso de $f_a = (8/3)f_{sc}$ o número médio de bits permitido para não ultrapassar a taxa de 34 Mbit/s fica:

$$R_a = 4,3 \text{ bit/amostra} \quad \text{II.9}$$

Neste trabalho o enfoque é dado na transmissão do sinal

de vídeo ativo do sistema PAL-M de TV comercial. Assim sendo, o estudo das características dos sinais de controle da informação que estão contidas na imagem não é realizado neste trabalho.

II.4 - UMA PROPOSTA DE QUANTIZAÇÃO

Como já foi dito, o quantizador proposto neste trabalho utiliza palavras-código de três comprimentos diferentes. Tais comprimentos que são denominados "k", "m" e "n" conforme a palavra-código tenha "k", "m" e "n" bits, respectivamente. Além disso, supõe-se que :

$$k > m > n \geq 0$$

II.10

onde "k", "m" e "n" são inteiros positivos.

Devido ao fato de se ter uma distribuição de números reais que vai de "0" até "255", e a ocorrência mais provável sendo "1", no caso de preditores perfeitos em regiões uniformes, então as regiões de quantização deverão ficar em torno de "1", e o quantizador deverá ser não-uniforme.

Assim as características do quantizador ficam divididas em três regiões, sendo que a mais interna corresponderá aos quocientes mais próximos de "1" e a essa região serão associadas as palavras-código de menor comprimento (no caso "n"). Na região do meio associam-se palavras-código de comprimento "m" e na região mais externa, que corresponde ao caso em que o numerador e denominador do parâmetro quociente sejam muito diferentes, associam-se palavras-código de maior comprimento "k". Na Fig. II.5 mostra-se o quantizador onde "q" é o quociente antes da

quantização sendo que " q_q " é o nível de quantização.

III.4.1 - Quantizador não uniforme para o sistema MCPQ

Conforme foi visto anteriormente o quantizador deve atuar sobre o quociente da amostra atual "x" e do seu valor previsto " \tilde{x} ". Cada uma das amostras "x" está digitalizada em 8 bits/amostra uniformes. A relação sinal/ruído que se pode esperar na saída do sistema MCPQ é menor do que aquela correspondente à conversão A/D de 8 bits, partindo-se de um sinal de fonte analógico. Para este trabalho considera-se ausente o ruído no sinal digitalizado em 8 bits/amostra da SMPTE. A intenção de usar o sistema MCPQ é a redução da taxa de bits de transmissão conforme dito anteriormente. Inicialmente deve-se observar que a entropia do sinal quociente quantizado muda com o tipo de preditor e o tipo de quantizador usados internamente ao sistema MCPQ, gerando assim diversas opções de implementação. A entropia depende da estatística do sinal quociente (número de vezes que aparece cada valor quantizado) e ela será tanto menor quanto mais concentrada for essa distribuição, ou seja, quanto menor fôr a quantidade de valores de uma dada distribuição, maior será a ocorrência de cada um desses valores.

Conforme foi dito no Cap.I a taxa mínima de bits é no melhor dos casos, igual à entropia do sinal quociente quantizado, vezes a frequência da amostragem. Nós estamos interessados na saída do quantizador, onde a taxa de bits tem que atingir o valor desejado. Assim, cada nível real deve ser associado a uma palavra de comprimento determinado que em média atinja essa taxa de bits.

A opção mais simples para "Q" é simplesmente um

quantizador não uniforme de 2^k níveis. Devido à distribuição das amostras, "k" deve ser um número inteiro menor do que 8, pois deseja-se reduzir a taxa de bits por amostra. Sabe-se que as amostras quocientes ficam distribuídas no intervalo de "0" a "255", segundo o que foi dito na primeira parte deste capítulo. Se o preditor é eficiente as amostras ficam distribuídas em torno de "1" e em uma pequena quantidade de possibilidades, sendo que cada valor se repetirá um grande número de vezes; caso contrário a distribuição das amostras fica espalhada em uma grande quantidade de possibilidades e cada uma delas ocorrerá poucas vezes, (frequência pequena) o que provocaria um aumento da entropia. Uma análise da distribuição das amostras, mostra a necessidade do quantizador ser não-uniforme. A configuração usada para o quantizador não-uniforme será aqui denominada quantizador com palavras "k-m-n" no sentido de que são usadas palavras-código com "k" bits, "m" bits e "n" bits onde "k", "m" e "n" são inteiros e tais que $k > m \geq n$. Cada uma dessas palavras código está associada a um nível de quantização de forma biunívoca [2.1]. Essas palavras-código são fornecidas pelo conversor de códigos "CC" da Fig. II.1, onde a entrada é composta de os valores correspondentes aos níveis do quantizador "Q".

No presente estudo, a complexidade adicional resultante do uso de palavras-código com três comprimentos variáveis, visa investigar o comportamento do sistema em alguns casos particulares.

Na saída do quantizador proposto podem-se ter três tipos de palavras-código que se diferenciam pelo comprimento. Esse comprimento pode ser de "k" bits, "m" bits ou "n" bits. No propósito de reduzir a taxa de bits, associa-se aos quocientes

mais próximos de "1", supondo-se que sejam os mais frequentes, as palavras de menor comprimento de acordo com a teoria da informação. Logo, os quocientes menos frequentes são associados aos códigos de maior comprimento. Supondo-se um preditor razoavelmente eficiente, onde o valor previsto seja igual ou muito parecido ao valor do sinal de entrada, pode-se afirmar que os quocientes em torno de "1" são os que ocorrem com maior frequência.

Também é sabido que o olho humano é mais sensível a erros nas regiões uniformes, ou de pequenas variações, do que nas regiões com bordas, ou de grandes variações [2.3]. Assim, usando-se um quantizador com menos de 2^8 níveis de quantização, as formas de distribuição mostradas na Fig. II.3 sugerem que a lei de quantização deva ser não-uniforme e não-simétrica em torno de "1" como se mostra na Fig. II.4, sendo os passos de quantização de pequeno comprimento em torno de "1" e de comprimento crescente conforme se afasta de "1". Essa distribuição tem como limites "0" e "255".

Nos itens seguintes, analisam-se então alguns aspectos relacionados com a lei de quantização, devendo-se ainda frisar que este estudo inicial se restringe a quantizadores não adaptativos.

Na Fig.II.5 mostram-se as diversas regiões do quantizador nas quais pode-se observar que os limites são números reais não-simétricos em torno de "1", tanto na abscissa, que representa a entrada quociente, quanto na ordenada, que representa a saída quantizada. Observa-se também que existe uma compressão das áreas no lado esquerdo e no lado inferior da origem. Isso é devido ao fato de que à esquerda e para baixo

encontram-se os números reais entre "0" e "1" e à direita e para cima encontram-se os números reais de "1" a "255". Os limites " P_x ", " P'_x ", " Q_{qx} ", " Q'_{qx} " delimitam as regiões citadas e caracterizam a curva de quantização. Neste caso "x" pode tomar valores "n", "m", ou "k".

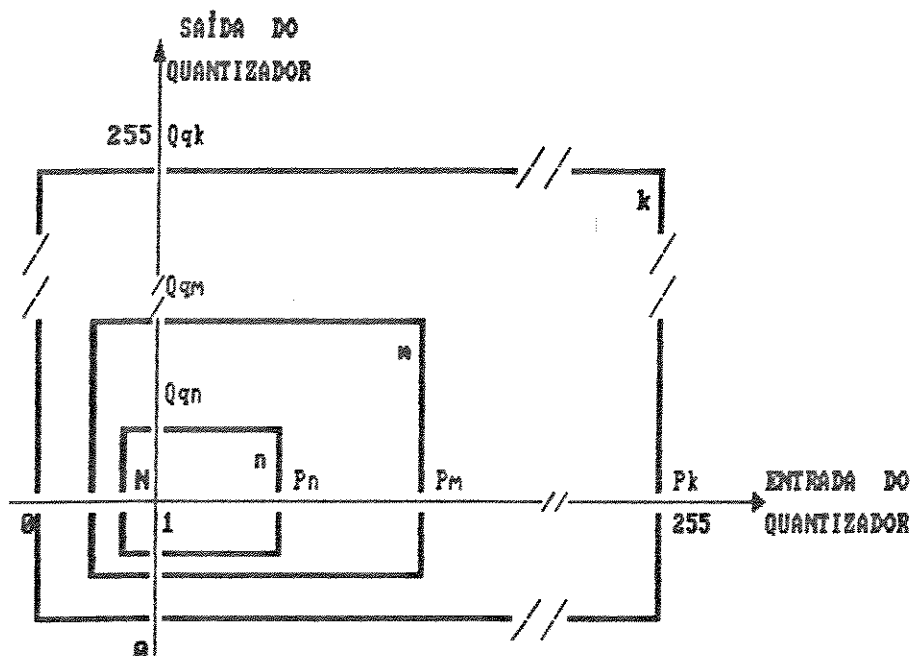


Fig.II.4 - Regiões associadas ao quantizador.

Por outro lado, a cada valor real na saída do quantizador, deve-se associar uma palavra-código, segundo as regras pré estabelecidas:

- a) Não existem palavras-código com todos os bits iguais a zero. Assim evita-se ambigüidade na decodificação.

b) As palavras-código com comprimento "m" possuem sempre "n" bits iguais a zero no início da palavra. As palavras-código de comprimento "k" possuem sempre "m" bits iguais a zero no início da palavra.

Das condições a) e b) pode-se constatar que:

1) As palavras de "m" bits possuem no máximo "m-1" zeros e, as palavras de "k" bits possuem no máximo "k-1" zeros.

2) Existem $(2^n - 1)$ palavras de comprimento "n", $(2^{m-n} - 1)$ palavras de comprimento "m" e $(2^{k-m} - 1)$ palavras de comprimento "k".
Logo o número total " N_q " de níveis no quantizador é dado por:

$$N_q = 2^n + 2^{m-n} + 2^{k-m} - 3 \quad \text{II.11.}$$

3) Uma sequência de palavras-código é biunivocamente decodificada contando o número de zeros, e tendo em mente que existem apenas três comprimentos "k", "m" e "n".

Consideremos agora, que os comprimentos das palavras são dados por:

$$k = N_1; \quad m = N_2; \quad n = N_3, \quad \text{II.12}$$

e consideremos uma frequência de ocorrência P_i para cada comprimento da palavra N_i ($i=1,2,3$) na saída do quantizador do sistema MCPQ. Para poder atingir o número médio mínimo de bits para transmissão, em nosso caso, deve-se ter :

$$\sum_{i=1}^a P_i N_i < R_a$$

II.13

onde " R_a " é a taxa de bits máxima permitida calculada usando II.6.

Além disso é necessário que a frequência de ocorrência total deva ser:

$$\sum_{i=1}^a P_i = 1$$

II.14

Logo a palavra de menor comprimento deve ser menor que 4, a fim de atingir $R_a = 4.3$ bit/amostra.

Se a entropia " H_q " do sinal quantizado em bits por amostra é maior do que " R_a ", espera-se uma degradação adicional na relação sinal/ruído além daquela já introduzida no processo de conversão analógica-digital do sinal de vídeo. Essa situação acontece quando dois ou mais valores diferentes do sinal quociente são levados a um mesmo nível de quantização. É importante enfatizar que a cada nível de quantização corresponde apenas a uma e somente a uma palavra-código.

II.4.2 - Leis de quantização

Como pode ser observado no quantizador escolhido, três comprimentos "k", "m", e "n", determinam o número de níveis de quantização dado pela equação II.11, e formam 3 regiões que, devem conter todos os valores do sinal antes e após a quantização como foi mostrado na Fig.II.4. Dessa forma existe um grande número de leis que podem ser usadas. Porém, neste trabalho deu-se

ênfase àquelas leis que são menos grosseiras em torno da origem "1", e mais grosseiras à medida que os quocientes são muito maiores ou muito menores que "1". Isso porque haverá uma maior concentração dos valores quocientes em torno de "1", e portanto uma maior quantidade de palavras de comprimento menor, tendo como efeito uma diminuição da taxa de bits de transmissão.

Denominando os limiares de decisão do sinal quociente maiores que "1" como " $Aq_d(i)$ ", e os limiares de decisão menores que "1" como " $Aq_e(i)$ ", $i = 1, 2, 3, \dots$ mostrados na Fig.II.5, pode-se observar que tais limiares ficam distribuídos assimetricamente em torno da origem "1".

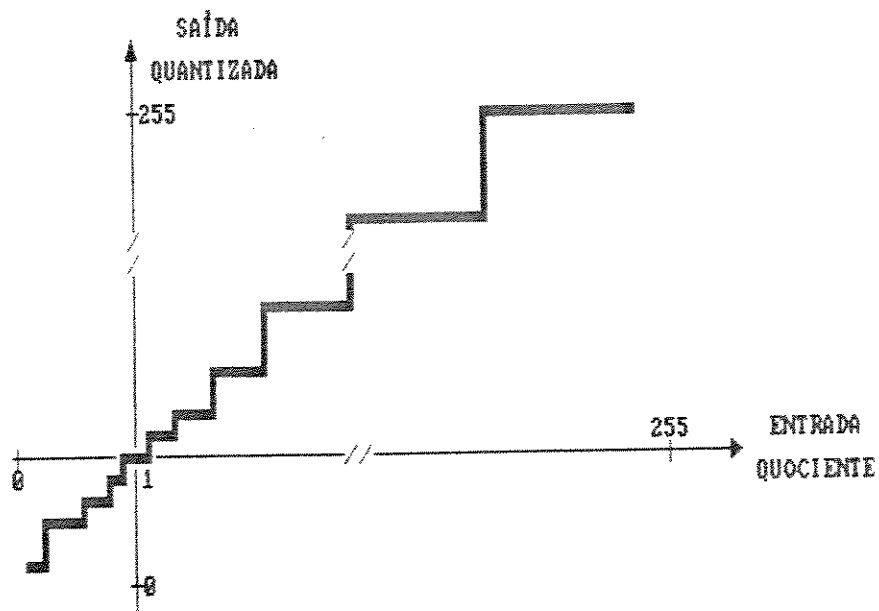


Fig.II.5 - Lei de quantização.

Os valores dos níveis do sinal quociente quantizado de saída foram escolhidos neste trabalho como sendo a média entre dois limiares sucessivos, tanto para valores maiores, quanto menores que "1", isto é :

$$Sq_a(i) = \frac{Aq_d(i+1) + Aq_d(i)}{2}$$

II.15

$$Sq_b(i) = \frac{Aq_a(i+1) + Aq_a(i)}{2}$$

II.16

onde o sub-índice "a" indica "acima" e "b" indica "abaixo" de "i" [2.4].

II.5 - PREDITORES

Os preditores deste trabalho aproveitam a correlação entre amostras vizinhas das linhas atuais e da primeira linha prévia. Na forma geral, os preditores usados neste trabalho podem ser então unidimensionais ou bidimensionais [2.1].

A escolha do par "preditor-quantizador" está muito vinculada com a entropia do sinal quociente transmitido, sendo desejável a menor entropia possível. Essa entropia depende da probabilidade de ocorrência do sinal quociente, e será tanto menor quanto mais concentrada for essa distribuição. Dessa forma, os preditores devem prever corretamente a próxima amostra em áreas uniformes sendo esperado, portanto, uma concentração dos valores do sinal quociente em torno de "1", que será tanto maior, quanto melhor for a previsão. Assim dependendo do quantizador adotado, a entropia fica dependendo da porcentagem de região uniforme, ou quase uniforme, presente na cena.

Para se fazer a previsão correta, é necessário utilizar algum tipo de artifício quando se pretende explorar a correlação existente entre as amostras das linhas anteriores adjacentes de um mesmo campo. Um destes artifícios, o qual é utilizado neste trabalho, consiste em se fixar o instante inicial de amostragem " t_0 " em um valor predeterminado e conhecido com relação à origem do tempo escolhido para as supportadoras de cor. Isto é, fixar a

fase inicial de amostragem " ρ_0 " em relação à origem de tempo.

Para uma frequência de amostragem de $(8/3)f_{sc}$, e com " t_0 " prefixado, os instantes de amostragem coincidem de forma periódica e sistemática, com os instantes de passagem pelo zero da onda " $\cos 2\pi f_{sc} t$ ".

Supondo que " T_a " seja o período de amostragem, e que os instantes de amostragem sejam dados por " t_q ", tem-se:

$$t_q = t_0 + qT_a \quad II.17$$

onde " t_0 " é o instante inicial de amostragem e "q" um número inteiro, associado à q-ésima amostra, isto é:

$$0 \leq t_0 \leq T_a \quad II.18$$

$$q = 0, \pm 1, \pm 2, \dots$$

Além disso, tem-se:

$$T_a = 1/f_a \quad II.19$$

Suponha além disso que as amostras " q_1 " e " q_0 " se encontram nas linhas prévia e atual, respectivamente. A previsão em regiões uniformes requer que os valores dos módulos dos sinais de crominância dessas duas amostras sejam iguais. Deve-se notar que devido à uniformidade da região, as partes de luminância dessa duas amostras são iguais. Contudo, as partes de crominância não são necessariamente iguais, ainda que essa região seja uniforme, pois o sinal de crominância é constituído por dois sinais diferença de cor, modulados em quadratura, sendo que os

signais diferença sem modulação é que são constantes. Assim, tem-se:

$$|E'_c(t_{q1})| = |E'_c(t_{q0})| \quad II.20$$

Da equação I.5 obtemos:

$$E'_c(t) = R'(t) \sin [w_{sc} t + m(t) \beta(t)] \quad II.21$$

onde:

$$R'(t) = \sqrt{E'_u^2(t) + E'_v^2(t)} \quad II.22$$

$$\beta(t) = \arctg [E'_v(t)/E'_u(t)]$$

Além disso, tem-se:

$$E'_u(t_{q1}) = E'_u(t_{q0}) \quad II.23$$

$$E'_v(t_{q1}) = E'_v(t_{q0}) \quad II.24$$

Dessas equações II.20 a II.24 e sabendo que:

$$m(t_{q1}) = -m(t_{q0}) = -m_0 \quad II.25$$

onde $m_0 = \pm 1$, tem-se da equação II.17:

$$q_0 = (t_{q0} - t_0)f_a \quad II.26$$

$$q_1 = (t_{q1} - t_0)f_a \quad II.27$$

$$q_s + q_0 = [k\pi - 2\rho_0] - \frac{f_a}{\omega_{sc}}$$

II.28

$$q_s - q_0 = [k\pi + 2m_0\beta_0] - \frac{f_a}{\omega_{sc}}$$

II.29

onde $k = 0 \pm 1 \pm 2 \dots$, e ρ_0 é a fase inicial de amostragem dada por

$$\rho_0 = \omega_{sc} t_0$$

II.30

O nosso interesse é manter constante a frequência de amostragem, independente do que aconteça na região considerada. A equação II.28 expressa uma dependência de " f_a " com a fase inicial de amostragem " t_0 ". Logo, para o aproveitamento das amostras na linha prévia é necessário conhecer esta fase inicial, isto é, amarrar os instantes de amostragem em relação à supportadora de cor, fixando a fase inicial " t_0 " em valores predeterminados, ou seja, com " t_0 " constante, a amostragem será uniforme e portanto " f_a " será constante.

II.5.1 - Amostragem com TAF para $f_a = (8/3) f_{sc}$.

O emprego da técnica de amarração de fase (TAF) é um recurso eficiente para fixar a fase inicial e assim manter a frequência de amostragem fixa. Usando a TAF é possível determinar a fase do cosseno em cada uma das amostras, e portanto, se a região for uniforme é possível determinar o valor da amostra naquele instante.

Considerando uma onda " $\cos \omega_{sc} t$ " como mostra a Fig.II.6 nota-se que existem zeros (a onda passa sobre a amostra de valor

nulo), com derivadas positivas e negativas. Quando os zeros ocorrem em instantes nos quais a derivada da onda "cos $\omega_{sc} t$ " é positiva ("0↑" indica zero na subida), os valores das amostras sucessivas, podem ser considerados como tendo o mesmo sinal algébrico até que a onda cosseno passe por um zero na descida ("0↓") ou de derivada negativa. Os valores das amostras que seguem a evolução da onda mudam de sinal até que novamente a onda passe por uma amostra onde o zero tem derivada positiva, repetindo-se novamente o ciclo. Dessa forma as fases das amostras ficam perfeitamente identificáveis para se fazer a predição.

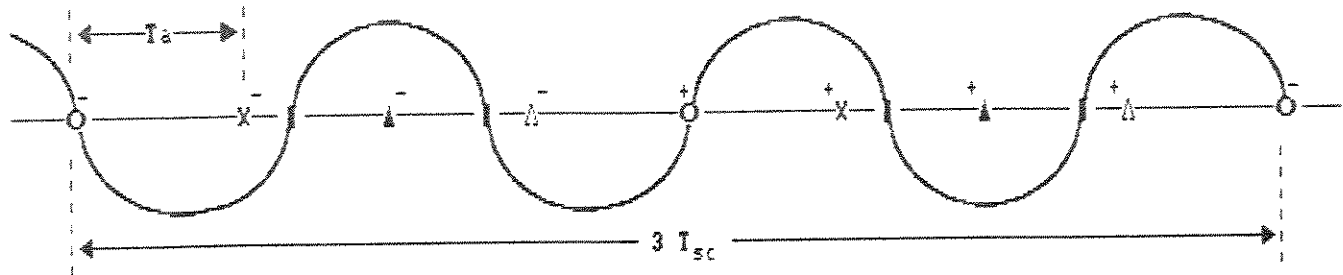


Fig.II.6 - Mosaico de uma linha considerando a fase das amostras em relação ao cruzamento de zero da subportadora "cos $\omega_{sc} t$ ".

Observando-se a Fig. II.6 e sabendo-se que $f_a = (8/3)f_{sc}$ então $3T_{sc} = 8T_a$, ou seja em cada 3 períodos " T_{sc} " existem 8 períodos " T_a ". Deve-se notar que dentro dos intervalos " T_{sc} " ainda que as amostras estejam dentro de uma região uniforme, o valor delas muda por causa da mudança de fase da subportadora de cor.

Por outro lado, levando-se em conta a frequência escolhida, alguns fatos de interesse são citados a seguir. São eles:

- 1) A quantidade de amostras por linhas é exatamente de 808, conforme mencionado no Cap. I.
- 2) As amostras estão alinhadas na vertical.
- 3) Existem 75,78 períodos " T_{sc} " em cada linha.
- 4) Devido ao chaveamento PAL-M o sinal algébrico do cosseno varia de linha para linha.
- 5) As amostras ficam distribuídas de tal forma que a cada quatro amostras, repetem-se amostras de mesmo módulo porém com uma defasagem de 180° . Este fato permite que o número de algoritmos necessários para a formação dos preditores possa ser diminuído de 8 para 4 algoritmos diferentes no caso geral.

Deve-se porém ressaltar que o fato de se fazer a previsão usando a linha atual e a linha anterior e sabendo-se que as distâncias entre as amostras envolvidas na predição são pequenas, existe a possibilidade de prever a amostra atual de maneira eficiente ainda que a área não seja uniforme.

A Fig.II.7 mostra parte de 4 linhas consecutivas de um quadro, considerando a fase das amostras, o sinal " $\cos \omega_{sc} t$ ", o sinal " $\sin \omega_{sc} t$ " e o chaveamento PAL-M de linha para linha.

Seja então a amostra num cruzamento de zero associada a um tempo " t_{OH} " como mostra a Fig.II.8. Assim os tempos associados a uma amostra na mesma linha e na linha anterior na vertical possuem uma diferença de um período de linha " T_H ". Dessa forma, tem-se :

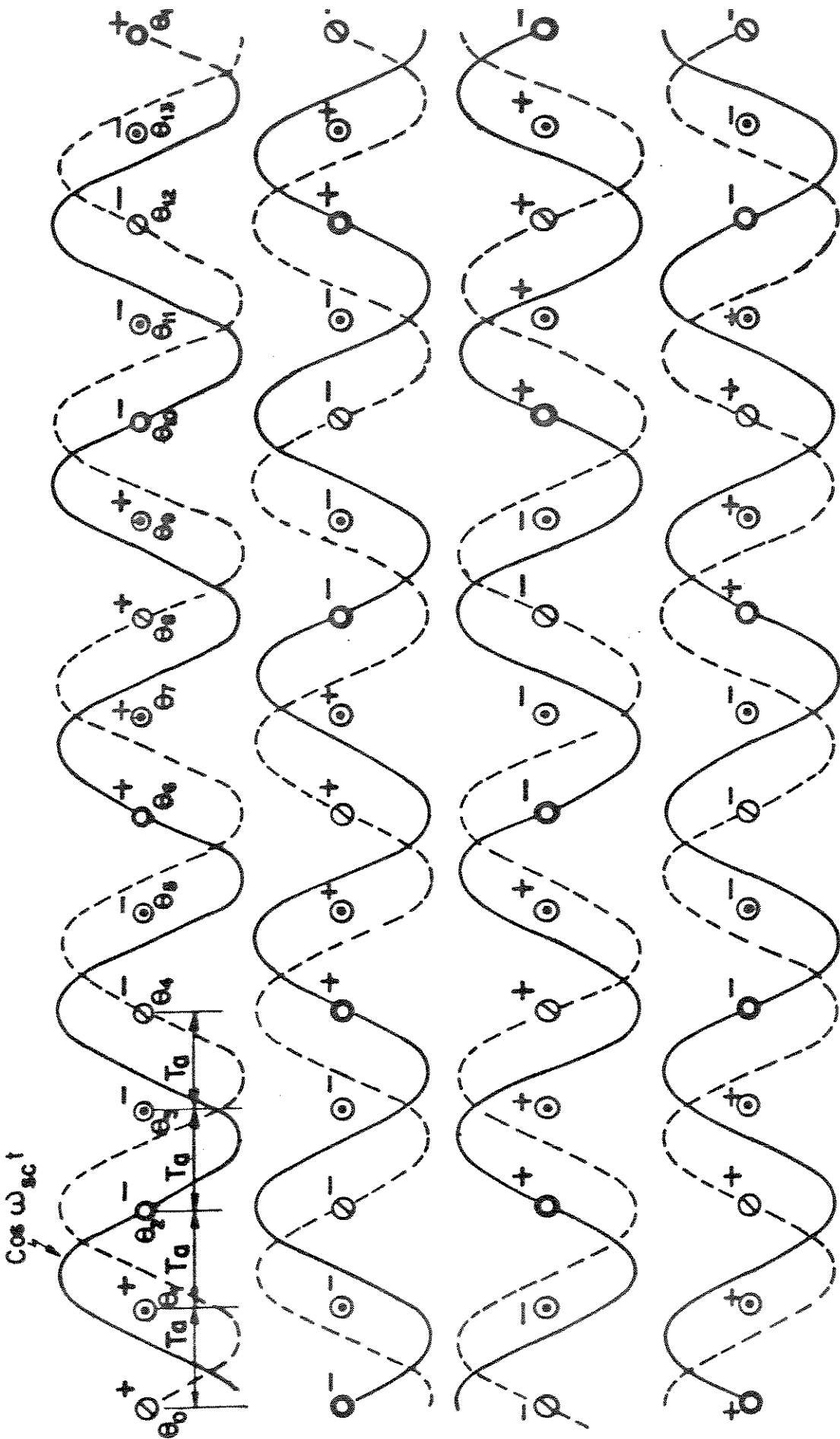


Fig. II.7 — Mosaico de 4 linhas de um quadro considerando-se chaveamento PAL.

$$t_{1H} = t_{OH} - T_H$$

II. 31

onde $T_H = 806 T_a$.

Se considerarmos uma região de cor uniforme contendo as amostras " $x_{i,j}$ ", " $x_{i,j+1}$ ", então a equação do sinal composto, " E'_M " para amostra " $x_{i,j+1}$ " vale:

$$E'_M(t_{1H}) = E_y(t_{1H}) + E_u \sin \omega_{sc} t_{1H} + m(t_{1H}) E_u \cos \omega_{sc} t_{1H} \quad II.32$$

Uma vez que a amostra encontra-se na linha anterior, tem-se:

$$m(t_{1H}) = -m(t_{OH})$$

Associando o valor de sinal composto " E'_M " à amostra atual " $x_{i,j}$ " no tempo considerado " t_{OH} " pode-se escrever:

$$x_{i,j} = E'_M(t_{OH}) \quad II.33$$

Assim é possível determinar o valor do sinal composto de qualquer amostra, uma vez que elas encontram-se perfeitamente definidas no tempo com respeito à amostra de referência " $x_{i,j}$ ".

No caso da mesma linha, tem-se:

$$x_{i+k,j} = E'_M(t_{OH} - kT_a) \quad II.34$$

com "k" inteiro positivo. Para qualquer amostra da linha anterior, tem-se:

$$x_{i+k, j+1} = E'_M [t_{OH} - ck - kT_a]$$

II.35

com "k" inteiro e $K = 806$.

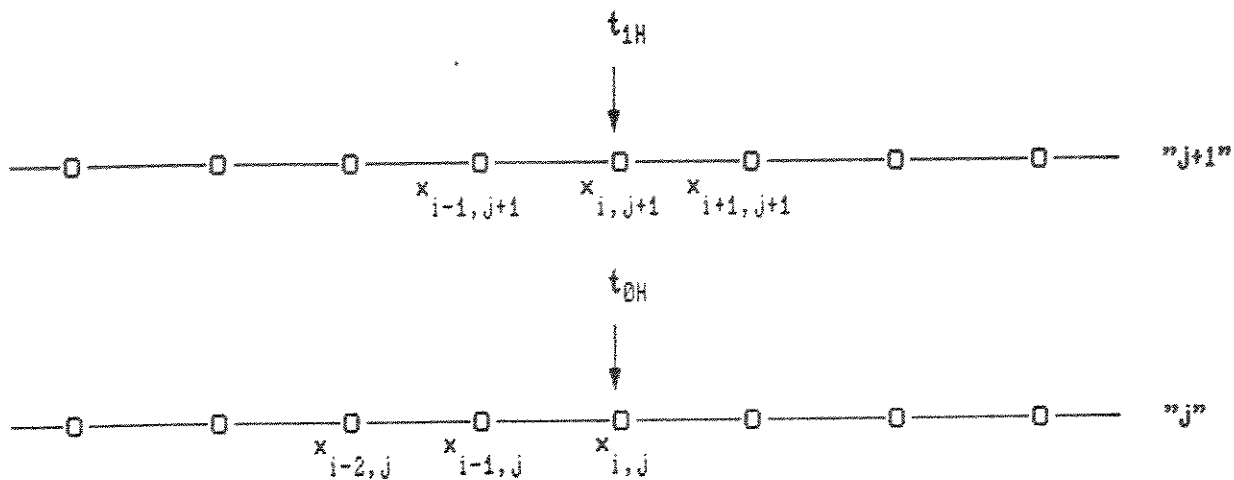


Fig.II.8 - Mosaico com tempo associado à amostra atual.

Supondo agora uma variação lenta e linear da cor contida na imagem, ou seja, a uma variação de " E'_y ", " E'_u " e " E'_v ", com coeficientes de variação " K_y ", " K_u " e " K_v " reais e constantes dentro de uma linha podemos obter a partir da equação II.34, na linha "j" :

$$x_{i+k,j} = E'_y(t_{OH}) K_y k T_a + [E'_u(t_{OH}) - K_u k T_a] \sin \omega_{sc}(t_{OH} - k T_a) + \\ + m(t_{OH}) [E'_v(t_{OH}) - K_v k T_a] \cos \omega_{sc}(t_{OH} - k T_a) \quad II.36$$

Para se fazer a previsão deve-se considerar a defasagem que as amostras anteriores têm com respeito à amostra atual. Neste trabalho, consideram-se que 3 amostras são suficientes para

se fazer a predição conforme mostrou trabalho anterior [2.1]. Outro fato muito importante, é que o efeito das distâncias entre as amostras envolvidas para fazer a predição, deve ser considerado, uma vez que os preditores são eficientes em regiões uniformes ou quase uniformes. Se as distâncias são pequenas então pode-se ter um bom desempenho mesmo em pequenas regiões uniformes.

A amostra a ser predita pode ser escrita em função das amostras anteriores como:

$$x_{i,j} = \sum_{k=1}^7 A_k x_{i+k,j} + \sum_{k=2}^7 B_k x_{i+k,j+1} \quad II.37$$

onde "A_k" e "B_k" são os coeficientes das amostras consideradas na predição. Na predição podem ser consideradas 7 amostras anteriores na mesma linha e 10 amostras na linha anterior. Dessa forma o número de possibilidades de escolha das amostras para se realizar a predição é suficientemente grande mesmo usando-se apenas amostras vizinhas e próximas da amostra atual.

Nos testes usaram-se então 4 algoritmos de predição chaveados de acordo com a fase do sinal das amostras a serem preditas.

A Fig.II.9 mostra a enumeração das amostras ressaltando-se a necessidade de apenas 4 algoritmos no caso mais geral e não de 8.

Denominando os preditores chaveados, de acordo com a amostra a predizer, como " $x_{i+z,j}$ " ($z=0,1,2,3$), foi possível definir alguns preditores utilizados neste trabalho para a realização das simulações.

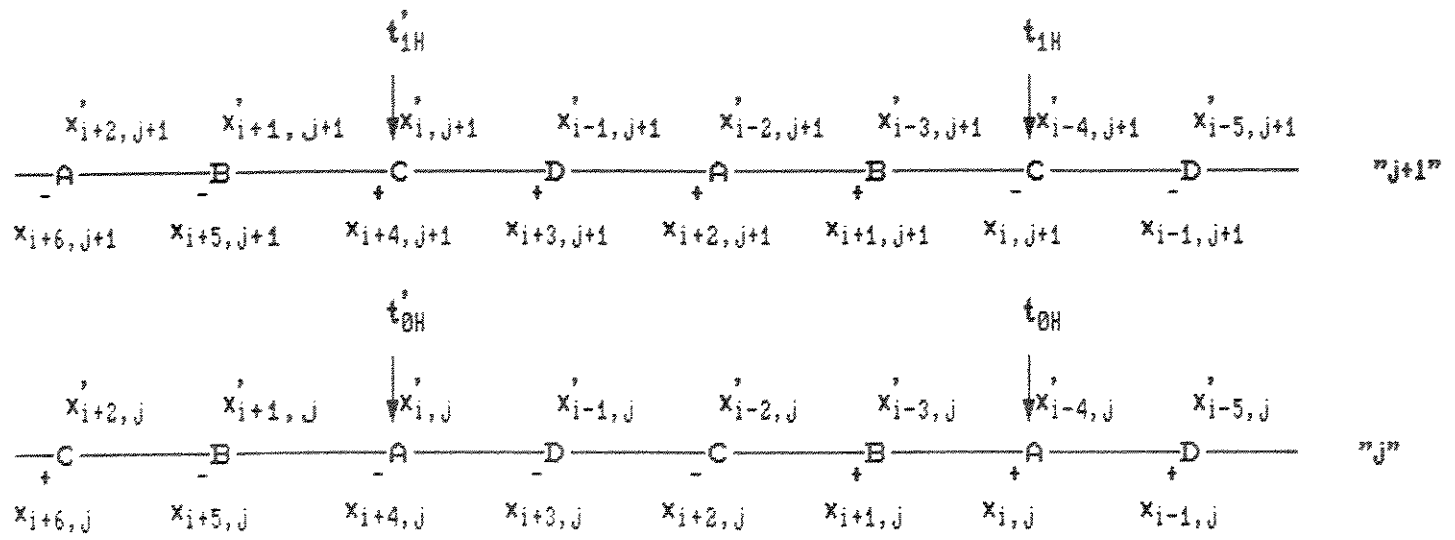


Fig.II.9 - Mosaico das amostras para $f_a = (8/3)f_{s0}$, 0 Δ do cos.

Na Tab.II.1 mostram-se os preditores chaveados que são utilizados.

Usando-se os algoritmos de predição dados na Tab.II.1, realizaram-se algumas combinações dos mesmos, na busca de uma boa predição. Neste trabalho escolheram-se os seguintes preditores chaveados como mostra a Tab.II.2.

II.6 - MELHORAMENTO DO SISTEMA MCPQ (MCPQ-MD)

O comportamento do sistema MCPQ pode ser melhorado introduzindo-se uma modificação na forma de realização do sinal quociente. Para tanto, o sinal de entrada é dividido pela média entre o sinal de entrada e o sinal previsto conforme é mostrado na Fig.II.10, produzindo uma diminuição da entropia do sinal quociente.

8010	-	$x_{i+2,j} + x_{i,j+1} + x_{i+2,j+1}$	
8011		$x_{i+1,j} - x_{i+1,j+1} + x_{i+2,j+1}$	
8012	$\frac{1}{2}$	$x_{i+1,j} - \frac{1}{2}x_{i+1,j+1} + x_{i+2,j+1}$	$\boxed{z = 0}$
8013	-	$\frac{1}{2}x_{i+3,j} + \frac{1}{2}x_{i-1,j+1} + x_{i+2,j+1}$	$\boxed{\begin{matrix} z \\ x_{i,j} \end{matrix}}$
8014	-	$\frac{1}{2}x_{i+4,j} + \frac{1}{2}x_{i-2,j+1} + x_{i+2,j+1}$	

II. 38

8102		$x_{i+2,j}$	
8110		$x_{i+2,j} - x_{i,j+1} + x_{i+1,j+1}$	
8111	-	$x_{i+3,j} + x_{i-1,j+1} + x_{i+1,j+1}$	
8112	$\frac{1}{2}$	$x_{i+2,j} - \frac{1}{2}x_{i,j+1} + x_{i+1,j+1}$	$\boxed{z = 1}$
8113	$\frac{1}{2}$	$x_{i+3,j} + \frac{1}{2}x_{i-1,j+1} + x_{i+1,j+1}$	$\boxed{x_{i+1,j}}$
8117	-	$x_{i+1,j} + x_{i-2,j+1} + x_{i+1,j+1}$	

II. 39

8210		$x_{i+3,j} - x_{i-1,j+1} + x_{i,j+1}$	
8211	$\frac{1}{2}$	$x_{i+4,j} - \frac{1}{2}x_{i-2,j+1} + x_{i,j+1}$	$\boxed{z = 2}$
8212		$x_{i+3,j} + x_{i+3,j+1} - x_{i+4,j+1}$	$\boxed{\begin{matrix} z \\ x_{i+2,j} \end{matrix}}$
8213		$x_{i+4,j} + x_{i+2,j+1} - x_{i+4,j+1}$	
8214		$x_{i+5,j} + x_{i+1,j+1} - x_{i+4,j+1}$	

II. 40

8310		$x_{i+4,j} + x_{i+2,j+1} - x_{i+3,j+1}$	
8311		$x_{i+5,j} + x_{i+1,j+1} - x_{i+3,j+1}$	
8312		$x_{i+6,j} + x_{i,j+1} - x_{i+3,j+1}$	$\boxed{z = 3}$
8313	-	$2x_{i+6,j} + 2x_{i+4,j+1} + x_{i+7,j+1}$	$\boxed{\begin{matrix} z \\ x_{i+3,j} \end{matrix}}$
8314		$x_{i+5,j} - x_{i+5,j+1} + x_{i+7,j+1}$	

II. 41

Tab. II.1 - Algoritmos de previsão [2.1].

Preditor	$z = 0$	$z = 1$	$z = 2$	$z = 3$
10	8010	8110	8210	8310
11	8011	8111	8211	8311
12	8012	8112	8212	8312
13	8013	8113	8213	8313
14	8014	8114	8214	8314
48	8010	8111	8212	8310
55	8010	8110	8212	8310
56	8010	8110	8212	8311
57	8010	8102	8213	8310

Tab.II.2 - Preditores Chaveados Utilizados no Sistema MCPQ

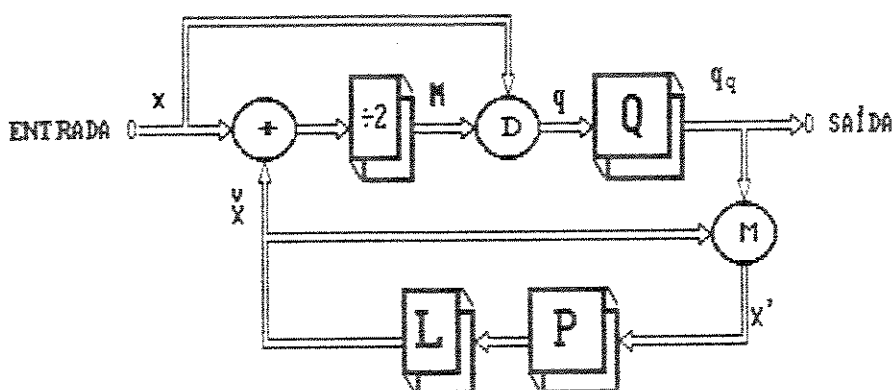


Fig.II.10 - Sistema MCPQ-M.

Neste esquema os valores das variáveis "x", " \hat{x} ", "M" e " x' " são números inteiros não-negativos. Têm-se:

$$M = \left[\frac{x + \tilde{x}}{2} + 0.5 \right]$$

II. 42

$$q = \frac{x}{M} = \frac{2x}{x + \tilde{x}}$$

II. 43

$$q_d = q + \epsilon_q$$

II. 44

$$x^* = q_d \tilde{x}$$

II. 45

das equações II.43 a II.45, obtém-se:

$$x^* = 2 \frac{x \tilde{x}}{x + \tilde{x}} + \epsilon_q \tilde{x}$$

II. 46

De uma análise feita na equação II.46 pode-se deduzir que o produto de dois termos dividido pela soma deles será sempre menor que qualquer um dos valores considerados. Além disso duas vezes o valor anteriormente citado pode ser maior, menor ou igual que cada um dos valores. Dessa forma podemos escrever a parte " $2(x\tilde{x}/(x+\tilde{x}))$ " como sendo o valor digitalizado de entrada "x" mais um erro " ϵ_t " multiplicado pelo sinal previsto.

O erro " ϵ_t " pode ser positivo, negativo ou zero. Ele será zero no caso em que o sinal previsto " \tilde{x} " seja igual ao sinal de entrada "x".

$$2 \frac{x \tilde{x}}{x + \tilde{x}} = x + \epsilon_t \tilde{x}$$

II. 47

Substituindo II.47 em II.46 obtém-se:

$$x^* = x + (\epsilon_t + \epsilon_q) \tilde{x}$$

II. 48

Pode-se notar agora que o erro total do sinal recuperado " \hat{x} " é igual ao produto do sinal previsto " \bar{x} " por um erro que contém dois termos : o erro de quantização e o erro provocado pela divisão da média. Eventualmente, esses erros podem-se anular mutuamente melhorando assim a relação sinal/ruído.

Também algumas considerações podem ser conferidas de forma imediata:

- A média " M " é mais parecida com o sinal de entrada se comparada com o caso anterior do MCPQ. Portanto, o sinal quociente ficará mais perto de "1".
- A média pode variar entre "1" e "255".
- A média pode ser maior do que, igual ou menor do que o sinal " x ".

A análise da equação II.46 pode ser considerada nos seguintes casos:

Caso A - $\boxed{\bar{x} > x}$ O valor previsto " \bar{x} " é maior do que o valor do sinal de entrada " x ".

Neste caso a média entre o sinal previsto e o sinal de entrada será maior do que o sinal de entrada, mas este valor será inferior ao sinal previsto, portanto, o valor do quociente será um número menor que "1", ficando assim mais perto de "1" comparado com o caso do quociente do sistema MCPQ.

$$\bar{x} > M = \frac{x + \bar{x}}{2} > x \Leftrightarrow \frac{x}{\bar{x}} \leq \frac{x}{M} \leq 1$$

II.49

Um dos extremos neste caso pode ser zero e isso ocorre quando a entrada "x" vale zero.

Caso B - $\hat{x} = x$ O valor previsto " \hat{x} " é igual ao valor de entrada "x".

Neste caso, igual ao caso do MCPQ, o sinal quociente é "1".

Caso C - $\hat{x} < x$ O valor previsto " \hat{x} " é menor do que o sinal de entrada "x".

Neste caso a média "M" será menor que o sinal de entrada "x" e portanto a divisão do sinal de entrada pela média será maior que "1".

$$M = \frac{x + \hat{x}}{2} < x \quad e \quad 1 \leq \frac{x}{M} \leq \frac{x}{\hat{x}} \quad \text{II.50}$$

Um outro valor extremo do sinal quociente ocorre quando o sinal de entrada é igual a 255 e o sinal previsto é igual a 1. Neste caso:

$$M = 128 \quad e \quad q = \frac{255}{128} = 1,9921875 < 2 \quad \text{II.51}$$

O extremo dado pela equação II.51 permite planejar um quantizador que considere como limite superior de variação de " \hat{x} " o valor "2" ao invés do valor "255", como no caso do quociente sem a média. A Fig.II.11 mostra uma forma aproximada de como ficam as distribuições nos sinais quocientes dos casos MCPQ e MCPQ-M.

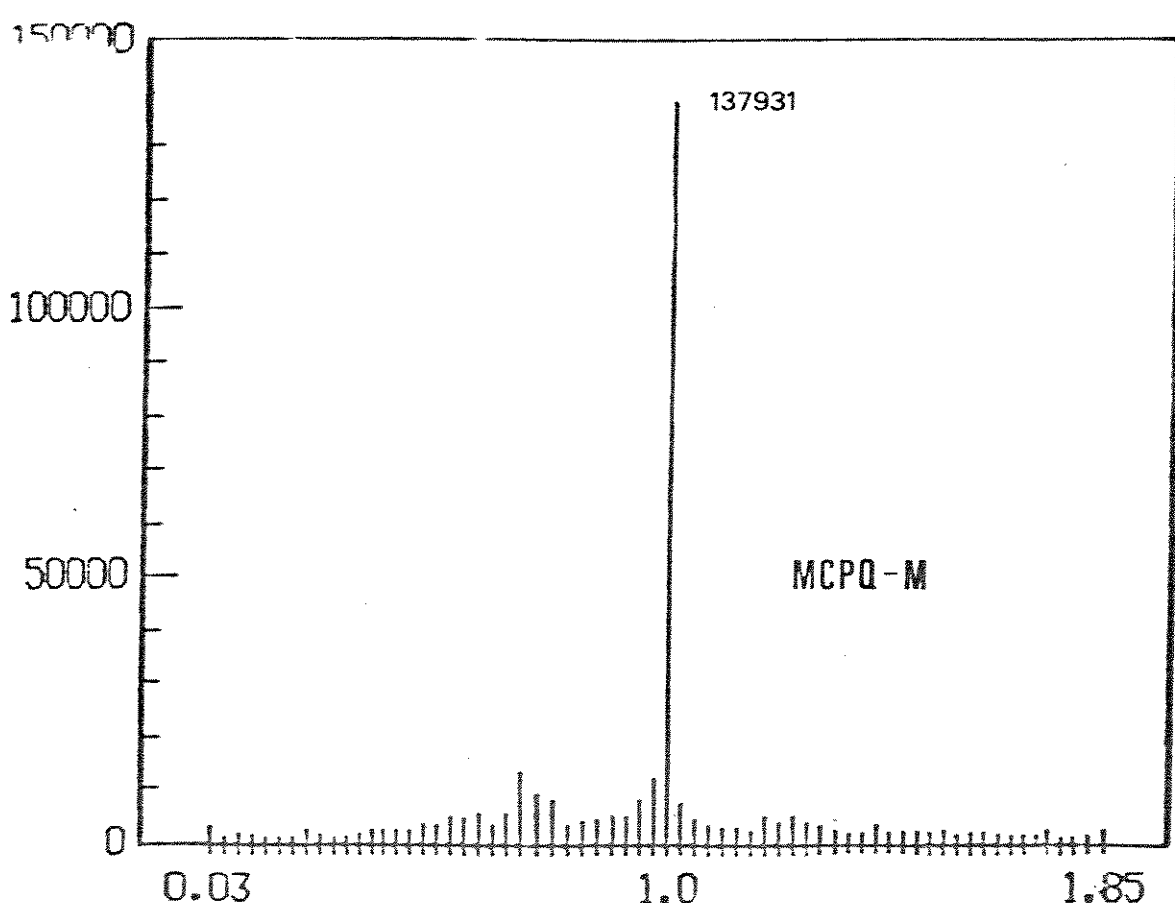
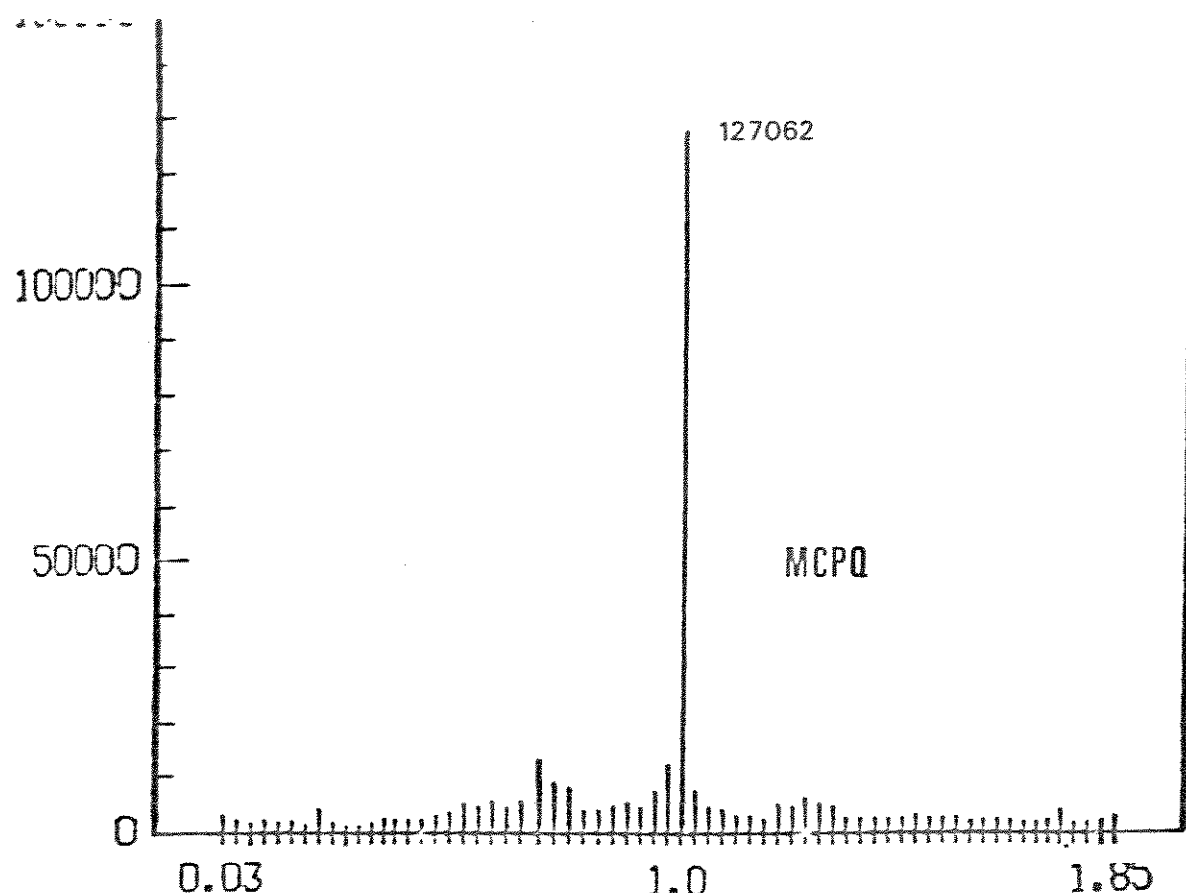


Fig.II.11. -Distribuição do sinal quociente.

É importante lembrar que o divisor "M" é um número inteiro (1-255). Isto quer dizer que os valores do sinal quociente no caso MCPQ-M estarão contidos dentro dos valores da distribuição do sinal quociente no caso MCPQ , em uma menor quantidade de valores e com uma maior frequência de cada um deles. Uma consequência direta desse fato é uma menor entropia do sinal quociente e também do sinal quociente quantizado.

O receptor para o caso MCPQ-M é o mesmo que aquele considerado para o caso MCPQ . Deve-se observar que o sinal recuperado localmente "x'" representa a saída no receptor.

CAPÍTULO III

DESCRICAÇÃO DOS PARÂMETROS DE AVALIAÇÃO DO SISTEMA MCPQ

CAPÍTULO III

DESCRICAÇÃO DOS PARÂMETROS DE AVALIAÇÃO DO SISTEMA MCPQ

III.1 - INTRODUÇÃO

A função principal do sistema MCPQ é a extração da redundância contida em um sinal digitalizado de imagem de TV comercial. A avaliação da qualidade da imagem após a extração dessa redundância deve ser efetuada através de critérios objetivos e subjetivos. A avaliação objetiva de maior interesse neste estudo é a degradação da relação sinal/ruído quando se impõe uma taxa limite de transmissão da informação de 34 Mbit/s. A degradação está associada à perda de qualidade da imagem reproduzida, sendo que a visualização dessa perda constitui uma avaliação subjetiva do desempenho do sistema.

Visando conhecer o desempenho do sistema proposto para a redução da taxa de bits, pretende-se neste capítulo efetuar simulações com preeditores e quantizadores usando como sinais de teste imagens digitalizadas da SMPTE. Com essa finalidade são elaborados diversos programas de computadores trabalhando-se essencialmente com a linguagem FORTTRAN ("Formula Translation"). As imagens digitalizadas encontram-se gravadas em fitas magnéticas em versões que permitem o emprego do Supermini CYBER-180 MODEL-830 da Control-Data.

As simulações usando o computador como ferramenta de avaliação do desempenho de sistemas é uma solução cada vez mais difundidas e necessárias pois a implementação física para testes

e otimização, por exemplo neste trabalho, é impraticável e prohibitivamente dispendioso.

A avaliação usando-se critérios objetivos através do emprego de imagens de teste da SPMTE considera que tais imagens são representativas das imagens normais de televisão.

Essas imagens encontram-se digitalizadas em 8 bits por amostra nas cores primárias E'_R , E'_B e E'_G .

O sinal de entrada para as simulações é o sinal composto " E'_M ". Portanto, foi preciso a realização da conversão dos sinais primários para o sinal composto PAL-M. A realização deste processo foi feita através de programa disponível RGBM [3.1].

Para a realização dos critérios subjetivos é preciso transformar de volta o sinal composto PAL-M, processado pelo sistema MCPQ para os sinais primários uma vez que o sistema de tratamento de imagens disponível aceita as componentes no formato RGB. Isso foi feito com o programa disponível MRGB [3.1].

III.2 - CRITÉRIOS PARA AVALIAÇÃO DO DESEMPENHO

Os critérios objetivos visam fundamentalmente comparar os resultados obtidos para diferentes combinações de preditores e quantizadores quando o sistema é submetido a diversos sinais de testes. A comparação é feita através dos valores numéricos de diversos parâmetros que representam o desempenho do sistema. Os parâmetros de maior relevância são a relação sinal/ruído e a entropia do sinal quantizado.

Os critérios subjetivos são também considerados na fase intermediária a fim de se ter uma avaliação da qualidade visual da imagem que está sendo processada.

A avaliação usando critérios objetivos é efetuada empregando-se imagens-teste da SMPTE as quais são consideradas imagens representativas das imagens normais de televisão.

III.2.1 - Degradação da Relação Sinal/Ruído

Suponha que "x" seja o sinal analógico de pico de entrada e "x'" seja o sinal analógico correspondente após a conversão A/D e a recuperação na malha de realimentação do sistema que corresponde ao sinal recuperado no receptor.

Define-se a relação sinal/ruído para este trabalho como sendo:

$$SNX = 10 \log \frac{\overline{x^2}}{\overline{\mu^2}} \quad III.1$$

As estimativas usadas para $\overline{x^2}$ e $\overline{\mu^2}$ são dadas por :

$$\overline{x^2} = \frac{1}{N_L} \sum_{j=1}^{N_L} \frac{\sum_{i=1}^{N_a} x_{i,j}^2}{N_a} \quad III.2$$

$$\overline{\mu^2} = \frac{1}{N_L} \sum_{j=1}^{N_L} \frac{\sum_{i=1}^{N_a} (x_{i,j} - \bar{x}_{i,j})^2}{N_a} \quad III.3$$

onde " N_L " é o número de linhas do quadro e " N_a " é o número de amostras por linhas.

No caso da relação sinal/ruído de pico usa-se:

$$\overline{x^2} = L^2$$

III.4

onde "L" vale 700mV para sinal analógico e "180" para o sinal digitalizado entre os níveis "0" e "255".

III.2.2 - Referência para a Relação Sinal/Ruído.

A fim de se obter um parâmetro de comparação da degradação da relação sinal/ruído, define-se uma referência para a relação sinal/ruído. Nesse caso, faz-se uma estimativa para a imagem codificada uniformemente em 7 e 8 bits por amostra, tomando-se como referência a imagem digitalizada em 8 bits/amostra. Como o sinal analógico original foi digitalizado, supõe-se que no processo de digitalização não haja perda de informação. Assim considera-se que a imagem digitalizada em 8 bits/amostra é uma fonte de dados isenta de distorções.

Neste trabalho pretende-se usar a relação com 8 bits/amostra denominado " SN_r " como referência. A Tab.III.1 mostra os valores calculados para algumas imagens da SMPTE. O programa usado foi o "SNE" disponível no banco de dados do Departamento de Comunicações da Faculdade de Engenharia Elétrica da UNICAMP.

SN _r (dB) Imagens da SMPTE							
01	02	03	04	06	08	11	15
35,4	34,6	34,3	33,5	33,1	31,4	31,5	34,2

Tab.III.1 - Relação Sinal/Ruído de Referência.

III.2.3 - Distribuições Acumuladas por Região

No processo de obtenção da taxa de bits, foi preciso determinar a frequência de ocorrência das palavras em cada uma das regiões de acordo com a lei de quantização escolhida. Além disso, dependendo da lei de quantização escolhida existem palavras com o mesmo comprimento que ficam acima de "1" e abaixo de "1". Uma determinada lei fica perfeitamente caracterizada pelo número de níveis dentro de cada região, pelos níveis de quantização e pelos limiares de decisão.

Os limiares são denominados "ALE2" e "ALD2" na região "N" e "ALE1" e "ALD1" na região "M", para valores menores e maiores que um. A região "K" fica definida quando os outros dois já estão, ou seja, todos os níveis de quantização que não estão nas regiões "N" e "M" necessariamente devem estar na região "K". Esses limiares determinam o valor do argumento da variável limite de cada região, o que permite determinar a frequência de ocorrência dos níveis por região. Os valores dos argumentos são denominadas "NKE1", "NKD1", "NME2", "NMD2" a fim de se estimar o número de níveis dentro das regiões "K", "M" e "N" como mostra a Fig.III.1.

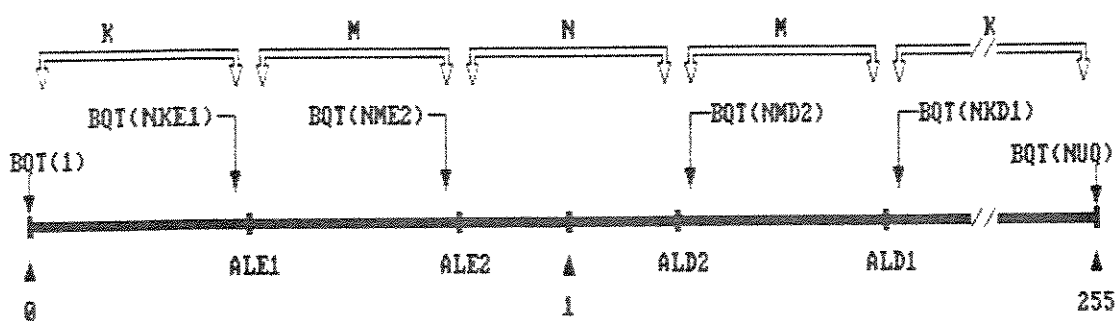


Fig.III.1 - Limiares e níveis para determinação da taxa de bits.

Nessa figura, "BQT(i)" (onde "i" é um número inteiro) são os valores dos diferentes níveis de quantização que seguem a lei utilizada. "NUQ" é o argumento do último nível.

Logo, chamando de " P_n ", " P_m " e " P_k " as frequências de ocorrência em cada um dos níveis de quantização nas regiões "N", "M" e "K" respectivamente, encontramos a frequência de palavras de igual comprimento dentro de cada uma das regiões, isto é:

$$P_N = \sum_{L=NNE_1+1}^{NMD_2-1} P_n(L) \quad III.5$$

$$P_M = \sum_{L=NKE_1+1}^{NME_2} P_n(L) + \sum_{L=NMD_2}^{NKD_1-1} P_m(L) \quad III.6$$

$$P_K = \sum_{L=1}^{NKE_1} P_k(L) + \sum_{L=NKE_1}^{NQT} P_k(L) \quad III.7$$

onde "NQT" é o último valor do argumento do nível de acordo com o quantizador utilizado.

Empregando-se essas equações é possível determinar o valor do comprimento médio da palavra.

Os valores " P_N ", " P_M " e " P_K " são calculados nas simulações. Assim a taxa média de bits por amostra "RM" na saída do conversor de código é dado por:

$$RM = P_N \cdot n + P_M \cdot m + P_K \cdot k \quad III.8$$

As leis de quantização usadas foram denominadas "LEIX" onde "X" é um número que indica o tipo de quantizador usado.

Os limites das regiões na saída do quantizador são os mesmos que para a entrada do quantizador, isto é :

ALE2 = QLE2

ALD2 = QLD2

III.9

ALE1 = QLE1

ALD1 = QLD1

III.2.4 - Entropia do Sinal Quantizado HQ

Em nosso caso define-se a entropia "HQ" por

$$HQ = \sum_{j=1}^{KQT} \frac{NC(j)}{M} \log_2 \left[\frac{M}{NC(j)} \right] \quad III.10$$

onde "NC(j)" é a frequência dos valores nos níveis quantizados, "M" é o número total de dados processados da imagem considerada e "KQT" é o valor total de níveis de quantização.

O valor "HQ" indica o número de bits por amostra transmitidos do sinal quociente quantizado.

III.3 - SIMULAÇÕES

As simulações feitas com imagens da SMPTE, permitem uma avaliação próxima da realidade pela própria natureza das imagens usadas.

Devido à forma de realização da predição, a qual usa duas linhas do mesmo campo, precisa-se trabalhar nas simulações com pelo menos 4 linhas de imagens simultaneamente a fim de se processar uma linha de cada um dos campos que formam o quadro. Como a imagem tem apenas 512 linhas e 512 pontos em cada linha, a simulação também deve levar em conta este fato no processamento da informação contida na imagem. A Fig.III.2 mostra a convenção

adotada para a imagem onde " N_1 " e " N_2 " representam as enumerações nos campos no caso convencional de exposição do quadro na tela de um televisor. Nas simulações, a enumeração " N_3 " foi usada para as linhas de varredura, considerando no processamento as linhas ímpares para um campo e as linhas pares para outro. Indica-se também na Fig.III.2 o sinal do chaveamento PAL, " $m(t)$ ".

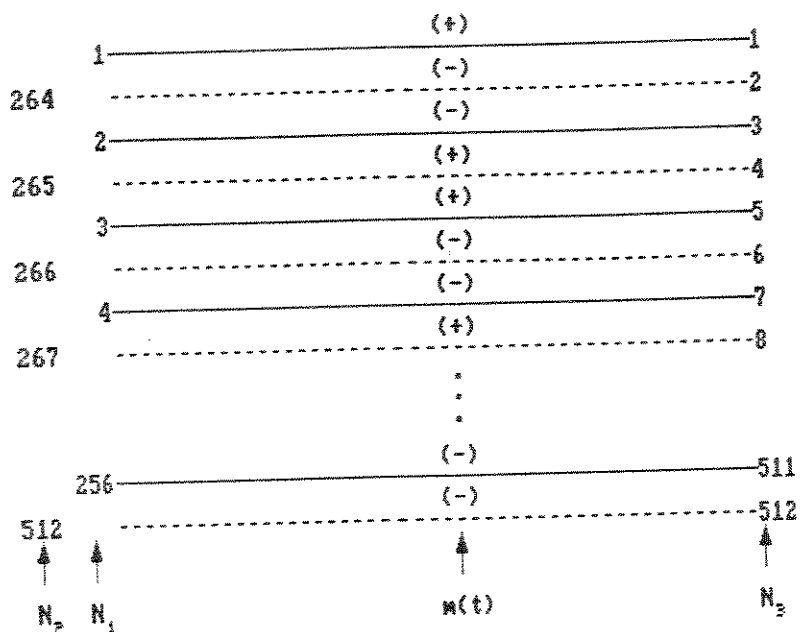


Fig.III.2 - Enumeração das linhas de varredura.

III.3.1 - Quantizador

Na realização do quantizador, os limiares foram escolhidos depois de se realizar uma análise estatística do sinal quociente para uma imagem, usando um preditor chaveado que acarrete uma baixa entropia para o sinal quociente quantizado. A partir dessa análise escolheram-se os limiares de acordo com o número de níveis de quantização usado para o quantizador. As leis

usadas neste trabalho foram de 38, 66 e 128 níveis. A Fig.III.3 mostra um quantizador de duas regiões, com as variáveis usadas para os limiares e níveis de quantização. Deve-se notar que esta figura não leva em consideração a assimetria real do quantizador. Os níveis foram escolhidos como a média entre dois limiares sucessivos [3.1].

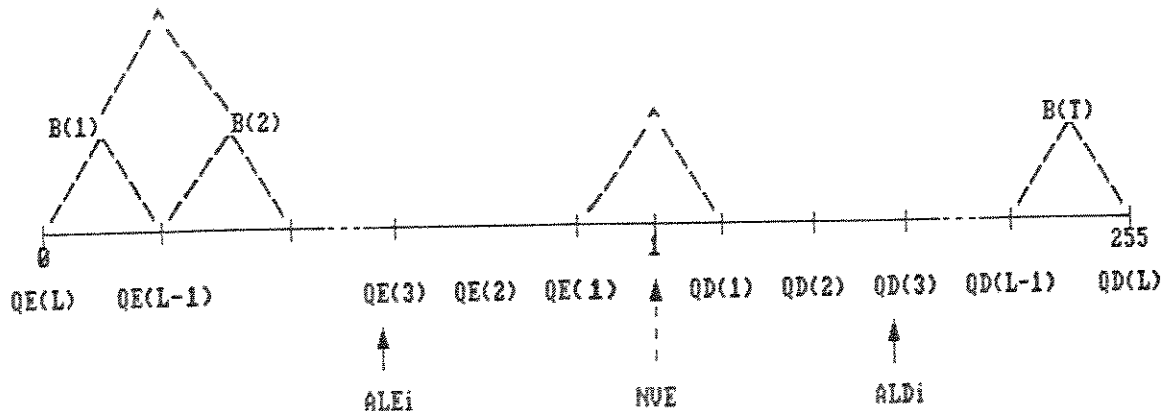


Fig.III.3 - Limiares e níveis de uma lei de quantização de duas regiões

Nessa figura tem-se que "QE(i)", "QD(i)", $i=1\dots L$ representam os limiares do quantizador, para o lado esquerdo e direito de "1", e "B(i)", $i=1,2\dots T$ representam os níveis de decisão do quantizador. As variáveis "ALE_i" e "ALDI", $i=1,2,$ representam os limiares de decisão para separação das regiões "N", "M" e "K".

III.3.2 - Preditores

Na utilização dos preditores, os coeficientes das amostras " A_k " e " B_k " da linha atual e da primeira linha prévia, representados na equação II.37 estão associados com as variáveis indexadas "AP(i)" e "BP(i)" conforme é ilustrado na Fig.III.4.

Nessa figura, tem-se para $f_a = (8/3) f_{sc}$

AP(i) = A_i

三三一

BPC(iD) = B_i

III. 12

com i = número inteiro positivo, $i=1,2,3,\dots$

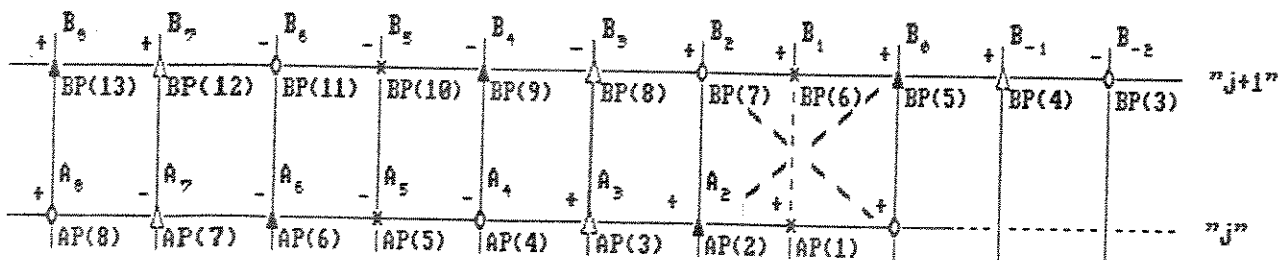


Fig.III.4 - Enumeração dos coeficientes dos preditores para $f_*(3/3)f_{**}$.

Uma vez que os preditores são chaveados, empregam-se nas simulações coeficientes "APz(i)" e "BPz(i)" onde z=0,1,2 e 3. O valor "z" indica o preditor de acordo com a amarração de fase do sinal e "i" indica a posição espacial da amostra na linha considerada.

III.4 - PROCESSAMENTO DA IMAGEM

Na realização das simulações fez-se uso do sinal composto PAL-M obtido através de um programa denominado RGBM que realiza a conversão "componentes/composto" e que se encontra disponível no banco de dados do Departamento de Comunicações da

Faculdade de Engenharia Elétrica da UNICAMP. No processo das transformações dos sinais primários para o sinal composto realiza-se a filtragem do sinal de acordo com as características do sistema PAL-M. O sinal assim gerado é o sinal de entrada para o sistema MCPQ.

As simulações para a avaliação do sistema, são efetuadas para diferentes quantizadores e preditores sendo o desempenho dos mesmos medido em termos de relação sinal/ruído e taxa de bits.

O sinal recomposto, representa o sinal recebido no receptor, no caso em que o canal de transmissão ideal, i.e., não introduz a distorção. Para a realização da análise subjetiva das imagens consideradas fez-se a decomposição do sinal PAL-M recomposto de volta para os sinais primários. Isso foi realizado mediante o programa MRGB também disponível.

Supõe-se que ambos os programas RGBM e MRGB não provocam erros nas imagens durante o processo da transformação dos sinais primários para os sinais compostos e vice-versa.

No processo de transformação dos sinais primários para o composto PAL-M o programa RGBM deve fornecer amostras adicionais correspondentes às 512 que existem nos arquivos originais a fim de compensar o espalhamento provocado pelas filtragens [3.2].

III.4.1 - Programa para Simulação

O programa para avaliação do sistema foi denominado MCPQ. Tal programa permite fazer mudanças no preditor e no quantizador modificando os dados na entrada do programa. A Fig.III.5 mostra o diagrama de fluxo geral do sistema.

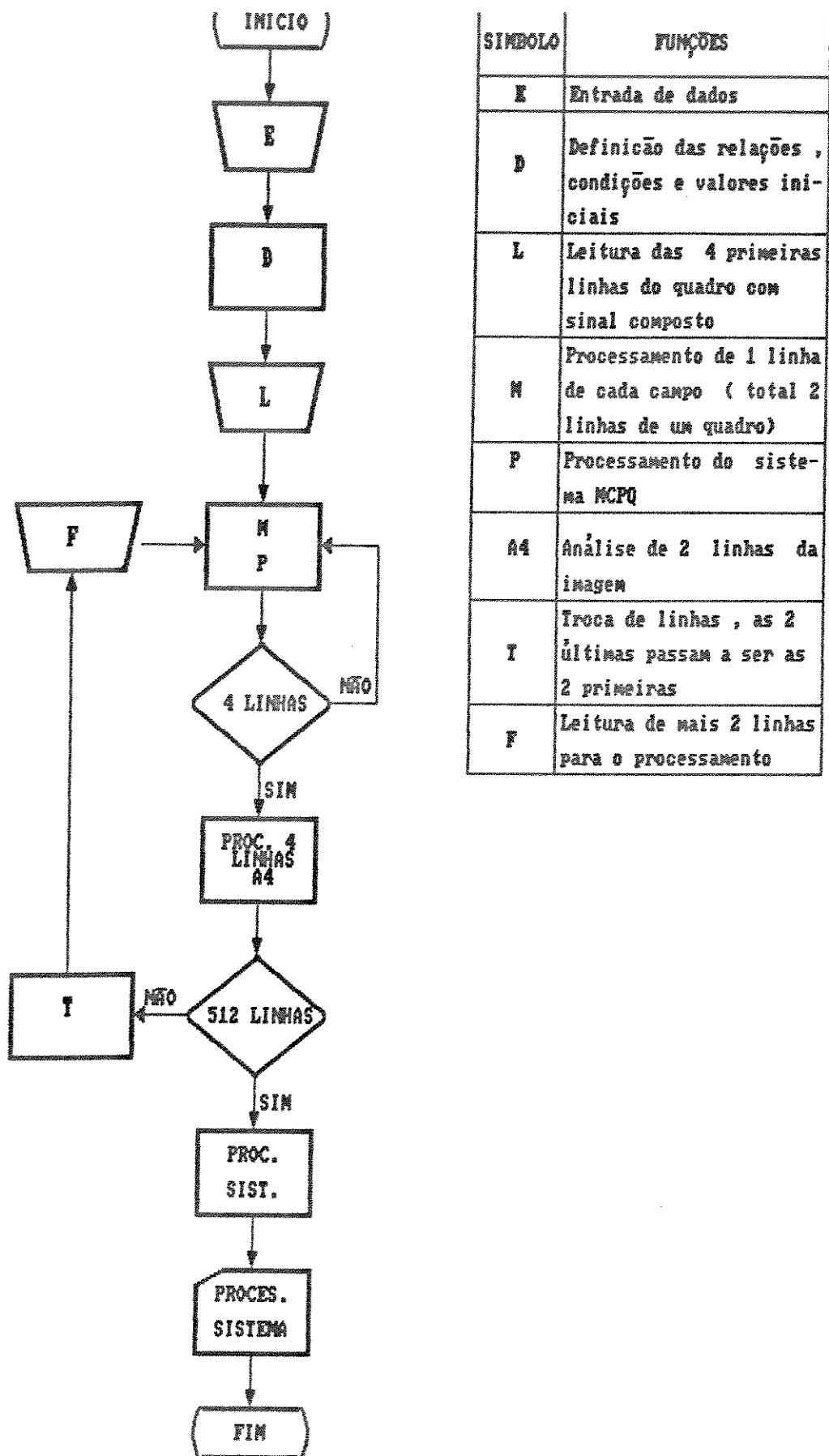


Fig.III.5 - O fluxograma do processamento do sistema MCPQ.

Têm-se:

E = entrada de dados

D = definição das relações, condições e valores iniciais

L = leitura das 4 primeiras linhas do quadro com sinal composto

M = processamento de uma linha de cada campo (total: duas linhas de um quadro)

P = processamento do sistema MCPQ

A4 = análise de 2 linhas da imagem

T = troca de linhas; as duas últimas linhas passam a ser as duas primeiras

F = leitura de mais duas linhas para o processamento

III.5 - O SISTEMA MCPQ

O sistema MCPQ é mostrado na Fig.III.6 onde se apresenta a correspondência entre os sinais e as diferentes variáveis no programa. Também se indicam os intervalos dos valores das variáveis.

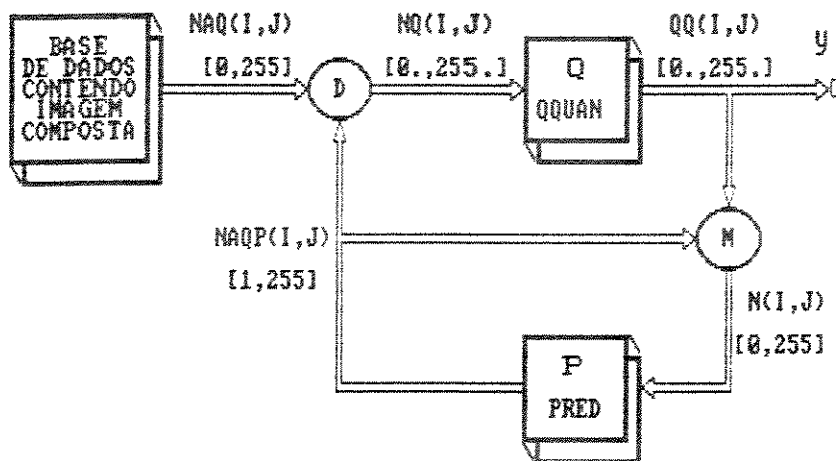


Fig.III.6 - Intervalo de variação das variáveis no sistema MCPQ proposto.

No processamento da informação usou-se:

a) Variáveis de entrada

NLQ = número de linhas processadas

NW = escrita dos parâmetros de saída do sistema MCPQ

NRE = parâmetro para determinação do arquivo de entrada de dados da imagem a processar

NX = parâmetro para determinação do nível de referência do ruído

IZN = parâmetro para escolha do preditor a utilizar

NY = parâmetro para escolha da lei de quantização

NBIT, MBIT, KBIT = valores de "n", "m", "k" para determinação da lei de quantização

b) Variáveis de Saída (para o sistema MCPQ e MCPQ-MD)

SNOX = valor obtido no processamento da imagem no sistema

SREF = relação sinal/ruído de referência para a imagem escolhida

HQ = entropia quantizada do sinal

Q = taxa de bits de transmissão

PKQ = porcentagem da frequência de ocorrência na região "K"

PMQ = porcentagem da frequência de ocorrência na região "M"

PNQ = porcentagem da frequência de ocorrência na região "N"

RMQ = valor médio da taxa de bits por amostra

IZ0, IZ1, IZ2, IZ3 = variáveis associadas ao preditor escolhido

NQQ = número de ocorrência do valor "1" depois da quantização

No processamento da imagem, o programa utiliza as seguintes subrotinas:

PRSE = subrotina do preditor para $f_a = (8/3)f_{sc}$

RSN8 = subrotina para determinação do valor de referência da relação sinal/ruido, para a imagem processada
 COEF8 = subrotina para determinação dos coeficientes dos preditores
 LEI = subrotina para escolha dos limiares de quantização
 (contém várias leis de quantização)
 QQUAN = subrotina do quantizador do sinal quociente
 PR8E = subrotina para escolha dos preditores chaveados
 KEP = subrotina do limitador do sinal de saída do preditor
 ENTROQ = subrotina para cálculo da entropia
 CONTQ = subrotina que ordena os números em 4 regiões [0,0.5] [0.5;1] [1.,2] [2.,255] depois da quantização. Contém 4 subrotinas: CONQ1, CONQ2, CONQ3 e CONQ4.
 CONT = subrotina que ordena os números do sinal quociente por regiões. Contém as subrotinas CONT1, CONT2, CONT3 e CONT4.

Para a realização do sistema MCPQ-M, devido ao fato de se dividir o sinal de entrada pela média entre o sinal de entrada e o sinal previsto, os limiares dos valores do sinal no sistema ficam como mostrado na Fig.III.7.

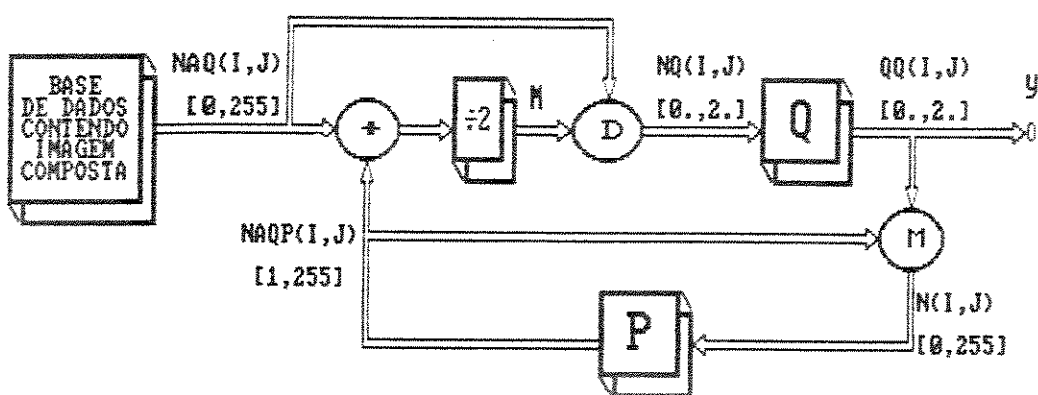


Fig.III.7 - Intervalo de variação das variáveis no sistema MCPQ-M proposto.

A fim de se determinar o valor médio para o sistema MCPQ-M foi necessário adicionar apenas uma linha no programa original MCPQ, redefinindo o denominador do sinal quantizado, isto é:

```
NAQPC(11,J1)=IFIX(CFLOAT(NAQCI1,J1)+NAQPC(11,J1))/2.+0.5D      III.12
```

este valor foi denominado "M" na análise do sinal no capítulo anterior.

III.5.1 - Análise Subjetiva

A análise subjetiva é feita seguindo-se o seguinte procedimento:

- 1 - Escolhe-se o par "preditor-quantizador" desejado e faz-se o processamento das imagens usando-se o sinal composto.
- 2 - Obtém-se o sinal digital recuperado localmente, ou seja, o sinal antes da predição.
- 3 - Faz-se a decomposição do sinal composto nos correspondentes sinais primários.
- 4 - Os sinais primários são visualizados num monitor de uma estação de processamento de imagens (no caso foi usado o sistema SITIM, Sistema de Tratamento de Imagens produzido pela Engespaço, São José dos Campos - SP).
- 5 - Observa-se a imagem reproduzida no monitor e faz-se uma avaliação subjetiva comparando-se a imagem recuperada com a original. Naturalmente existe a escala de 5 graus recomendada pela CCIR, porém não há infra-estrutura disponível no momento para implementar as medidas baseadas nessa recomendação [3.3].

III.6 - IMAGENS PADRÃO DA "SMPTE"

É um conjunto de 15 imagens na forma de diapositivos que são propostos pela "SMPTE" pretendendo que cada uma delas seja representativa de determinadas características em cenas comuns de televisão comercial. Essas imagens dão origem a sinais com caráter essencialmente estatístico, possibilitando uma avaliação mais próxima da realidade. No presente trabalho usam-se apenas 3 dessas imagens, quais sejam as imagens SMPTE números 2, 4 e 15. Essas imagens escolhidas são classificadas como mostra a Tab.III.2.

Imagen de Teste nº	Características
2	muito detalhe, fundo rico, luz diurna, ambiente interior, quantidade razoável de iluminação
4	detalhe localizado, fundo pobre, luz diurna, ambiente interior, cabeça e ombro, muita iluminação
15	muito detalhe, fundo rico, luz diurna, ambiente interior, muita iluminação, ênfase na pessoa

Tab.III.2 - Classificação adotada para as 3 imagens da "SMPTE" escolhidas para simulação.

As imagens mostradas na Fig.III.8 em preto e branco, são a reprodução das fotografias originais antes da digitalização. Durante a digitalização a imagem luminosa é filtrada por filtros de luz primários antes da conversão óptico-eletrico. Os sinais eletricos geram então, após a digitalização, 3 matrizes de 512 x 512 pontos, sendo que cada uma dessas matrizes corresponde a uma



(04)



(02)



(15)

Fig.III.8 - Imagens da SMPTE (Cópia em preto e branco).

das cores primárias, vermelho, verde e azul. Cabe ressaltar que durante o processo de digitalização introduz-se uma degradação na qualidade da imagem em relação à da fotografia original.

CAPÍTULO IV

RESULTADOS DAS SIMULAÇÕES E CONCLUSÕES

CAPÍTULO IV

RESULTADOS DAS SIMULAÇÕES E CONCLUSÕES

IV.1 - MODELAMENTO E PROGRAMAS UTILIZADOS

Inicialmente para efetivar as simulações foram feitos estudos preliminares sobre o sinal quociente usando-se o programa "QUOCIENTE". Esse programa permitiu a observação da frequência de distribuição dos valores do sinal quociente bem como a distância (delta) entre dois números sucessivos.

No caso do sistema MCPQ-M, também foi realizado um estudo sobre a informação fornecida pelo programa "QUOMÉDIA" com respeito à frequência de distribuição dos valores do sinal quociente.

O primeiro passo para a realização das simulações, foi testar o sistema proposto com um quantizador 1:1 e preditores fixos (sem chaveamento). A escolha dos preditores baseia-se em trabalho anterior onde se usa o sistema MCPD a fim de se realizar algumas comparações [4.1]. Na verdade, é difícil a realização de uma comparação direta entre os sistemas citados devido ao fato de que os quantizadores de ambos são muito diferentes, uma vez que o sistema MCPQ é assimétrico e não linear sendo a saída do mesmo dada por números reais ao contrário do sistema MCPD que trabalha com números inteiros.

Para a avaliação do sistema usaram-se programas que permitem a realização da análise objetiva e subjetiva. A Fig. IV.1

mostra o esquema usado para tanto.

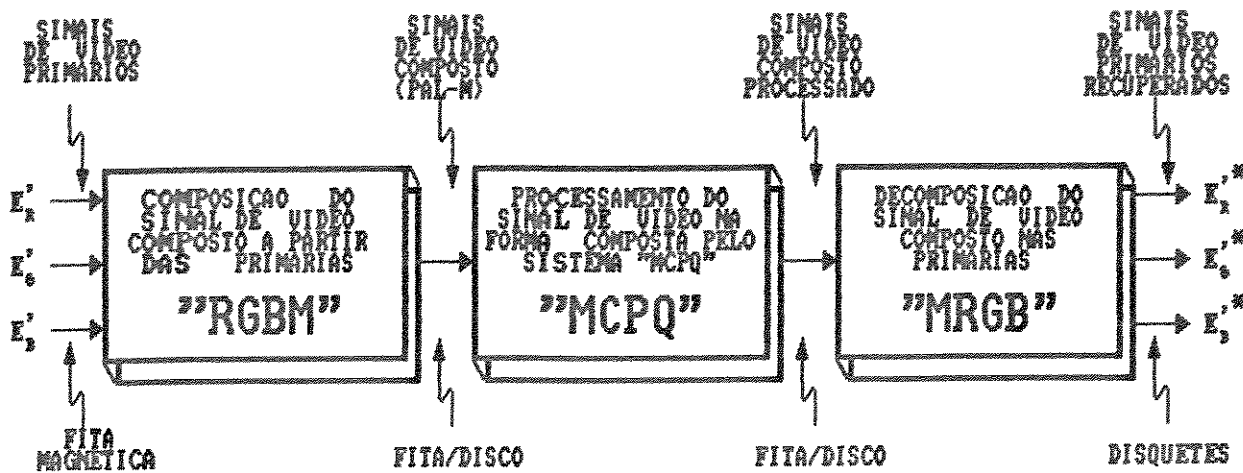


Fig.IV.1 - Modelamento do sistema para a realização das simulações.

Nessa figura o bloco "RGBM" transforma as componentes primárias E'_R , E'_G e E'_B no sinal de vídeo composto E'_M segundo o padrão do sistema PAL-M. O bloco MCPQ constitui o programa que simula o sistema MCPQ. A sua saída é um arquivo de dados que corresponde a um sinal de vídeo composto E'^*_M . O bloco "MRGB" faz a transformação do sinal composto recuperado pelo sistema nas primárias E'^*_R , E'^*_G e E'^*_B . Essa decomposição é necessária para a realização da análise subjetiva [4.2].

Para se observar a imagem no SITIM, foi preciso transferir os arquivos recuperados da imagem E'^*_R , E'^*_G e E'^*_B para disquetes (discos flexíveis), uma vez que o sistema de tratamento de imagens SITIM usa um micro PC-XT ou PC-AT.

Os arquivos contendo os dados das cores primárias estão em "Bytes" a fim de minimizar a ocupação da fita magnética usada como memória de massa. Portanto, deve-se transformar os arquivos do formato binário para o formato inteiro antes do processamento. Essa transformação é realizada pelo programa disponível

O programa usado no VAX(DEC) para ser compatível com a linguagem FORTRAN do CYBER-830 deve sofrer pequenas modificações.

Quando os dados das imagens em formato inteiro são transferidos da fita e/ou diskete para o disco e vice-versa tais dados ficam misturados com as informações de controle que são fornecidas pelo programa aplicativo usado. Essas informações devem ser retiradas, porque elas aparecem junto com a imagem original na tela provocando barras verticais que causam interferências regularmente espaçadas na imagem. Para eliminar essas informações de controle da imagem, usa-se um programa simples em linguagem PASCAL, a qual oferece maiores facilidades do que o FORTRAN quando se trabalha com arquivos de dados numéricos.

IV.2 - RESULTADOS DAS SIMULAÇÕES

Com os preditores escolhidos e mostrados na Tab.II.1 e com os quantizadores da Tab.II.2 realizaram-se as simulações afim de se observar o comportamento do sistema MCPQ. Posteriormente, realizaram-se testes com o sistema MCPQ-M, observando-se neste caso que existe uma melhora notável de desempenho e que pode ser constatada pela análise dos parâmetros de qualificação do sistema, isto é, a relação sinal/ruído, a entropia do quociente quantizado e a taxa de bits de transmissão. Dessa forma, neste trabalho a ênfase para apresentação de resultados é dada para o sistema MCPQ-M.

As leis de quantização estão associadas à subrotinas

LEIX, onde "X" é um número inteiro como se mostra na Tab.IV.1.

Subrotina	Leis de Quantização n-m-k	Nº de Níveis
LEI 1	0-3-9	68
LEI 2	0-1-7	64
LEI 3	0-3-8	38
LEI 4	1-4-8	23
LEI 5	1-2-8	67
LEI 6	0-2-7	34
LEI 7	1-3-8	35
LEI 8	0-2-8	66
LEI 9	0-1-8	128

Tab.IV.1 - Subrotinas Associadas às Leis de Quantização.

IV.2.1 - Análise dos Resultados

A Tab.IV.2 mostra os resultados obtidos para a relação sinal/ruído e para a entropia quantizada quando se usa os preditores 48 e 57, preditores esses que foram selecionados para as simulações do sistema MCPQ. Tal escolha baseou-se no fato de que esses preditores apresentam melhor desempenho do que os outros propostos para quantização 1:1 no caso do sistema MCPD [4.1]. Essa tabela é apresentada para observar as diferenças que existem entre os sistemas MCPQ e o MCPQ-M.

Para o caso dos quantizadores escolheu-se aqueles que apresentam uma maior relação sinal/ruído e uma menor entropia quantizada.

Nota-se que existe um compromisso entre a relação sinal/ruído e a entropia quantizada. A entropia quantizada está

diretamente relacionada com o número de níveis de quantização usado, ou seja, a entropia aumenta com o aumento dos níveis de quantização, assim como a relação sinal/ruído também tende a crescer uma vez que os erros de quantização diminuem com o aumento do número de níveis.

Quantizador	IMAGEM 4					
	Preditor 48			Preditor 57		
	SN 700	SN 180	HQ	SN 700	SN 180	HQ
Lei 3	12.3	13.2	3.9	10.1	10.8	3.8
Lei 8	22.3	23.7	4.3	20.5	21.7	4.1
Lei 9	27.5	28.8	5.2	24.2	26.5	5.0

Tab. IV.2 - Resultados para o sistema MCPQ simples.

Na Tab. IV.2 observa-se uma baixa relação sinal/ruído. Isso ocorre porque o erro gerado pelo quantizador é grande uma vez que esse erro tende a aumentar proporcionalmente ao valor do sinal previsto. Dessa forma propõe-se o sistema modificado MCPQ-M para tentar diminuir o erro de quantização.

IV.2.2 - Simulações com o Sistema MCPQ-M

Para a realização das simulações usou-se as imagens 02, 04 e 15 da SMPTE. As Tabs. IV.3, IV.4 e IV.5, mostram os resultados mais significativos obtidos das simulações para os preditores escolhidos.

As Tabs. IV.6 (a), (b), (c) e (d) mostram alguns resultados adicionais obtidos para outros preditores usando-se a imagem SMPTE 4.

IMAGEM 2

LEI	Preditor 48			Preditor 57		
	SN 700	SN 180	HQ	SN 700	SN 180	HQ
LEI 1	35.6	37.3	4.4	32.4	34.2	4.3
LEI 2	33.8	34.0	3.2	31.6	33.1	3.1
LEI 3	46.3	48.1	3.8	43.6	45.4	3.7
LEI 4	34.1	36.8	3.3	32.2	34.0	3.2
LEI 5	49.6	51.3	4.4	47.3	48.78	4.3
LEI 6	50.4	52.1	4.3	47.9	49.7	4.2
LEI 7	40.0	41.8	3.9	37.6	39.3	3.8
LEI 8	49.5	51.2	4.3	46.8	48.6	4.1
LEI 9	52.9	54.7	5.0	49.5	51.2	4.8

Tab. IV.3 - Parâmetros para a avaliação do desempenho dos preditores 48 e 57 para as leis escolhidas, realizadas com a imagem SMPTE 2.

IMAGEM 4

LEI	Preditor 48			Preditor 57		
	SN 700	SN 180	HQ	SN 700	SN 180	HQ
LEI 1	43.2	44.7	4.0	41.4	43.2	4.1
LEI 2	51.1	52.9	4.2	48.5	50.3	4.0
LEI 3	47.9	49.6	3.8	45.2	46.9	3.7
LEI 4	35.5	37.2	3.2	34.5	36.2	3.0
LEI 5	51.22	52.9	4.2	50.2	52.0	3.9
LEI 6	53.2	55.1	4.5	51.2	52.8	4.3
LEI 7	42.3	43.7	4.3	41.5	40.3	4.1
LEI 8	49.3	51.1	4.2	56.2	58.01	4.9
LEI 9	51.8	53.5	5.0	52.4	54.2	4.8

Tab. IV.4 - Parâmetros para avaliação do desempenho dos preditores 48 e 57 sobre a imagem SMPTE 4.

IMAGEM 15

LEI	Preditor 48			Preditor 57		
	SN 700	SN 180	HQ	SN 700	SN 180	HQ
LEI 1	38.5	40.3	4.2	33.4	35.18	4.1
LEI 2	49.3	50.8	4.0	46.2	47.0	3.8
LEI 3	47.4	49.1	3.7	44.4	46.2	3.6
LEI 4	35.9	37.7	3.0	33.2	35.0	3.0
LEI 5	51.0	52.7	4.1	47.9	49.7	3.9
LEI 6	40.9	42.1	3.6	37.8	39.3	3.7
LEI 7	41.6	43.4	3.8	38.2	39.9	3.7
LEI 8	48.7	50.5	4.1	45.4	47.2	3.9
LEI 9	56.4	58.2	4.9	52.3	54.1	4.7

Tab. IV.5 - Parâmetros para avaliação do desempenho dos preditores 48 e 57 sobre a imagem 15.

As Tabs. IV.7, IV.8 e IV.9 mostram os níveis de quantização escolhidos "BQT" para quantizadores que seguem a LEI3 e possuem 38 níveis. Nessas tabelas encontram-se também as frequências de ocorrência "NQQ" correspondentes aos diversos níveis. No Apêndice A são fornecidos os níveis de quantização bem como a frequência de ocorrência do quociente quantizado para quantizadores com 66 níveis para as imagens SMPTE 2 e 4.

No Apêndice B são fornecidas as listagens dos programas de computador usadas para as simulações de avaliação de desempenho do sistema proposto. Tais programas consistem de um programa principal e subrotinas que modelam o sistema MCPO e MCPO-M, englobando dessa forma as diversas funções necessárias para a realização do modelamento bem como dos cálculos dos parâmetros de avaliação objetiva.

LEI	Preditor 14			Preditor 48		
	SN 700	SN 180	HQ	SN 700	SN 400	HQ
LEI 1	-	-	-	46.3	48.1	3.8
LEI 2	44.8	46.8	4.6	-	-	-
LEI 4	28.4	30.1	3.5	34.4	35.8	3.3
LEI 5	45.0	46.8	4.6	50.4	52.1	4.3

(a)

LEI	Preditor 55			Preditor 56		
	SN 700	SN 180	HQ	SN 700	SN 400	HQ
LEI 1	43.77	45.5	3.9	42.3	44.1	3.8
LEI 2	48.1	49.9	4.4	-	-	-
LEI 4	51.8	33.6	3.4	31.0	32.7	3.4
LEI 5	48.9	50.7	4.4	46	47.7	4.3

(b)

LEI	Preditor 10			Preditor 11		
	SN 700	SN 180	HQ	SN 700	SN 180	HQ
LEI 1	43.4	45.2	3.9	41.0	42.8	3.9
LEI 2	48.1	49.9	4.4	45.3	47.07	4.5
LEI 4	31.7	33.5	3.4	28.97	30.7	3.5
LEI 5	48.7	50.4	4.4	45.5	44.3	4.4

(c)

LEI	Preditor 12			Preditor 13		
	SN 700	SN 180	HQ	SN 700	SN 400	HQ
LEI 1	43.2	45.0	3.8	40.4	42.1	4.0
LEI 2	47.3	49.1	4.4	44.7	46.5	4.6
LEI 4	32.2	34.6	3.3	29.2	31.0	-
LEI 5	47.5	49.3	4.3	45.0	46.8	4.6

(d)

Tab. IV.6 - Outros resultados obtidos para avaliação de desempenho no sistema MCPQ-M.

BQT (1) =	. 1000	NQQ =	2701
BQT (2) =	. 2750	NQQ =	114
BQT (3) =	. 4486	NQQ =	1171
BQT (4) =	. 6667	NQQ =	2238
BQT (5) =	. 8000	NQQ =	2313
BQT (6) =	. 8236	NQQ =	662
BQT (7) =	. 8431	NQQ =	1525
BQT (8) =	. 8750	NQQ =	3917
BQT (9) =	. 9167	NQQ =	7584
BQT (10) =	. 9444	NQQ =	5944
BQT (11) =	. 9608	NQQ =	9759
BQT (12) =	. 9712	NQQ =	5994
BQT (13) =	. 9756	NQQ =	4792
BQT (14) =	. 9783	NQQ =	1274
BQT (15) =	. 9796	NQQ =	1455
BQT (16) =	. 9818	NQQ =	5836
BQT (17) =	. 9855	NQQ =	38954
BQT (18) =	. 9892	NQQ =	9792
BQT (19) =	. 9929	NQQ =	8249
BQT (20) =	1. 0000	NQQ =	120319
BQT (21) =	1. 0060	NQQ =	3059
BQT (22) =	1. 0097	NQQ =	12803
BQT (23) =	1. 0145	NQQ =	15408
BQT (24) =	1. 0182	NQQ =	3525
BQT (25) =	1. 0217	NQQ =	4073
BQT (26) =	1. 0256	NQQ =	4600
BQT (27) =	1. 0313	NQQ =	5658
BQT (28) =	1. 0400	NQQ =	5033
BQT (29) =	1. 0526	NQQ =	4914
BQT (30) =	1. 0667	NQQ =	3020
BQT (31) =	1. 0833	NQQ =	3211
BQT (32) =	1. 1111	NQQ =	3114
BQT (33) =	1. 1679	NQQ =	3114
BQT (34) =	1. 2535	NQQ =	2227
BQT (35) =	1. 3600	NQQ =	697
BQT (36) =	1. 5000	NQQ =	851
BQT (37) =	1. 6650	NQQ =	633
BQT (38) =	1. 8750	MQQ =	567

Tab.IV.7 - Níveis de quantização e frequência de ocorrência do sinal quantizado para a imagem 2 com o preditor 57 e a lei de quantização LEI3.

BQT (1) =	.1000	NQQ =	3342
BQT (2) =	.2750	NQQ =	621
BQT (3) =	.4486	NQQ =	1355
BQT (4) =	.6667	NQQ =	1907
BQT (5) =	.8000	NQQ =	3443
BQT (6) =	.8236	NQQ =	295
BQT (7) =	.8431	NQQ =	1045
BQT (8) =	.8750	NQQ =	1991
BQT (9) =	.9167	NQQ =	3937
BQT (10) =	.9444	NQQ =	4426
BQT (11) =	.9608	NQQ =	10268
BQT (12) =	.9712	NQQ =	5008
BQT (13) =	.9756	NQQ =	5758
BQT (14) =	.9783	NQQ =	7945
BQT (15) =	.9796	NQQ =	6960
BQT (16) =	.9818	NQQ =	17074
BQT (17) =	.9855	NQQ =	14387
BQT (18) =	.9892	NQQ =	13869
BQT (19) =	.9929	NQQ =	14773
BQT (20) =	1.0000	NQQ =	117064
BQT (21) =	1.0060	NQQ =	2196
BQT (22) =	1.0097	NQQ =	17131
BQT (23) =	1.0145	NQQ =	9459
BQT (24) =	1.0182	NQQ =	7141
BQT (25) =	1.0217	NQQ =	8597
BQT (26) =	1.0256	NQQ =	3458
BQT (27) =	1.0313	NQQ =	4948
BQT (28) =	1.0400	NQQ =	4896
BQT (29) =	1.0526	NQQ =	4116
BQT (30) =	1.0667	NQQ =	1780
BQT (31) =	1.0833	NQQ =	1933
BQT (32) =	1.1111	NQQ =	1712
BQT (33) =	1.1679	NQQ =	1753
BQT (34) =	1.2535	NQQ =	2669
BQT (35) =	1.3600	NQQ =	608
BQT (36) =	1.5000	NQQ =	879
BQT (37) =	1.6650	NQQ =	1381
BQT (38) =	1.8750	NQQ =	975

Tab. IV.8 - Níveis de quantização e frequência de ocorrência do sinal quantizado para a imagem 4, o preditor 48 e a lei de quantização LEI3.

BQT (1) =	.1000	NQQ =	3538
BQT (2) =	.2750	NQQ =	371
BQT (3) =	.4486	NQQ =	1582
BQT (4) =	.6667	NQQ =	1807
BQT (5) =	.8000	NQQ =	3386
BQT (6) =	.8236	NQQ =	245
BQT (7) =	.8431	NQQ =	885
BQT (8) =	.8750	NQQ =	2629
BQT (9) =	.9167	NQQ =	5263
BQT (10) =	.9444	NQQ =	5104
BQT (11) =	.9608	NQQ =	8955
BQT (12) =	.9712	NQQ =	5122
BQT (13) =	.9756	NQQ =	5463
BQT (14) =	.9783	NQQ =	1563
BQT (15) =	.9796	NQQ =	1873
BQT (16) =	.9818	NQQ =	6362
BQT (17) =	.9855	NQQ =	31048
BQT (18) =	.9892	NQQ =	13637
BQT (19) =	.9929	NQQ =	19943
BQT (20) =	1.0000	NQQ =	117306
BQT (21) =	1.0060	NQQ =	3669
BQT (22) =	1.0097	NQQ =	17772
BQT (23) =	1.0145	NQQ =	13816
BQT (24) =	1.0182	NQQ =	3233
BQT (25) =	1.0217	NQQ =	3704
BQT (26) =	1.0256	NQQ =	3363
BQT (27) =	1.0313	NQQ =	4796
BQT (28) =	1.0400	NQQ =	4395
BQT (29) =	1.0526	NQQ =	4239
BQT (30) =	1.0667	NQQ =	2204
BQT (31) =	1.0833	NQQ =	2447
BQT (32) =	1.1111	NQQ =	2145
BQT (33) =	1.1679	NQQ =	2339
BQT (34) =	1.2535	NQQ =	2526
BQT (35) =	1.3600	NQQ =	606
BQT (36) =	1.5000	NQQ =	1226
BQT (37) =	1.6650	NQQ =	1539
BQT (38) =	1.8750	NQQ =	999

Tab. IV.9 - Níveis de quantização e frequência do sinal quantizado para a imagem 15, o preditor 48 e a lei de quantização LEI3.

IV.2.3 - Discussão sobre os resultados.

As simulações feitas com as imagens 02, 04 e 15, permitem as seguintes conclusões:

- a) A entropia conseguida com os preditores 48 e 57 diminui muito em relação aos outros preditores para um mesmo quantizador e ao mesmo tempo a relação sinal/ruído apresenta uma melhora considerável. A lei de quantização de 38 níveis (0-38), também apresenta um excelente comportamento para qualquer uma das imagens consideradas neste trabalho.
- b) A novidade com relação ao estudo do sistema proposto foi o fato de se trabalhar com números reais, e isso possibilita um amplo leque de pesquisas porque pode-se ainda analisar cada um dos sub-sistemas que formam o sistema MCPQ-M. Além disso, a alternativa introduzida pela utilização da divisão pela média permitiu a correção dos valores previstos o que melhorou notavelmente o desempenho do sistema. Tal melhoria permite deduzir que existe uma compensação do erro de quantização quando se usa a média resultando em um aumento da relação sinal/ruído e em uma diminuição da entropia.
- c) As frequências de ocorrência do sinal quociente quantizado para as diferentes imagens mostram que as entropias são da mesma ordem de grandeza podendo-se notar que existe uma maior concentração dos valores em torno de "1" conforme é esperado no caso de uma boa previsão. O grau de concentração dos níveis

em torno de "1" é mais acentuado no caso do sistema MCPQ-M do que no caso do MCPQ.

d) Observa-se também uma melhora notável da relação sinal/ruído no caso do MCPQ-M em relação ao caso MCPQ simples. Este fato ocorre porque o sinal quantizado no sistema MCPQ-M fica restrito entre os limiares de "0" a "2" enquanto que no MCPQ o sinal pode variar no intervalo todo entre "0" e "255". Tal fato faz com que o erro devido ao produto do sinal predito pelo erro de quantização seja muito menor no caso do MCPQ-M do que no MCPQ como foi equacionado no Cap.II.

e) Com relação ao desempenho dos quantizadores pode ser observado que as leis LEI3, LEI5 e LEI8 apresentam um melhor comportamento no que se refere ao aumento da relação sinal/ruído e diminuição da entropia do sinal quantizado. Este trabalho foi realizado com quantizadores não adaptativos e não houve um procedimento de otimização dos limiares. Mesmo assim, pôde-se constatar a viabilidade do sistema.

IV.3 - CONCLUSÕES

Dessa forma realizou-se um estudo do comportamento do sistema proposto MCPQ / MCPQ-M com o fim de se utilizar o mesmo para codificação digital de um sinal de televisão PAL-M.

Os resultados obtidos mostram a viabilidade do sistema uma vez que os parâmetros objetivos encontrados permitem afirmar

que o sinal recuperado é de boa qualidade conforme foi confirmado pelos testes subjetivos feitos através da visualização em um monitor de vídeo de um sistema de tratamento de imagens (SITIMD).

O objetivo do presente estudo foi assim o de explorar uma alternativa de modificação do esquema MCPD convencional no que se refere às operações realizadas dentro da malha de realimentação. Por se tratar de uma novidade, não se deu muita ênfase aos aspectos práticos de implementação, mas os esforços foram dirigidos no sentido de se colher resultados que mostrassem pelo menos a viabilidade teórica do esquema proposto. No entanto, cabe ressaltar que mesmo o aspecto físico de implementação pode ser perfeitamente superado, uma vez que atualmente estão disponíveis no mercado, memórias PROM e "Arrays" tipo PAL/PLA com potencial para ser utilizado dentro da configuração proposta. O conjunto todo envolvendo o bloco de divisão e o quantizador pode ser implementado usando-se memórias PROM, assim a operação inversa de multiplicação também pode ser realizada com PROM's.

Os resultados conseguidos são bastante animadores e a idéia lançada, abre novas possibilidades que já estão sendo explorados e estudados em trabalho paralelo a este. Naturalmente, a aplicação imediata do trabalho apresentado, é ser parte de um esquema completo, ou seja, um equipamento para codificação digital de sinais de televisão. É interessante notar que o sinal fonte de entrada está na forma composta, apropriada e compatível com a maioria dos equipamentos utilizados em estúdios, estações de radiodifusão, retransmissoras e centros de distribuição de sinais de TV. No entanto, cabe lembrar que a forma de componentes vem ocupando seu próprio espaço nesses mesmos ambientes. Assim, é

válido supor que por exemplo as formas composta e de componentes deverão conviver juntas física e temporalmente, assim como se dá com os sinais analógicos e digitais.

Uma outra tendência atual é a utilização do sistema em cores NTSC dentro dos estúdios para geração de sinais e edição de programas. Neste caso, já real, torna-se interessante que os equipamentos de transmissão dos sinais possibilitem o tráfego do sinal NTSC além do PAL-M a fim de se evitar a degeneração dos mesmos que seria provocada pelas sucessivas transcodificações visando a compatibilização dos sinais. Dessa forma, o presente estudo está sendo extendido também para sinais NTSC.

Finalmente deve-se dizer que o presente estudo não deu prioridade a um estudo exaustivo, uma vez que muitos outros casos e situações podem ser simulados, porém os casos representativos foram analisados e os resultados obtidos mostraram de forma pioneira a viabilidade do esquema proposto.

A P É N D I C E A

NÍVEIS DE QUANTIZAÇÃO

BQT(1) =	.0300	NQQ= 2550	BQT(1) =	.0300	NQQ= 2550
BQT(2) =	.1700	NQQ= 268	BQT(2) =	.1700	NQQ= 1132
BQT(3) =	.3900	NQQ= 553	BQT(3) =	.3900	NQQ= 573
BQT(4) =	.5500	NQQ= 710	BQT(4) =	.5500	NQQ= 1401
BQT(5) =	.6600	NQQ= 513	BQT(5) =	.6600	NQQ= 903
BQT(6) =	.7420	NQQ= 372	BQT(6) =	.7420	NQQ= 696
BQT(7) =	.7790	NQQ= 309	BQT(7) =	.7790	NQQ= 346
BQT(8) =	.8070	NQQ= 1685	BQT(8) =	.8070	NQQ= 3352
BQT(9) =	.8300	NQQ= 577	BQT(9) =	.8300	NQQ= 741
BQT(10) =	.8465	NQQ= 311	BQT(10) =	.8465	NQQ= 351
BQT(11) =	.8600	NQQ= 457	BQT(11) =	.8600	NQQ= 503
BQT(12) =	.8745	NQQ= 639	BQT(12) =	.8745	NQQ= 732
BQT(13) =	.8955	NQQ= 1855	BQT(13) =	.8955	NQQ= 1547
BQT(14) =	.9155	NQQ= 1671	BQT(14) =	.9155	NQQ= 1207
BQT(15) =	.9270	NQQ= 1677	BQT(15) =	.9270	NQQ= 1233
BQT(16) =	.9365	NQQ= 1981	BQT(16) =	.9365	NQQ= 1516
BQT(17) =	.9450	NQQ= 2693	BQT(17) =	.9450	NQQ= 2132
BQT(18) =	.9525	NQQ= 2953	BQT(18) =	.9525	NQQ= 2699
BQT(19) =	.9595	NQQ= 4493	BQT(19) =	.9595	NQQ= 4563
BQT(20) =	.9655	NQQ= 3341	BQT(20) =	.9655	NQQ= 3976
BQT(21) =	.9705	NQQ= 4855	BQT(21) =	.9705	NQQ= 5057
BQT(22) =	.9745	NQQ= 2970	BQT(22) =	.9745	NQQ= 3300
BQT(23) =	.9770	NQQ= 4711	BQT(23) =	.9770	NQQ= 4914
BQT(24) =	.9790	NQQ= 12374	BQT(24) =	.9790	NQQ= 12534
BQT(25) =	.9808	NQQ= 8349	BQT(25) =	.9808	NQQ= 8416
BQT(26) =	.9823	NQQ= 7577	BQT(26) =	.9823	NQQ= 7533
BQT(27) =	.9835	NQQ= 3073	BQT(27) =	.9835	NQQ= 3146
BQT(28) =	.9845	NQQ= 3086	BQT(28) =	.9845	NQQ= 3333
BQT(29) =	.9855	NQQ= 3647	BQT(29) =	.9855	NQQ= 3977
BQT(30) =	.9867	NQQ= 4284	BQT(30) =	.9867	NQQ= 4260
BQT(31) =	.9879	NQQ= 4235	BQT(31) =	.9879	NQQ= 4008
BQT(32) =	.9892	NQQ= 7196	BQT(32) =	.9892	NQQ= 6889
BQT(33) =	.9910	NQQ= 11450	BQT(33) =	.9910	NQQ= 11393
BQT(34) =	1.0000	NQQ= 137931	BQT(34) =	1.0000	NQQ= 127062
BQT(35) =	1.0080	NQQ= 6745	BQT(35) =	1.0080	NQQ= 6730
BQT(36) =	1.0095	NQQ= 3861	BQT(36) =	1.0095	NQQ= 3947
BQT(37) =	1.0105	NQQ= 3075	BQT(37) =	1.0105	NQQ= 3128
BQT(38) =	1.0115	NQQ= 2284	BQT(38) =	1.0115	NQQ= 2380
BQT(39) =	1.0125	NQQ= 2266	BQT(39) =	1.0125	NQQ= 2323
BQT(40) =	1.0135	NQQ= 1963	BQT(40) =	1.0135	NQQ= 1979
BQT(41) =	1.0150	NQQ= 4170	BQT(41) =	1.0150	NQQ= 4237
BQT(42) =	1.0170	NQQ= 3418	BQT(42) =	1.0170	NQQ= 3994
BQT(43) =	1.0190	NQQ= 4191	BQT(43) =	1.0190	NQQ= 5415
BQT(44) =	1.0210	NQQ= 3564	BQT(44) =	1.0210	NQQ= 4586
BQT(45) =	1.0230	NQQ= 2771	BQT(45) =	1.0230	NQQ= 3711
BQT(46) =	1.0250	NQQ= 1720	BQT(46) =	1.0250	NQQ= 1865
BQT(47) =	1.0270	NQQ= 1250	BQT(47) =	1.0270	NQQ= 1567
BQT(48) =	1.0290	NQQ= 1317	BQT(48) =	1.0290	NQQ= 1586
BQT(49) =	1.0315	NQQ= 2632	BQT(49) =	1.0315	NQQ= 1891
BQT(50) =	1.0345	NQQ= 1871	BQT(50) =	1.0345	NQQ= 1743
BQT(51) =	1.0380	NQQ= 1963	BQT(51) =	1.0380	NQQ= 2384
BQT(52) =	1.0425	NQQ= 1735	BQT(52) =	1.0425	NQQ= 1916
BQT(53) =	1.0475	NQQ= 1538	BQT(53) =	1.0475	NQQ= 1739
BQT(54) =	1.0535	NQQ= 1575	BQT(54) =	1.0535	NQQ= 1602
BQT(55) =	1.0595	NQQ= 880	BQT(55) =	1.0595	NQQ= 958
BQT(56) =	1.0670	NQQ= 1308	BQT(56) =	1.0670	NQQ= 1398
BQT(57) =	1.0785	NQQ= 1325	BQT(57) =	1.0785	NQQ= 1314
BQT(58) =	1.0925	NQQ= 1014	BQT(58) =	1.0925	NQQ= 1069
BQT(59) =	1.1100	NQQ= 879	BQT(59) =	1.1100	NQQ= 990
BQT(60) =	1.1350	NQQ= 820	BQT(60) =	1.1350	NQQ= 893
BQT(61) =	1.1750	NQQ= 737	BQT(61) =	1.1750	NQQ= 1131
BQT(62) =	1.2400	NQQ= 1979	BQT(62) =	1.2400	NQQ= 2650
BQT(63) =	1.3300	NQQ= 513	BQT(63) =	1.3300	NQQ= 600
BQT(64) =	1.4500	NQQ= 249	BQT(64) =	1.4500	NQQ= 814
BQT(65) =	1.6100	NQQ= 496	BQT(65) =	1.6100	NQQ= 738
BQT(66) =	1.8500	NQQ= 1145	BQT(66) =	1.8500	NQQ= 1674

Tab. A.1 - Níveis de quantização e Frequências de ocorrência do sinal quociente quantizado para 66 níveis da fig II.11

Tab. A.3 – Frequência de ocorrência por região

SMpte4: p48: 52 níveis

SMpte4; P55; 52 níveis

Tab. A.4 – Frequência de ocorrência por região

Tab. A.2. - Níveis de quantização e frequências de ocorrência do sinal quantizado para 52 níveis p(SEMTE 4). Preditores: 14 e 57.

the first time, and I am sure it will be the last. I have been to the same place twice before, and I have never seen such a sight as I did there. The country is very flat, and the land is covered with tall grass and weeds. There are many trees and bushes scattered here and there, and the sky is overcast with clouds. The air is very still, and the sound of the wind is almost silent. The sun is low in the sky, and the light is dim. The water is dark and still, reflecting the surrounding landscape. The overall atmosphere is one of quietness and tranquility.

A PÊNDICE B

PROGRAMAS PARA SIMULAÇÕES

```

IMPLICIT REAL*8,INT8*4
INTEGER NAQ,NAQP,NQ,NXQ
DIMENSION NAQ(630,4),NAQP(630,4),AQ(630,4),AQJ(630,4),
1 NXQ(630,4),NVQ(39640),NK(512),BNT(39640),
2 AP1(12),AP2(12),AP3(12),APO(12),BP1(12),ITF(608),
3 BP2(12),BP3(12),BP0(12),CP1(12),CP2(12),CP3(12),CP0(12),
4 QE(128),QD(128),IT(630,4),ITL(608),VQA(39640),VQQ(512),
5 NC1(9910),NC2(9910),NC3(9910),NC4(9910),BN1(9910),BN2(9910),
6 BN3(9910),BN4(9910),BQ1(256),BQ2(256),BQ3(256),PQ4(256),
7 NC1(256),NQ2(256),NQ3(256),NQ4(256),NQD(512),BQT(512)
***** DADOS DE ENTRADA *****
PRINT*, *DAR:NLQ,NRE,NX,NW,IZN,NY,n,m,k:(FORM :I3,4I2,4I1)*
READ(*,2)NLQ,NRE,NX,NW,IZN,NY,NBIT,MBIT,KBIT
FORMAT(I3,4I2,4I1)

C
C NLQ= NUMERO DE LINHAS NO PROCESSO
C NW= ESCRITA DE PARAMETROS PARA AVALICAO
C NRE= ARQUIVO DE ENTRADA (SAIDA RGBM )
C NX= ANALISE DE RUIDO (NIVEL CONSIDERADO)
C IZN= LEI DE PREDICAO (XX)
C NSE=ESCRITA DE SINAL RECUPERADO(O NAO ESCRIBE, MAIOR QUE 0
C ESCRIBE)
C NSE=1
C NWE=SAIDA DO SINAL RECOMPOSTA (TAPEXX, COM XX=NWE)
C NWE=120
C PARAMETROS DO QUANTIZADOR
C NY=NRO. DA LEI DE QUANTIZACAO(1 A 9)
C NBITS,MBITS ,KBITS=n,m,k, DO CODIGO ASSOCIADO AO QUANTIZADOR
C
C RELACOES INICIAIS
C CALCULO DE IZ0,IZ1,IZ2,IZ3
CALL PREV8(IZN,IZ0,IZ1,IZ2,IZ3)
F1=8.
F2=3.
LE=90
FSC=3.57561149
VM=63.
NBC=19
PI=3.141592654
WSC=2.*PI*FSC
FA=(F1/F2)*FSC
TH=(909./(4.*FSC))
TA=1./FA
RAD8L=WSC*263.*TH
MRAD8L=IFIX(RAD8L/(2.*PI))
TRAD8L=RAD8L-(FLOAT(MRAD8L))/2.*PI
NIL=1
NI=8
NAU=617
NAUL=630
FL=FLOAT(NLQ-2)/2.
FNA=FLOAT(NAU-NI+1)
FN=FL*FNA
SFN=SQRT(FN)
FNLA=(FN-1)/FNA
SFNA=SQRT(FN-1.)
FN2=2.*FN
FNA2=2.*FNA

```

```

FLZ=6.*FL
SFNA2=SQRT(FN2-1.)
PASSO=1214./255.
C     PARAMETROS PARA O QUANTIZADOR
NNQ=2**NBIT-1
NMQ=2***(MBIT-NBIT)-1
NKQ=2***(KBIT-MBIT)-1

C     ESCOLHA DA RELACAO SINAL RUIDO DE REFERENCIA
C     CALL RSNS(NX,SREF)

C     CONDICOES INICIAIS

RQA=0.
ZQXA=0.
RQXA=0.
RQXAF=0.
SAHA=0.
C1A=0.
C2A=0.
C12A=0.
HQ=0.

DO 4 LAX=1,256
NQ1(LAX)=0
NQ2(LAX)=0
NQ3(LAX)=0
NQ4(LAX)=0
BQ1(LAX)=0.
BQ2(LAX)=0.
BQ3(LAX)=0.
BQ4(LAX)=0.
CONTINUE
4      DO 5 LX=1,9910
NC1(LX)=0
NC2(LX)=0
NC3(LX)=0
NC4(LX)=0.
BN1(LX)=0.
BN2(LX)=0.
BN3(LX)=0.
BN4(LX)=0.
5      CONTINUE
DO 6 LIX=1,39640
NVQ(LIX)=0
BNT(LIX)=0.
6      CONTINUE
DO 7 LEX=1,512
VUQ(LEX)=0.
NQQ(LEX)=0.
BQT(LEX)=0.
7      CONTINUE
IX=0
K1=0
K2=0
K3=0
K4=0
KQ1=0

```

```
KQ4=0  
KQT=0  
IP=0  
KT=0  
PKD=0.  
PMD=0.  
PND=0.  
PKQ=0.  
PMQ=0.  
PNQ=0.
```

```
C      RESET DOS VALORES INICIAIS
```

```
I=0  
J=0  
J1=0  
M0=1
```

```
C      VALORES INICIAIS PARA A ENTRADA DO PREDITOR
```

```
DO 10 KI=1,4  
DO 9 KL=1,630  
NAQP(KL,KI)=IFIX(VM)  
NXQ(KL,KI)=IFIX(VM)
```

```
9  CONTINUE  
10 CONTINUE
```

```
C      DETERMINACAO DOS COEFICIENTES DO PREDITOR
```

```
CALL COEFS(IZ0,IZ1,IZ2,IZ3,APO,AP1,AP2,AP3,BPD,BP1,  
6 BP2,BP3,CP0,CP1,CP2,CP3)
```

```
C      LIMIARES DA LEI DE QUANTIZACAO
```

```
CALL LEI(NY,QE,QD)
```

```
C      LEITURA DAS 4 PRIMEIRAS LINHAS DA IMAGEM IT(I,J)
```

```
DO 13 JR=1,4  
INICIO=1  
ULTIMO=32  
DO 12 KR=1,NBC
```

```
READ(INRE,11)(IT(ID,LR),ID=INICIO,ULTIMO)
```

```
11  FORMAT(32I4)
```

```
INICIO=ULTIMO+1
```

```
ULTIMO=ULTIMO+32
```

```
12  CONTINUE
```

```
13  CONTINUE
```

```
DO 15 LR1=1,4
```

```
DO 14 LR2=1,608
```

```
NAQ(LR2+NI,LR1)=IT(LR2,LR1)
```

```
14  CONTINUE
```

```
15  CONTINUE
```

```
JL=4
```

```
16  J1=J1+1
```

```
IX=IX+1
```

```
C      ***** SISTEMA MCPO *****
```

```

C ***** OBTENCAO DO SINAL QUOCENTE MCPQ-M *****
C
C NAQP(I1,J1)=IFIX(FLOAT(NAQ(I1,J1)+NAQP(I1,J1))/2.+0.5)
C
C AQ(I1,J1)=FLOAT(NAQ(I1,J1))/FLOAT(NAQP(I1,J1))
C AQL=AQ(I1,J1)
C
C ***** SUBROUTINA DO QUANTIZADOR DO QUOCENTE *****
C
C CALL QQUAN(AQL,AQLQ,QE,OD)
C AQQ(I1,J1)=AQLQ
C
C ***** OBTENCAO DO VALOR DE ENTRADA DO PREDITOR *****
C NXQ(I1,J1)=IFIX(AQQ(I1,J1)*FLOAT(NAQP(I1,J1))+.5)
C
C ***** SUBROTINA DO PREDITOR *****
C I1L=I1
C J1L=J1
C CALL PRBE(I1L,J1L,NXQ,AP0,AP1,AP2,AP3,BP0,BP1,BP2,
C BP3,CPO,CP1,CP2,CP3,NAQP,MO,TA,WSC,JL,TH,PI,TRADSL)
C IVP=NAQP(I1+1,J1)
C
C ***** SUBROTINA DO LIMITADOR *****
C
C CALL KEP(IPV,IVPL)
C
C NAQP(I1+1,J1)=IPV
C 20 CONTINUE
C
C ***** ESCRITA DO SINAL RECOMPOSTA*****
C IF(NSE126,26,22
C 22 DO 23 LW1=NI+1,NI+608
C ITL(LW1-NI)=NXQ(LW1,J1)
C 23 CONTINUE
C COMECO=1
C FIM=32
C DO 25 JW=1,NBC
C WRITE(NWE,24)(ITL(KLX),KLX=COMECO,FIM)
C 24 FORMAT(32I4)
C COMECO=FIM+1
C FIM=FIM+32
C 25 CONTINUE
C 26 IF(J1-4)16,27,27
C
C *****OBTENCAO DE PARAMETROS PARA DUAS LINHAS*****
C 27 Q=0.
C ZQX=0.
C ROX=0.
C RQXF=0.
C SAM=0.
C DO 30 J1=3,4
C DO 29 I1=NI,NAU
C
C *** NUMERO DE VEZES DO SINAL QUOCENTE ***
C CALL CONT(AQ,BN1,BN2,BN3,BN4,NC1,NC2,NC3,NC4,K1,
C 2 K2,K3,K4,I1,J1)
C

```

```

2 KQ2,KQ3+KQ4,II+J1)
C
C **** RELACOES PARA O CALCULO DO ERPO QUADRATICO RUX
VLU=(FLOAT(NAQ(I1,J1))-127.5)*PASSO+307.
VXQ=(FLOAT(NXQ(I1,J1))-127.5)*PASSO+307.
VPQ=(FLOAT(NAQP(I1,J1))-127.5)*PASSO+307.
ZLQ=FLOAT(NAQ(I1,J1))
ZXQ=FLOAT(NXQ(I1,J1))
ZQX=(ZLQ-ZXQ)**2.+ZQX
RQX=(VLU-VXQ)**2.+RQX
SAM=VLU**2.+SAM
29 CONTINUE
30 CONTINUE
C
C **** CALCULO DAS DIVERSAS RELACOES NAS LINHAS
RQA=(RQ/FNA2)+RQA
ZQXA=(ZQX/FNA2)+ZQXA
RQXA=(RQX/FNA2)+RQXA
SAMA=(SAM/FNA2)+SAMA
IF(JL-LE)35,32,35
32 WRITE(44,31)LE,NX,IZN,NLQ,NBIT,MBIT,KBIT,NY
31 FORMAT(1,2X,'NRO_LINHA ESCRITA=',I3,6X,'IMAGEN=',I2,
1 1,2X,'PREDITOR=',I2,6X,'NRO LINHAS PROCESSADAS=',I7,
2 1,2X,'N=',I1,2X,'M=',I1,2X,'K=',I1,5X,'LEI=',I2,// :)
      WRITE(44,34)(NAQ(I6,3),AQ(I6,3),AQ(16,3),
7 NXQ(I6,3),NAQP(I6,3),I6=NI,NAU)
34 FORMAT(4X,'X=',I3,4X,'Q=',F10.6,4X,'QQ=',F10.6,4X,'Xr=',I3,
8 4X,'Xp=',I3)
35 IF(JL-NLQ)36,44,44
C
C **** ANALISE DO TOTAL DAS LINHAS*****
36 J1=2
JL=JL+2
DO 38 J3=1,2
J4=J3+2
DO 37 I3=NIL,NAUL
NAQ(I3,J3)=NAQ(I3,J4)
NAQP(I3,J3)=NAQP(I3,J4)
AQ(I3,J3)=AQ(I3,J4)
AQ(13,J3)=AQ(13,J4)
NXQ(I3,J3)=NXQ(I3,J4)
37 CONTINUE
38 CONTINUE
C
C **** LEITURA DE MAIS 2 LINHAS DA IMAGEM IT(I,J)
DO 41 JR=3,4
INICIO=1
ULTIMO=32
DO 40 KR=1,NBC
READ(NRE,39)(IT(IR,JR),IR=INICIO,ULTIMO)
39 FORMAT(32I4)
INICIO=ULTIMO+1
ULTIMO=ULTIMO+32
40 CONTINUE
41 CONTINUE
DO 43 LR3=3,4
DO 42 LR4=1,608
NAQ(LR4+NI,LR3)=IT(LR4,LR3)

```

GO TO 16

C **** CALCULO DA ENTROPIA QUANTIZADA
44 CALL ENTR0Q(NQ1,NQ2,NQ3,NQ4,BQ1,BQ2,BQ3,BQ4,BQT,
1 KQ1,KQ2,KQ3,KQ4,KQT,NQQ,FN2,HQ)
DO 45 LKM=1,KQ3
45 CONTINUE
DO 46 LNM=1,KQT
NTEQ=NTEQ+NQQ(LNM)
46 CONTINUE
IF(KQ2-KQ3)47,47,48
47 NTLQ=KQ3
GO TO 49
48 NTLQ=KQ2

C CALCULO DA RELACAO SINAL/RUIDO BASEADO NO
C ERRO QUADRATICO MEDIO

49 ZQXM=ZQXA/FL
RQXM=RQXA/FL
SAMM=SAMA/FL
53 IF(RQXM)55,56,54
54 SNQX700=10.* ALOG10((700**2)/RQXM)
SNQX180=10.* ALOG10((180**2)/ZQXM)
SNQX=10.* ALOG10(SAMM/RQXM)
GO TO 57
55 SNQX=-1000.
GO TO 57
56 SNQX=1000.

C CALCULO DAS DISTRIBUICOES ACUMULADAS POR REGIAC
C
57 DO 58 LQ7=1,KT
VQA(LQ7)=NVQ(LQ7)/FN2
58 CONTINUE
DO 59 LQ8=1,KQT
VQC(LQ8)=NQQ(LQ8)/FN2
59 CONTINUE
NUQ=KQ4+KQ3
IF(NBIT)60,60,61
60 IF(MBIT)63,63,62
61 LS2=(NNQ/2.)+1
ALE2=QE(LS2)
ALD2=QD(LS2)
LS1=LS2+(NMQ/2.)
ALE1=QE(LS1)
ALD1=QD(LS1)
GO TO 64
62 LS=(NMQ/2.)+1
ALE1=QE(LS)
ALD1=QD(LS)
GO TO 64
63 ALD1=QD(1)
ALE1=QE(1)
64 PRINT*, 'ALE1=',ALE1,' ALE2=',ALE2,' ALD1=',ALD1,' ALD2=',ALD2
DO 67 IE1=1,NUQ
IF(BQT(IE1)-ALE1)67,65,65
65 NKE1=IE1-1

```
66  CONTINUE
67  GO TO 68
68  CONTINUE
69  DO 71 ID1=NUQ,KQT
70  IF(BQT(ID1)-ALD1)71,69,69
71  NKD1=ID1
72  DO 70 ICD1=NKD1,KQT
73  VD1=VD1+VQQ(ICD1)
74  CONTINUE
75  GO TO 72
76  CONTINUE
77  PKQ=VE1+VD1
78  IF(MBIT-1)87,86,73
79  DO 76 IE2=NKE1+1,NUQ
80  IF(BQT(IE2)-ALE2)76,74,74
81  NME2=IE2-1
82  DO 75 ICE2=NKE1+1,NME2
83  VE2=VE2+VQQ(ICE2)
84  CONTINUE
85  GO TO 77
86  CONTINUE
87  DO 80 ID2=NUQ,NKD1
88  IF(BQT(ID2)-ALD2)80,78,78
89  NMD2=ID2
90  DO 89 ICD2=NMD2,NKD1-1
91  VD2=VD2+VQQ(ICD2)
92  CONTINUE
93  GO TO 81
94  CONTINUE
95  PMQ=VE2+VD2
96  IF (NBIT)84,84,82
97  DO 83 INT=NME2+1,NMD2-1
98  PNQ=PNQ+VQQ(INT)
99  CONTINUE
100  GO TO 88
101  DO 85 ITM=NKE1+1,NKD1-1
102  PMT=PMT+VQQ(ITM)
103  PMQ=PMT
104  CONTINUE
105  GO TO 88
106  PMQ=VQQ(NUQ)
107  GO TO 88
108  PKQ= PKQ+VQQ(NUQ)

C      CALCULO DA TAXA MEDIA REAL DE BITS
C
109  RMQ=(PNQ)*NBIT+(PMQ)*MBIT+(PKQ)*KBIT
110  PQQ=PNQ+PMQ+PKQ

C      CALCULO DO VALOR DIFERENCIAL DE PICO
C
111  S=HVQ(NUM)
C
C      CALCULO DA TAXA DE BITS "Q"
C
112  Q=HQ*FA
C
C      NUMERO DE VEZES DE OCORENCIA DO UM
```

```

NVQQ=NQ3(1)
WRITE(NW,84)
FORMAT(////////,6X,'SNQX',6X,'SNQX700',4X,'SNQX180',5X,'SREF',
1 8X,'HQ',7X,'Q')
WRITE(NW,92)SNQX,SNQX700,SNQX180,SREF,HQ,Q
FORMAT(2X,6(2X,F8.3))
WRITE(NW,93)
FORMAT(/,9X,'PKQ',10X,'PMQ',10X,'PNQ',10X,'RMQ')
WRITE(NW,94)PKQ,PMQ,PNQ,RMQ
FORMAT(2X,4(3X,F10.5))
WRITE(NW,100)
FORMAT(/,6X,'IZ0',3X,'IZ1',3X,'IZ2',3X,'IZ3',
5 6X,'NQQ(1)',2X,'NY',3X,'NBIT',3X,'MBIT',3X,'KBIT')
WRITE(NW,101)IZ0,IZ1,IZ2,IZ3,NVQQ,NY,NBIT,MBIT,KBIT
FORMAT(5X,4(I4,2X),1X,I7,3X,4(I1,6X))
WRITE(NW,102)
FORMAT(/,6X,'NLQ',2X,'IMAGEN',2X,'PREDITOR',6X,'KQ1',6X,
2 'KQ2',6X,'KQ3',6X,'KQ4',6X,'KQT')
WRITE(NW,103)NLQ,NX,IZN,KQ1,KQ2,KQ3,KQ4,KQT
FORMAT(5X,I3,2(6X,I2),2X,4(7X,I2),6X,I3,/)
DO 499 KLM=1,KQT
WRITE(NW,500)KLM,BQT(KLM),NQQ(KLM)
500 FORMAT(2X,'BQT(',I3,')=',F8.4,6X,'NQQ=',I6)
499 CONTINUE
STOP
END

```

SUBROUTINE PREVB(IZN,IZ0,IZ1,IZ2,IZ3)	8048 IZ0=8011
LOGICAL PZN	IZ1=8110
DIMENSION PZN(99)	IZ2=8212
DO 8000 NZP=1,99	IZ3=8310
PZN(NZP)=.FALSE.	GO TO 8100
8000 CONTINUE	8049 GO TO 8100
PZN(IZN)=.TRUE.	8050 GO TO 8100
IF(IZN=14)8001,8001,8002	8051 GO TO 8100
8001 IZ0=8000+IZN	8052 GO TO 8100
IZ1=8100+IZN	8053 GO TO 8100
IZ2=8200+IZN	8054 GO TO 8100
IZ3=8300+IZN	8055 IZ0=8010
GO TO 8100	IZ1=8110
8002 IF(IZN=47)8100,8100,8003	IZ2=8212
8003 IF(PZN(48))GO TO 8048	IZ3=8310
IF(PZN(49))GO TO 8049	GO TO 8100
IF(PZN(50))GO TO 8050	8056 IZ0=8010
IF(PZN(51))GO TO 8051	IZ1=8102
IF(PZN(52))GO TO 8052	IZ2=8212
IF(PZN(53))GO TO 8053	IZ3=8311
IF(PZN(54))GO TO 8054	GO TO 8100
IF(PZN(55))GO TO 8055	8057 IZ0=8010
IF(PZN(56))GO TO 8056	IZ1=8102
IF(PZN(57))GO TO 8057	IZ2=8213
IF(PZN(58))GO TO 8058	IZ3=8310
IF(PZN(59))GO TO 8059	GO TO 8100
IF(PZN(60))GO TO 8060	8058 GO TO 8100
GO TO 8100	8059 GO TO 8100
	8060 GO TO 8100
	8100 RETURN
	STOP
	END

```

SUBROUTINE PR8E(I1L,J1L,NXQ,AP0,AP1,AP2,AP3,BP0,BP1,BP2,
  BP3,CPO,CP1,CP2,CP3,NAQP,MO,TA,WSC,JL,TH,P1,TRAD=L)
DIMENSION AP0(12),AP1(12),AP2(12),AP3(12),BP0(12),BP1(12),
  BP2(12),BP3(12),CPO(12),CP1(12),CP2(12),CP3(12),
  NXQ(630,4),NAQP(630,4)
AUX=0.
JL2=(JL/2)+1
IF(J1L-3)2002,2003,2004
2002 AUX=FLOAT(NXQ(I1L-7,J1L))
GO TO 2016
2003 DELT8=0.
GO TO 2005
2004 DELT8=TRAD8L
2005 TIAB=(FLOAT(JL2)-2.)*TH+(FLOAT(I1L))*TA
RAD8=WSC*TIAB
MRADE=IFIX(RAD8/(2.*PI))
TRAD8=RAD8-(FLOAT(MRAD8))*2.*PI+DELT8
MFS=IFIX(10.*SIN(TRAD8))
MFC=IFIX(10.*COS(TRAD8))
IF(MFS)2006,2012,2006
2006 IF(MFC)2007,2008,2007
2007 IF(MFS*MFC)2010,2010,2014
2008 DO 2009 LC0=1,12
  AUX=AUX+AP0(LC0)*FLOAT(NXQ(I1L-LC0+1,J1L))
  AUX=AUX+BP0(LC0)*FLOAT(NXQ(6-LC0+I1L,J1L-2))
2009 CONTINUE
GO TO 2016
2010 DO 2011 LC1=1,12
  AUX=AUX+AP1(LC1)*FLOAT(NXQ(I1L-LC1+2,J1L))
  AUX=AUX+BP1(LC1)*FLOAT(NXQ(7-LC1+I1L,J1L-2))
2011 CONTINUE
GO TO 2016
2012 DO 2013 LC2=1,12
  AUX=AUX+AP2(LC2)*FLOAT(NXQ(I1L-LC2+3,J1L))
  AUX=AUX+BP2(LC2)*FLOAT(NXQ(8-LC2+I1L,J1L-2))
2013 CONTINUE
GO TO 2016
2014 DO 2015 LC3=1,12
  AUX=AUX+AP3(LC3)*FLOAT(NXQ(I1L-LC3+4,J1L))
  AUX=AUX+BP3(LC3)*FLOAT(NXQ(9-LC3+I1L,J1L-2))
2015 CONTINUE
2016 NAQP(I1L+1,J1L)=IFIX(AUX+0.5)
RETURN
STOP
END

```

```

SUBROUTINE KEP(IPV,IVPL)
NB=8
IF(IPV)303,303,301
301 IF(IPV-((2**NB)-1))302,302,304
302 IVPL=IPV
GO TO 305
303 IVPL=1
GO TO 305
304 IVPL=(2**NB)-1
305 RETURN
STOP
END

```

```

SUBROUTINE CONT(AQ,BN1,BN2,BN3,BN4,NC1,NC2,NC3,NC4,K1,
1 K2,K3,K4,I1,J1)
DIMENSION AQ(630,4),BN1(9910),BN2(9910),BN3(9910),BN4(9910),
2 NC1(9910),NC2(9910),NC3(9910),NC4(9910)
IF(AQ(I1,J1)-2.)106,106,105
105 CALL CONT1(AQ,BN1,NC1,K1,I1,J1)
GO TO 111
106 IF(AQ(I1,J1)-1.)108,108,107
107 CALL CONT2(AQ,BN2,NC2,K2,I1,J1)
GO TO 111
108 IF(AQ(I1,J1)-.5)110,110,109
109 CALL CONT3(AQ,BN3,NC3,K3,I1,J1)
GO TO 111
110 CALL CONT4(AQ,BN4,NC4,K4,I1,J1)
111 RETURN
STOP
END

```

```

SUBROUTINE CONTQ(AQQ,BQ1,BQ2,BQ3,BQ4,NQ1,NQ2,NQ3,NQ4,KQ1,
1 KQ2,KQ3,KQ4,I1,J1)
DIMENSION AQQ(630,4),BQ1(256),BQ2(256),BQ3(256),BQ4(256),
2 NQ1(256),NQ2(256),NQ3(256),NQ4(256)
IF(AQQ(I1,J1)-2.)106,106,105
105 CALL CONQ1(AQQ,BQ1,NQ1,KQ1,I1,J1)
GO TO 111
106 IF(AQQ(I1,J1)-1.)108,108,107
107 CALL CONQ2(AQQ,BQ2,NQ2,KQ2,I1,J1)
GO TO 111
108 IF(AQQ(I1,J1)-.5)110,110,109
109 CALL CONQ3(AQQ,BQ3,NQ3,KQ3,I1,J1)
GO TO 111
110 CALL CONQ4(AQQ,BQ4,NQ4,KQ4,I1,J1)
111 RETURN
STOP
END

```

```

SUBROUTINE CONQ(AQQ,BQT,NQT,KQT,I1,J1)
DIMENSION AQQ(630,4),BQT(256),NQT(256)
A1=0
KQT=KQT+1
BQT(KQT)=AQQ(I1,J1)
IF(KQT-1)15,15,10
10 DO 13 III=1,KQT-1
IF(BQT(KQT)-BQT(III))13,12,11
11 A1=BQT(KQT)
BQT(KQT)=BQT(III)
BQT(III)=A1
N1=NQT(KQT)
NQT(KQT)=NQT(III)
NQT(III)=N1
13 CONTINUE
GO TO 15
12 NQT(III)=NQT(III)+1 20
KQT=KQT-1
15 RETURN
STOP
END

```

```

      DIMENSION NQ0(512),NQ1(256),NQ2(256),NQ3(256),NQ4(256),
2   BQ1(256),BQ2(256),BQ3(256),BQ4(256),BQ1(512)
      DO 50 II6=1,KQ4
      IT6=NQ4+1-II6
      NQ4(IT6)=NQ4(IT6)+1
      IP=II6
      NQQ(IP)=NQ4(IT6)
      BQT(IP)=BQ4(IT6)
50    CONTINUE
      DO 51 II7=1,KQ3
      IT7=L3+1-II7
      NQB(IT7)=NQB(IT7)+1
      IP=K4+II7
      NQ2(IP)=NQB(IT7)
      BQT(IP)=BQB(IT7)
51    CONTINUE
      DO 52 II8=1,KQ2
      IT8=KQ2+1-II8
      NQ2(IT8)=NQ2(IT8)+1
      IP=KQ4+KQ3+II8
      NQQ(IP)=NQ2(IT8)
      BQT(IP)=BQ2(IT8)
52    CONTINUE
      DO 53 II9=1,KQ1
      IT9=KQ1+1-II9
      NQ1(IT9)=NQ1(IT9)+1
      IP=K24+KQ3+KQ2+II9
      NQ2(IP)=NQ1(IT9)
      BQT(IP)=BQ1(IT9)
53    CONTINUE
      KQT=KQ1+KQ2+KQ3+KQ4
      DO 55 L3=1,KQT
      VQ=FLOAT(NQQ(L3))
      IF (VQ)55,54,55
54    HQ=HQ
      GO TO 56
55    HQ=HQ+(VQ/FN2)*1.44269504* ALOG(FN2/VQ)
56    CONTINUE
      RETURN
      STOP
      END

      SUBROUTINE CONJ2(AQ2,BQ2,NQ2,KQ2,1,2)
      DIMENSION AQ2(636,4),BQ2(256),NQ2(111)
      A2=J.
      N2=0
      KQ1=KQ2+1
      BQ2(NQ2)=AQ2(11,J1)
      IF(K2-1)2,15,20
      DO 22 II2=1,KQ2-1
      IF(BQ2(KQ2)-BQ2(112))23,22,21
      A2=B2(KQ2)
      BQ2(KQ2)=B12(112)
      BQ2(112)=A2
      N2=NQ2(KQ2)
      NQ2(KQ2)=NQ2(112)
      NQ2(112)=N2
      NQ2(112)=N2
      CONTINUE
      GO TO 25
22    NQ2(112)=NQ2(112)+1
      KQ2=KQ2-1
25    RETURN
      STOP
      END

      SUBROUTINE QQUAN(AQL,AQLQ,QE,OD)
      DIMENSION QE(511),OD(511)
      NOE=1
      NQD=1
      IF(AQL-1.)800,.04,.04
      800  IF(AQL-QE(1))802,804,804
      NQE=NQE+1
      802  IF(AQL-QE(NQE))802,803,803
      AQLQ=(QE(NQE)+QE(NQE-1))/2.
      GO TO 810
      803  AQLQ=1.
      GO TO 810
      804  IF(AQL-QD(1))804,804,.05
      805  NQD=NQD+1
      806  IF(AQL-QD(NQD))807,807,.05
      AQLQ=(QD(NQD)+QD(NQD-1))/2.
      807  RETURN
      808  STOP
      809  END

```

```

      A4=0.
      K4=K4+1
      BN4(K4)=AQ(I1,J1)
      IF(K4-1)45,45,40
40    DO 43 II4=1,K4-1
      IF(BN4(K4)-BN4(II4))43,42,41
41    A4=BN4(K4)
      BN4(K4)=BN4(II4)
      BN4(II4)=A4
      N4=NC4(K4)
      NC4(K4)=NC4(II4)
      NC4(II4)=N4
43    CONTINUE
      GO TO 45
42    NC4(II4)=NC4(II4)+1
      K4=K4-1
45    RETURN          SUBROUTINE CONT3(AQ,BN3,NC3,K3,I1,J1)
      STOP            DIMENSION AQ(630,4),BN3(9910),NC3(9910)
      END             A3=0.
                      K3=K3+1
                      BN3(K3)=AQ(I1,J1)
                      IF(K3-1)35,35,30
30    DO 33 II3=1,K3-1
                      IF(BN3(K3)-BN3(II3))33,32,31
31    A3=BN3(K3)
      BN3(K3)=BN3(II3)
      BN3(II3)=A3
      N3=NC3(K3)
      NC3(K3)=NC3(II3)
      NC3(II3)=N3
33    CONTINUE
      GO TO 35
32    NC3(II3)=NC3(II3)+1
      K3=K3-1
35    RETURN
      STOP
      END          SUBROUTINE CONQ1(AQQ,BQ1,NQ1,KQ1,I1,J1)
      DIMENSION AQQ(630,4),BQ1(256),NQ1(256)
      A1=0.
      N1=0
      KQ1=KQ1+1
      BQ1(KQ1)=AQQ(I1,J1)
      IF(KQ1-1)15,15,10
10    DO 13 III=1,KQ1-1
      IF(BQ1(KQ1)-BQ1(III))13,12,11
11    A1=BQ1(KQ1)
      BQ1(KQ1)=BQ1(III)
      BQ1(III)=A1
      N1=NQ1(KQ1)
      NQ1(KQ1)=NQ1(III)
      NQ1(III)=N1
13    CONTINUE
      GO TO 15
12    NQ1(III)=NQ1(III)+1
      KQ1=KQ1-1,
15    RETURN
      STOP
      END

```

```

2 BN1(9910),BN2(9910),BN3(9910),BN4(9910),BN5(9910)
DO 50 II6=1,K1
NC1(II6)=NC1(II6)+1
1P=II6
NVQ(IP)=NC1(II6)
BNT(IP)=BN1(II6)
CONTINUE
DO 51 II7=1,K2
NC2(II7)=NC2(II7)+1
IP=K1+II7
NVQ(IP)=NC2(II7)
BNT(IP)=BN2(II7)
51 CONTINUE
DO 52 II8=1,K3
NC3(II8)=NC3(II8)+1
IP=K1+K2+II8
NVQ(IP)=NC3(II8)
BNT(IP)=BN3(II8)
52 CONTINUE
DO 53 II9=1,K4
NC4(II9)=NC4(II9)+1
IP=K1+K2+K3+II9
NVQ(IP)=NC4(II9)
BNT(IP)=BN4(II9)
53 CONTINUE
KT=K1+K2+K3+K4
DO 56 L3=1,KT
VD=FLOAT(NVQ(L3))
IF (VD) 55,54,55
54 HD=HD
GO TO 56
55 HD=HD+(VD/FN2)*1.44269504*ALDG(FN2/VD)
56 CONTINUE
RETURN
STOP
END

```

SUBROUTINE CONQ3(AQQ,BQ3,NQ3,KQ3,II,J1)

DIMENSION AQQ(630,4),BQ3(256),NQ3(256)

A3=0.

KQ3=KQ3+1

BQ3(I,Q3)=AQQ(II,J1)

IF (KQ3-1)35,35,30

DO 33 II3=1,KQ3-1

IF (BQ3(KQ3)-BQ3(II3))33,32,31

A3=BQ3(KQ3)

BQ3(KQ3)=BQ3(II3)

BQ3(II3)=A3

NA3=NQ3(KQ3)

NQ3(I,Q3)=NQ3(II3)

NQ3(II3)=NA3

CONTINUE

GO TO 35

NQ3(II3)=NQ3(II3)+1

KQ3=KQ3-1

RETURN

STOP

END

SUBROUTINE CONQ4(AQQ,BQ4,NQ4,KQ4,II,J1)

DIMENSION AQQ(630,4),BQ4(256),NQ4(256)

A4=0

KQ4=KQ4+1

BQ4(I,Q4)=AQQ(II,J1)

IF (KQ4-1)45,45,40

DO 40 II4=1,KQ4-1

IF (BQ4(KQ4)-BQ4(II4))43,42,41

41 A4=BQ4(KQ4)

BQ4(KQ4)=BQ4(II4)

BQ4(II4)=A4

NA4=NQ4(KQ4)

NQ4(I,Q4)=NQ4(II4)

NQ4(II4)=NA4

43 CONTINUE

GO T 45

42 NQ4(II4)=NQ4(II4)+1

KQ4=KQ4-1

45 RETURN

STOP

END

DIMENSION AQ(630,4),BN1(9910),NC1(9310)

A1=0.
K1=K1+1
BN1(K1)=AQ(I1,J1)
IF(K1-1)15,15,10
10 DO 13 II1=1,K1-1
IF(BN1(K1)-BN1(II1))13,12,11
11 A1=BN1(K1)
BN1(K1)=BN1(II1)
BN1(II1)=A1
N1=NC1(K1)
NC1(K1)=NC1(II1)
NC1(II1)=N1
13 CONTINUE
GO TO 15
12 NC1(II1)=NC1(II1)+1
K1=K1-1
15 RETURN
STOP
END

SUBROUTINE RSN (IX,SREF)
1F(N,-2)1,2,21
21 1F(N,-4)3,4,10
22 1F(N,-6)5,6,23
23 1F(N,-8)7,8,24
24 1F(N,-10)9,10,25
25 1F(N,-12)11,12,26
26 1F(N,-14)13,14,1
1 SREF=35.386
GO TO 27
2 SREF=34.314
GO TO 27
3 SREF=34.330
GO TO 27
4 SREF=33.473
GO TO 27
5 SREF=0.
GO TO 27
6 SREF=33.091
GO TO 27
7 SREF=0.
GO TO 27
8 SREF=31.392
GO TO 27
9 SREF=0.
GO TO 27
10 SREF=0.
GO TO 27
11 SREF=31.493
GO TO 27
12 SREF=0.
GO TO 27
13 SREF=0.
GO TO 27
14 SREF=0.
GO TO 27
15 SREF=34.182
27 RETURN
STOP
END

SUBROUTINE CONT2(AQ,BN2,NC2,K2,I1,J1)

DIMENSION AQ(630,4),BN2(9910),NC2(9910)

A2=0.
K2=K2+1
BN2(K2)=AQ(I1,J1)
IF(K2-1)25,25,20
20 DO 23 II2=1,K2-1
IF(BN2(K2)-BN2(II2))23,22,21
21 A2=BN2(K2)
BN2(K2)=BN2(II2)
BN2(II2)=A2
N2=NC2(K2)
NC2(K2)=NC2(II2)
NC2(II2)=N2
23 CONTINUE
GO TO 25
22 NC2(II2)=NC2(II2)+1
K2=K2-1
25 RETURN
STOP

```

SUBROUTINE LEI1(QE,..)
DIMENSION QE(128),QD(128)
C   LADO ESQUERDO
QE(1)=0.9930
QE(2)=0.9910
QE(3)=0.9900
QE(4)=0.9890
QE(5)=0.9880
QE(6)=0.9870
QE(7)=0.9860
QE(8)=0.9850
QE(9)=0.9840
QE(10)=0.9830
QE(11)=0.9810
QE(12)=0.9770
QE(13)=0.9740
QE(14)=0.9720
QE(15)=0.9700
QE(16)=0.9640
QE(17)=0.9600
QE(18)=0.9550
QE(19)=0.9500
QE(20)=0.9420
QE(21)=0.9330
QE(22)=0.9200
QE(23)=0.9080
QE(24)=0.8960
QE(25)=0.8830
QE(26)=0.8700
QE(27)=0.8550
QE(28)=0.8400
QE(29)=0.8180
QE(30)=0.8000
QE(31)=0.7200
QE(32)=0.6000
QE(33)=0.4700
QE(34)=0.3000
QE(35)=0.0000
QE(36)=0.0000
C   LADO DIREITO
QD(1)=1.007
QD(2)=1.009
QD(3)=1.011
QD(4)=1.013
QD(5)=1.015
QD(6)=1.017
QD(7)=1.018
QD(8)=1.019
QD(9)=1.020
QD(10)=1.021
QD(11)=1.022
QD(12)=1.023
QD(13)=1.024
QD(14)=1.025
QD(15)=1.027
QD(16)=1.028
QD(17)=1.029
QD(18)=1.030
QD(19)=1.032
C   SUBROUTINE LEI2(L1,..)
DIMENSION L1(128),QD(128)
C   LADO E. QUEIROZ
L1(1)=0.9920
L1(2)=0.9900
L1(3)=0.9885
L1(4)=0.9873
L1(5)=0.9861
L1(6)=0.9850
L1(7)=0.9840
L1(8)=0.9830
L1(9)=0.9815
L1(10)=0.9800
L1(11)=0.9780
L1(12)=0.9760
L1(13)=0.9730
L1(14)=0.9700
L1(15)=0.9630
L1(16)=0.9560
L1(17)=0.9490
L1(18)=0.9410
L1(19)=0.9320
L1(20)=0.9220
L1(21)=0.9090
L1(22)=0.7320
L1(23)=0.8670
L1(24)=0.8530
L1(25)=0.8400
L1(26)=0.8200
L1(27)=0.7940
L1(28)=0.7640
L1(29)=0.7200
L1(30)=0.6000
L1(31)=0.5000
L1(32)=0.2800
L1(33)=0.0000
L1(34)=0.0000
C   LADO DIREITO
QD(1)=1.007
QD(2)=1.009
QD(3)=1.010
QD(4)=1.011
QD(5)=1.013
QD(6)=1.014
QD(7)=1.015
QD(8)=1.017
QD(9)=1.020
QD(10)=1.022
QD(11)=1.025
QD(12)=1.027
QD(13)=1.029
QD(14)=1.031
QD(15)=1.034
QD(16)=1.038
QD(17)=1.042
QD(18)=1.045
QD(19)=1.055
QD(20)=1.063
QD(21)=1.084

```

```

    QD(22)=1.040
    QD(23)=1.042
    QD(24)=1.044
    QD(25)=1.047
    QD(26)=1.050
    QD(27)=1.053
    QD(28)=1.057
    QD(29)=1.061
    QD(30)=1.082
    QD(31)=1.140
    QD(32)=1.280
    QD(33)=1.560
    QD(34)=2.000
    QD(35)=2.000
    QD(36)=2.000
    DO 2 1C=37,128
    QD(1C)=2.00
2      QE(1C)=0.00
      RETURN
      STOP
      END

```

```

SUBROUTINE LEI3(QE,QD)
DIMENSION QE(128),QD(128)
C   LADO ESQUERDO
    QE(1)=0.995
    QE(2)=0.990816
    QE(3)=0.987674
    QE(4)=0.98334
    QE(5)=0.980296
    QE(6)=0.978888
    QE(7)=0.977634
    QE(8)=0.973586
    QE(9)=0.968750
    QE(10)=0.952752
    QE(11)=0.93613688
    QE(12)=0.8971964
    QE(13)=0.8528035
    QE(14)=0.8333333
    QE(15)=0.813863
    QE(16)=0.7861368
    QE(17)=0.5471964
    QE(18)=0.3500000
    QE(19)=0.2000
    QE(20)=0.0000
C   LADO DIREITO
    QD(1)=1.005
    QD(2)=1.007092
    QD(3)=1.012326
    QD(4)=1.0166667
    QD(5)=1.019697
    QD(6)=1.023781
    QD(7)=1.027501
    QD(8)=1.034999
    QD(9)=1.045001
    QD(10)=1.060263

```

```

SUBROUTINE LEI4(QE,1C)
DIMENSION QE(128),QD(128)
C   LADO ESQUERDO
    QE(1)=0.990
    QE(2)=0.987777
    QE(3)=0.983333
    QE(4)=0.976742
    QE(5)=0.972443
    QE(6)=0.967742
    QE(7)=0.961538
    QE(8)=0.952361
    QE(9)=0.944186
    QE(10)=0.92667
    QE(11)=0.70000
    QE(12)=0.00000
    QE(13)=0.00000
C   LADO DIREITO
    QD(1)=1.01
    QD(2)=1.0102743
    QD(3)=1.010506
    QD(4)=1.023259
    QD(5)=1.027027
    QD(6)=1.03225
    QD(7)=1.038482
    QD(8)=1.047619
    QD(9)=1.064000
    QD(10)=1.0-000
    QD(11)=1.45000
    QD(12)=2.00000
    QD(13)=2.00000
    DO 2 1C=14,12
    QD(1C)=2.0000
    QE(1C)=0.000
    RETURN
    STOP
    END

```

```

QD(11)=1.073071
QD(12)=1.093589
QD(13)=1.128632
QD(14)=1.2070818
QD(15)=1.3000000
QD(16)=1.4200000
QD(17)=1.5800000
QD(18)=1.7500000
QD(19)=2.0000000
QD(20)=255.00
DO 2 IC=21,128
QD(IC)=255.00
2 QE(IC)=0.000
RETURN
STOP
END

```

SUBROUTINE LEI5(QE,QD)
DIMENSION QE(128),QD(128)

C LADO EZQUERDO
QE(1)=0.9920
QE(2)=0.9900
QE(3)=0.9885
QE(4)=0.9873
QE(5)=0.9861
QE(6)=0.9850
QE(7)=0.9840
QE(8)=0.9830
QE(9)=0.9815
QE(10)=0.9800
QE(11)=0.9780
QE(12)=0.9760
QE(13)=0.9730
QE(14)=0.9680
QE(15)=0.9630
QE(16)=0.9560
QE(17)=0.9490
QE(18)=0.9410
QE(19)=0.9320
QE(20)=0.9220
QE(21)=0.9090
QE(22)=0.8820
QE(23)=0.8670
QE(24)=0.8530
QE(25)=0.8400
QE(26)=0.8200
QE(27)=0.7940
QE(28)=0.7640
QE(29)=0.7200
QE(30)=0.6000
QE(31)=0.5000
QE(32)=0.2800
QE(33)=0.1400
QE(34)=0.0000

C LADO DIREITO
QD(1)=1.007
QD(2)=1.009
QD(3)=1.010

SUBROUTINE LEI5(QE,QD)
DIMENSION QE(128),QD(128)
C LADO E QUERDO
QE(1)=0.9950
QE(2)=0.9910
QE(3)=0.9900
QE(4)=0.9880
QE(5)=0.9860
QE(6)=0.9840
QE(7)=0.9810
QE(8)=0.9740
QE(9)=0.9700
QE(10)=0.9690
QE(11)=0.9600
QE(12)=0.9500
QE(13)=0.9400
QE(14)=0.9300
QE(15)=0.9200
QE(16)=0.9100
QE(17)=0.9000
QE(18)=0.8900
QE(19)=0.8780
QE(20)=0.8600
QE(21)=0.7000
QE(22)=0.5000
QE(23)=0.0000
C LADO DIREITO
QD(1)=1.001
QD(2)=1.009
QD(3)=1.013
QD(4)=1.017
QD(5)=1.011
QD(6)=1.021
QD(7)=1.023
QD(8)=1.025
QD(9)=1.021
QD(10)=1.030
QD(11)=1.034
QD(12)=1.042
QD(13)=1.055
QD(14)=1.070
QD(15)=1.100
QD(16)=1.500
QD(17)=2.000
QD(18)=2.000
DO 2 IC=19,128
2 QE(IC)=0.000
RETURN
STOP
END

```
QD(4)=1.011  
QD(5)=1.014  
QD(6)=1.013  
QD(7)=1.015  
QD(8)=1.017  
QD(9)=1.020  
QD(10)=1.023  
QD(11)=1.025  
QD(12)=1.027  
QD(13)=1.029  
QD(14)=1.031  
QD(15)=1.034  
QD(16)=1.038  
QD(17)=1.042  
QD(18)=1.048  
QD(19)=1.055  
QD(20)=1.063  
QD(21)=1.084  
QD(22)=1.100  
QD(23)=1.120  
QD(24)=1.160  
QD(25)=1.220  
QD(26)=1.310  
QD(27)=1.400  
QD(28)=1.470  
QD(29)=1.540  
QD(30)=1.650  
QD(31)=1.740  
QD(32)=1.810  
QD(33)=1.900  
QD(34)=2.000  
DO 2 IC=35,128
```

```
    QD(IC)=2.000
```

```
    QE(IC)=0.000
```

```
    RETURN
```

```
    STOP
```

```
END
```

```
SUBROUTINE LEI7(QE,QD)  
DIMENSION QE(128),QD(128)
```

```
C LADO ESQUERDO
```

```
QE(1)=0.9950  
QE(2)=0.9910  
QE(3)=0.9900  
QE(4)=0.9880  
QE(5)=0.9860  
QE(6)=0.9840  
QE(7)=0.9810  
QE(8)=0.9740  
QE(9)=0.9700  
QE(10)=0.9600  
QE(11)=0.9500
```

```
SUBROUTINE LEI8(QE,..)
```

```
DIMENSION QE(128),QD(128)
```

```
C LADO ESQUERDO
```

```
QE(1)=0.9920  
QE(2)=0.9920  
QE(3)=0.9885  
QE(4)=0.9873  
QE(5)=0.9851  
QE(6)=0.9850  
QE(7)=0.9840  
QE(8)=0.9830  
QE(9)=0.9815  
QE(10)=0.9790  
QE(11)=0.9780  
QE(12)=0.9760  
QE(13)=0.9730  
QE(14)=0.9680  
QE(15)=0.9630  
QE(16)=0.9510  
QE(17)=0.9490  
QE(18)=0.9410  
QE(19)=0.9320  
QE(20)=0.9220  
QE(21)=0.9090  
QE(22)=0.8820  
QE(23)=0.8700  
QE(24)=0.8530  
QE(25)=0.8400  
QE(26)=0.8200  
QE(27)=0.7400  
QE(28)=0.7640  
QE(29)=0.7200  
QE(30)=0.6000  
QE(31)=0.5000  
QE(32)=0.2800  
QE(33)=0.0600  
QE(34)=0.0000
```

```
C LADO DIREITO
```

```
QD(1)=1.007  
QD(2)=1.009  
QD(3)=1.010  
QD(4)=1.011  
QD(5)=1.012  
QD(6)=1.013  
QD(7)=1.014  
QD(8)=1.015  
QD(9)=1.018  
QD(10)=1.020  
QD(11)=1.022  
QD(12)=1.024  
QD(13)=1.026  
QD(14)=1.018  
QD(15)=1.030  
QD(16)=1.023  
QD(17)=1.036  
QD(18)=1.040  
QD(19)=1.045
```

QE(1)=0.9900
QE(2)=0.9080
QE(3)=0.8900
QE(4)=0.8750
QE(5)=0.8000
QE(6)=0.7000
QE(7)=0.5000
QE(8)=0.0000

C LADO DIREITO

QD(1)=1.005
QD(2)=1.009
QD(3)=1.013
QD(4)=1.017
QD(5)=1.019
QD(6)=1.021
QD(7)=1.023
QD(8)=1.025
QD(9)=1.028
QD(10)=1.030
QD(11)=1.034
QD(12)=1.040
QD(13)=1.050
QD(14)=1.060
QD(15)=1.090
QD(16)=1.300
QD(17)=1.600
QD(18)=2.000
QD(19)=255.00

DO 2 IC=20,128
QD(IC)=255.00

QE(IC)=0.000
RETURN
STOP
END

SUBROUTINE LEI9(QE,QD)
DIMENSION QE(128),QD(128)
QE(1)=0.9940
QE(2)=0.9920
QE(3)=0.9910
QE(4)=0.9905
QE(5)=0.9900
QE(6)=0.9895
QE(7)=0.9890
QE(8)=0.9885
QE(9)=0.9880
QE(10)=0.9875
QE(11)=0.9870
QE(12)=0.9865
QE(13)=0.9860
QE(14)=0.9855
QE(15)=0.9850
QE(16)=0.9845
QE(17)=0.9840
QE(18)=0.9835
QE(19)=0.9830
QE(20)=0.9825
QE(21)=0.9820

QD(2)=1.050
QD(3)=1.057
QD(4)=1.062
QD(5)=1.072
QD(6)=1.075
QD(7)=1.100
QD(8)=1.120
QD(9)=1.150
QD(10)=1.200
QD(11)=1.230
QD(12)=1.380
QD(13)=1.520
QD(14)=1.700
QD(15)=2.000
QD(16)=2.050
DO 2 IC=35,128
QD(IC)=2.00
QE(IC)=0.00
RETURN
STOP
END

2

QE(24)=0.9810	QD(14)=1.0185
QE(25)=0.9780	QD(15)=1.019
QE(26)=0.9770	QD(16)=1.0195
QE(27)=0.9760	QD(17)=1.020
QE(28)=0.9740	QD(18)=1.0205
QE(29)=0.9730	QD(19)=1.021
QE(30)=0.9710	QD(20)=1.0215
QE(31)=0.9700	QD(21)=1.022
QE(32)=0.9680	QD(22)=1.0225
QE(33)=0.9640	QD(23)=1.023
QE(34)=0.9610	QD(24)=1.0235
QE(35)=0.9570	QD(25)=1.024
QE(36)=0.9550	QD(26)=1.0255
QE(37)=0.9530	QD(27)=1.027
QE(38)=0.9500	QD(28)=1.028
QE(39)=0.9460	QD(29)=1.029
QE(40)=0.9400	QD(30)=1.030
QE(41)=0.9350	QD(31)=1.031
QE(42)=0.9270	QD(32)=1.032
QE(43)=0.9200	QD(33)=1.033
QE(44)=0.9150	QD(34)=1.034
QE(45)=0.9060	QD(35)=1.036
QE(46)=0.8940	QD(36)=1.038
QE(47)=0.8880	QD(37)=1.040
QE(48)=0.8700	QD(38)=1.042
QE(49)=0.8600	QD(39)=1.043
QE(50)=0.8500	QD(40)=1.045
QE(51)=0.8400	QD(41)=1.048
QE(52)=0.8280	QD(42)=1.052
QE(53)=0.8150	QD(43)=1.054
QE(54)=0.8020	QD(44)=1.057
QE(55)=0.7980	QD(45)=1.065
QE(56)=0.7800	QD(46)=1.070
QE(57)=0.7640	QD(47)=1.085
QE(58)=0.7460	QD(48)=1.095
QE(59)=0.7330	QD(49)=1.117
QE(60)=0.7200	QD(50)=1.133
QE(61)=0.7000	QD(51)=1.147
QE(62)=0.6400	QD(52)=1.161
QE(63)=0.5600	QD(53)=1.177
QE(64)=0.4400	QD(54)=1.193
QE(65)=0.2800	QD(55)=1.211
QE(66)=0.0400	QD(56)=1.231
QE(67)=0.0000	QD(57)=1.250
QE(68)=0.0000	QD(58)=1.275
LADO DIR.EITO	QD(59)=1.350
QD(1)=1.006	QD(60)=1.450
QD(2)=1.007	QD(61)=1.570
QD(3)=1.008	QD(62)=1.700
QD(4)=1.009	QD(63)=1.850
QD(5)=1.010	QD(64)=1.930
QD(6)=1.011	QD(65)=2.000
QD(7)=1.012	QD(66)=2.000
QD(8)=1.013	DD 2 IC=67,128
QD(9)=1.014	QD(1IC)=2.0000
QD(10)=1.015	QE(IC)=0.0000
QD(11)=1.016	RETURN
QD(12)=1.017	STOP
QD(13)=1.018	END

C9FC04+V1P2#

```
SUBROUTINE COEF8(IZ0,IZ1,IZ2,IZ3,AP0,AP1,AP2,AP3,BP0,BP1,BP2,
2 BP3,CP0,CP1,CP2,CP3)
LOGICAL Z0,Z1,Z2,Z3
DIMENSION AP0(12),AP1(12),AP2(12),AP3(12),BP0(12),BP1(12),
3 BP2(12),BP3(12),CP0(12),CP1(12),CP2(12),CP3(12),Z0(40),
4 Z1(40),Z2(40),Z3(40)
GO 7000 ICF=1,12
AP0(ICF)=0.
AP1(ICF)=0.
AP2(ICF)=0.
AP3(ICF)=0.
BP0(ICF)=0.
BP1(ICF)=0.
BP2(ICF)=0.
BP3(ICF)=0.
CP0(ICF)=0.
CP1(ICF)=0.
CP2(ICF)=0.
CP3(ICF)=0.
7000 CONTINUE
DO 8000 IZP=1,40
Z0(IZP)=.FALSE.
Z1(IZP)=.FALSE.
Z2(IZP)=.FALSE.
Z3(IZP)=.FALSE.
8000 CONTINUE
LZ0=IZ0-8000
LZ1=IZ1-8100
LZ2=IZ2-8200
LZ3=IZ3-8300
Z0(LZ0)=.TRUE.
Z1(LZ1)=.TRUE.
Z2(LZ2)=.TRUE.
Z3(LZ3)=.TRUE.
IF(Z0(1))GO TO 8001
IF(Z0(2))GO TO 8002
IF(Z0(3))GO TO 8003
IF(Z0(4))GO TO 8004
IF(Z0(5))GO TO 8005
IF(Z0(6))GO TO 8006
IF(Z0(7))GO TO 8007
IF(Z0(8))GO TO 8008
IF(Z0(9))GO TO 8009
IF(Z0(10))GO TO 8010
IF(Z0(11))GO TO 8011
IF(Z0(12))GO TO 8012
IF(Z0(13))GO TO 8013
IF(Z0(14))GO TO 8014
IF(Z0(15))GO TO 8015
IF(Z0(16))GO TO 8016
IF(Z0(17))GO TO 8017
IF(Z0(18))GO TO 8018
IF(Z0(19))GO TO 8019
IF(Z0(20))GO TO 8020
IF(Z0(21))GO TO 8021
IF(Z0(22))GO TO 8022
IF(Z0(23))GO TO 8023
IF(Z0(24))GO TO 8024
IF(Z0(25))GO TO 8025
```

IF(Z0(26))GO TO 8026	LPO(7)=1.
IF(Z0(27))GO TO 8'27	GO TO 8100
IF(Z0(28))GO TO 8028	c01. LPO(2)=1.
IF(Z0(29))GO TO 8029	LPO(5)=-1.
IF(Z0(30))GO TO 8030	LPO(7)=1.
8001 AP0(+) = 1.	GO TO 8100
GO TO 8100	801. LPO(3)=1.
8002 BPO(7)=1	AP0(7)=1.
GO TO 8100	LPO(5)=-1.
8003 LPO(1)=1.	GO TO 8100
GO TO 8100	8020 LPO(+) = 1.
8004 LPO(3)=1.	LPO(7)=1.
GO TO 8100	CPO(4)=-1.
8005 AP0(-)=-1./3.	GO TO 8100
BPO(7)=4./3.	8021 LPO(3)=-1.
GO TO 8100	AP0(7)=1.
8006 BPO(7)=2.	CPO(3)=1.
CP0(9)=-1.	GO TO 8100
GO TO 8100	8022 LPO(0)=1.
8007 BPO(7)=2./3.	CPO(5)=-1.
CP0(1)=1./3.	CPO(6)=1.
GO TO 8100	GO TO 8100
8008 AP0(2)=1.	8023 LPO(5)=1.
AP0(4)=-1.	CPO(3)=-1.
AP0(5)=1.	CPO(7)=1.
GO TO 8100	GO TO 8100
8009 AP0(1)=1.	8024 AP0(4)=-0.5
AP0(4)=-1.	BPO(7)=1.
AP0(5)=1.	CPO(5)=0.5
GO TO 8100	GO TO 8100
8010 AP0(2)=-1.	8025 AP0(4)=-1.
BPO(5)=1.	CP0(5)=1.
BPO(7)=1.	CPO(9)=1.
GO TO 8100	GO TO 8100
8011 AP0(1)=1.	8026 CP0(3)=1.
BPO(6)=-1.	CP0(5)=-1.
BPO(7)=1.	CP0(7)=1.
GO TO 8100	GO TO 8100
8012 AP0(1)=0.5	8027 BPO(4)=1.
BPO(5)=-0.5	BPO(6)=1.
BPO(7)=1.	CP0(5)=-1.
GO TO 8100	GO TO 8100
8013 AP0(5)=-0.5	8028 AP0(4)=-1.
BPO(+) = 0.5	BPO(5)=1.
BPO(7)=1.	BPO(9)=1.
GO TO 8100	GO TO 8100
8014 AP0(4)=-(1./3.)	8029 AP0(1)=1.
BPO(3)=1./3.	GO TO 8100
BPO(7)=1.	8030 BPO(5)=1.
GO TO 8100	GO TO 8100
8015 AP0(1)=1.	8100 IF(Z1(1))GO TO 8101
CP0(+)=-1.	IF(Z1(2))GO TO 8102
LPO(6)=1.	IF(Z1(3))GO TO 8103
GO TO 8100	IF(Z1(4))GO TO 8104
8016 AP0(1)=1.	IF(Z1(5))GO TO 8105
AP0(4)=-1.	IF(Z1(6))GO TO 8106
CP0(5)=1.	IF(Z1(7))GO TO 8107
GO TO 8100	IF(Z1(8))GO TO 8108
8017 AP0(2)=1.	IF(Z1(9))GO TO 8109
AP0(4)=-1.	IF(Z1(10))GO TO 8110

```

IF(Z1(11))GO TO 8111
IF(Z1(12))GO TO 8112
IF(Z1(13))GO TO 8113
IF(Z1(14))GO TO 8114
IF(Z1(15))GO TO 8115
IF(Z1(16))GO TO 8116
IF(Z1(17))GO TO 8117
IF(Z1(18))GO TO 8118
IF(Z1(19))GO TO 8119
IF(Z1(20))GO TO 8120
IF(Z1(21))GO TO 8121
IF(Z1(22))GO TO 8122
IF(Z1(23))GO TO 8123
IF(Z1(24))GO TO 8124
IF(Z1(25))GO TO 8125
IF(Z1(26))GO TO 8126
IF(Z1(27))GO TO 8127
IF(Z1(28))GO TO 8128
IF(Z1(29))GO TO 8129
IF(Z1(30))GO TO 8130
8101 AP1(7)=1.
      GO TO 8200
8102 BP1(5)=1.
      GO TO 8200
8103 BP1(10)=1.
      GO TO 8200
8104 CP1(5)=1.
      GO TO 8200
8105 AP1(9)=0.5
      BP1(5)=0.5
      GO TO 8200
8106 BP1(6)=0.5
      CP1(10)=0.5
      GO TO 8200
8107 BP1(6)=0.5
      CP1(1)=0.5
      GO TO 8200
8108 AP1(3)=1.
      AP1(5)=-1.
      AP1(7)=1.
      GO TO 8200
8109 AP1(1)=1.
      AP1(5)=-1.
      AP1(6)=1.
      GO TO 8200
8110 AP1(1)=1.
      BP1(5)=-1.
      BP1(6)=1.
      GO TO 8200
8111 AP1(5)=-1.
      BP1(4)=1.
      BP1(6)=1.
      GO TO 8200
8112 AP1(1)=0.5
      BP1(5)=-0.5
      BP1(6)=1.
      GO TO 8200
8113 AP1(3)=-0.5
      BP1(4)=0.5
      BP1(6)=1.
      GO TO 8200
8114 AP1(4)=-1.
      CP1(3)=1.
      CP1(6)=1.
      GO TO 8200
8115 AP1(2)=1.
      CP1(6)=-1.
      CP1(7)=1.
      GO TO 8200
8116 AP1(2)=1.
      AP1(5)=-1.
      CP1(7)=1.
      GO TO 8200
8117 AP1(3)=1.
      AP1(5)=-1.
      CP1(6)=1.
      GO TO 8200
8118 AP1(3)=1.
      CP1(6)=-1.
      CP1(8)=1.
      GO TO 8200
8119 BP1(4)=1.
      BP1(3)=1.
      CP1(6)=-1.
      GO TO 8200
8120 BP1(4)=1.
      BP1(6)=1.
      CP1(4)=-1.
      GO TO 8200
8121 BP1(5)=1.
      BP1(6)=1.
      CP1(3)=-1.
      GO TO 8200
8122 BP1(6)=1.
      BP1(8)=-(1./3.)
      CP1(8)=1./3.
      GO TO 8200
8123 BP1(5)=1.
      CP1(6)=-1.
      CP1(7)=1.
      GO TO 8200
8124 AP1(4)=-1.
      BP1(6)=1.
      CP1(5)=1.
      GO TO 8200
8125 AP1(5)=-1.
      CP1(6)=1.
      CP1(10)=1.
      GO TO 8200
8126 BP1(5)=1.
      BP1(6)=1.
      CP1(5)=-1.
      GO TO 8200
8127 BP1(7)=1.
      CP1(5)=1.
      CP1(6)=-1.
      GO TO 8200
8128 AP1(5)=1.
      BP1(6)=1.
      CP1(10)=-1.
      GO TO 8200

```

GO TU 8200	8210 AP2(3)=1.
B129 AP1(2)=1.	BP2(-)= -1.
GO TO 8200	BP2(5)=1.
d130 CP1(c)=1.	GO TU 8300
GO TU 8200	8211 AP2(+)=1./3.
8200 IF(ZZ(1))GO TO 8201	BP2(2)=-(1./3.)
IF(ZZ(2))GO TO 8202	BP2(5)=1.
IF(ZZ(3))GO TO 8203	GO TU 8300
IF(ZZ(4))GO TO 8204	8212 AP2(3)=1.
IF(ZZ(5))GO TO 8205	BP2(1)=1.
IF(ZZ(6))GO TO 8206	BP2(8)=-1.
IF(ZZ(7))GO TO 8207	GO TU 8300
IF(ZZ(8))GO TO 8208	8213 AP2(4)=1.
IF(ZZ(9))GO TO 8209	BP2(7)=1.
IF(ZZ(10))GO TO 8210	BP2(2)=-1.
IF(ZZ(11))GO TO 8211	GO TU 8300
IF(ZZ(12))GO TO 8212	8214 AP2(5)=1.
IF(ZZ(13))GO TO 8213	BP2(1)=1.
IF(ZZ(14))GO TO 8214	BP2(9)=-1.
IF(ZZ(15))GO TO 8215	GO TU 8300
IF(ZZ(16))GO TO 8216	8215 AP2(3)=1.
IF(ZZ(17))GO TO 8217	CP2(7)=-1.
IF(ZZ(18))GO TO 8218	CP2(8)=1.
IF(ZZ(19))GO TO 8219	GO TU 8300
IF(ZZ(20))GO TO 8220	8216 AP2(2)=1.
IF(ZZ(21))GO TO 8221	AP2(5)=-1.
IF(ZZ(22))GO TO 8222	CP2(6)=1.
IF(ZZ(23))GO TO 8223	GO TU 8300
IF(ZZ(24))GO TO 8224	8217 AP2(+)=1.
IF(ZZ(25))GO TO 8225	AP2(6)=-1.
IF(ZZ(26))GO TO 8226	CP2(9)=1.
IF(ZZ(27))GO TO 8227	GO TU 8300
IF(ZZ(28))GO TO 8228	8218 AP2(4)=1.
IF(ZZ(29))GO TO 8229	CP2(7)=-1.
IF(ZZ(30))GO TO 8230	CP2(9)=1.
IF(ZZ(31))GO TO 8231	GO TU 8300
8201 AP2(b)=1.	8219 BP2(5)=1.
GO TO 8300	BP2(2)=1.
8202 BP2(5)=1.	CP2(7)=-1.
GO TU 8300	GO TU 8300
8203 BP2(3)=1.	8220 BP2(4)=1.
GO TU 8300	BP2(5)=1.
8204 BP2(7)=1.	CP2(4)=-1.
GO TU 8300	GO TU 8300
8205 AP2(10)=0.5	8221 BP2(6)=1.
BP2(2)=0.5	CP2(1)=1.
GO TU 8300	CP2(7)=-1.
8206 BP2()=0.5	GO TU 8300
CP2(11)=0.5	8222 BP2(7)=1.
GO TU 8300	CP2(2)=1.
8207 BP2(5)=0.5	CP2(7)=-1.
CP2(3)=0.5	GO TU 8300
GO TU 8300	8223 AP2(5)=2./3.
8208 AP2(4)=1.	BP2(1)=2./3.
AP2(2)=-1.	CP2(7)=-1.
AP2(1)=1.	GO TU 8300
GO TU 8300	8224 AP2(4)=0.5
8209 AP2(3)=1.	BP2(1)=1.
AP2(6)=-1.	CP2(5)=-0.5
AP2(7)=1.	

GO TO 8300
 8225 AP2(1)=-1.
 CP2(7)=1.
 CP2(11)=1.
 GO TO 8300
 8226 BP2(3)=-1.
 BP2(5)=1.
 CP2(5)=1.
 GO TO 8300
 8227 BP2(6)=1.
 BP2(9)=-1.
 LP2(5)=1.
 GO TO 8300
 8228 AP2(6)=-1.
 CP2(7)=1.
 CP2(11)=1.
 GO TO 8300
 8229 AP2(3)=1.
 GO TO 8300
 8230 BP2(7)=1.
 GO TO 8300
 8231 AP2(1)=1.
 BP2(5)=1.
 CP2(9)=-1.
 GO TO 8300
 8300 IF(Z3(1))GO TO 8301
 IF(Z3(2))GO TO 8302
 IF(Z3(3))GO TO 8303
 IF(Z3(4))GO TO 8304
 IF(Z3(5))GO TO 8305
 IF(Z3(6))GO TO 8306
 IF(Z3(7))GO TO 8307
 IF(Z3(8))GO TO 8308
 IF(Z3(9))GO TO 8309
 IF(Z3(10))GO TO 8310
 IF(Z3(11))GO TO 8311
 IF(Z3(12))GO TO 8312
 IF(Z3(13))GO TO 8313
 IF(Z3(14))GO TO 8314
 IF(Z3(15))GO TO 8315
 IF(Z3(16))GO TO 8316
 IF(Z3(17))GO TO 8317
 IF(Z3(18))GO TO 8318
 IF(Z3(19))GO TO 8319
 IF(Z3(20))GO TO 8320
 IF(Z3(21))GO TO 8321
 IF(Z3(22))GO TO 8322
 IF(Z3(23))GO TO 8323
 IF(Z3(24))GO TO 8324
 IF(Z3(25))GO TO 8325
 IF(Z3(26))GO TO 8326
 IF(Z3(27))GO TO 8327
 IF(Z3(28))GO TO 8328
 IF(Z3(29))GO TO 8329
 IF(Z3(30))GO TO 8330
 8301 AP3(3)=1.
 GO TO 8400
 8302 BP3(12)=1.
 GO TO 8400
 8304 BP3(4)=1.
 GO TO 8400
 8305 AP3(1)=0.5
 BP3(4)=0.5
 GO TO 8400
 8306 BP3(4)=0.5
 BP3(12)=0.5
 GO TO 8400
 8307 CP3(4)=0.5
 CP3(12)=0.5
 GO TO 8400
 8308 AP3(3)=1.
 AP3(7)=-1.
 AP3(9)=1.
 GO TO 8400
 8309 AP3(4)=1.
 AP3(7)=-1.
 AP3(1)=1.
 GO TO 8400
 8310 AP3(4)=1.
 AP3(7)=1.
 AP3(8)=-1.
 GO TO 8400
 8311 AP3(5)=1.
 BP3(5)=1.
 BP3(6)=-1.
 GO TO 8400
 8312 AP3(6)=1.
 SP3(5)=1.
 BP3(8)=-1.
 GO TO 8400
 8313 AP3(6)=-2.
 SP3(9)=2.
 SP3(12)=1.
 GO TO 8400
 8314 AP3(5)=1.
 BP3(10)=-1.
 BP3(12)=1.
 GO TO 8400
 8315 AP3(1)=1.
 CP3(3)=-1.
 CP3(9)=1.
 GO TO 8400
 8316 AP3(4)=1.
 AP3(7)=-1.
 CP3(9)=1.
 GO TO 8400
 8317 AP3(3)=1.
 AP3(7)=-1.
 CP3(10)=1.
 GO TO 8400
 8318 AP3(3)=1.
 CP3(8)=-1.
 CP3(10)=1.
 GO TO 8400
 8319 BP3(3)=1.
 BP3(10)=1.
 CP3(8)=-1.
 GO TO 8400
 8320 AP3(4)=1.
 CP3(7)=1.
 CP3(9)=-1.
 GO TO 8400
 8321 AP3(5)=1.
 CP3(6)=1.
 CP3(9)=-1.
 GO TO 8400
 8322 CP3(5)=1.
 CP3(10)=1.
 GO TO 8400
 8323 BP3(6)=-1.
 CP3(8)=1.
 CP3(10)=1.
 GO TO 8400
 8324 BP3(8)=-1.
 CP3(7)=1.
 CP3(11)=1.
 GO TO 8400
 8325 AP3(7)=-1.
 CP3(5)=1.
 CP3(12)=1.
 GO TO 8400
 8326 AP3(4)=3./4.
 BP3(6)=-1.
 CP3(9)=3./4.
 GO TO 8400
 8327 BP3(8)=1.
 BP3(12)=1.
 CP3(8)=-1.
 GO TO 8400
 8328 AP3(7)=-1.
 BP3(5)=1.
 BP3(12)=1.
 GO TO 8400
 8329 AP3(4)=1.
 GO TO 8400
 8330 BP3(6)=1.
 GO TO 8400
 8400 RETURN
 STOP
 END

```

C PROGRAMA ESCRIVE TODOS OS NUMEROS DO QUOCIENTE
C ONDE O NUMERADOR E (0-255) E DENOMINADOR E(1-255)
C ORDENANDO A SEQUENCIA DE MAIOR PARA MENOR E AS
C VEZES QUE SE REPITE CADA NUMERO.
C
C ****PROGRAMA MATRIZ DIVISION DE SMPTE****
C
C INTEGER N1,N2,N3,I3,K,M,L4
C INTEGER NC(65250),ND(55280),NN(65250),NK(65250)
C REAL Q(65280),B(65280)
C REAL A,AA,BA,BB
C KDE=255
C KNU=256
C KN=0
C LT=KDE*KNU
C DO 2 I1=1,LT
C   Q(I1)=0.0
C   B(I1)=0.
C   NC(I1)=0
C   ND(I1)=0
C   NN(I1)=0
C   NK(I1)=0
C
C 2 CONTINUE
C   N1=0
C   M1=0
C   DO 5 NDE=1,KDE
C     DO 4 N4=1,KNU
C       NUM=N4-1
C       N1=N1+1
C       Q1=(NUM+NDE)/2
C       PRINT*, ' Q1=',Q1
C       MQ=IFIX(FLOAT(NUM+NDE)/2+0.5)
C       PRINT*, 'NDE=',NDE,' NUM=',NUM,' MQ=',MQ
C       Q(N1)=FLOAT(NUM)/FLOAT(MQ)
C       C=Q(N1)
C
C       WRITE(70,3)N1,N3,N2
C       FORMAT('Q(*,1I5,*),1I3,*/*,1I3:')
C
C 4 CONTINUE
C
C 5 CONTINUE
C
C *****NUMERO DE VEZES QUE SE REPITE O NUMERO*****
C
C LM=1
C LK=1
C LJ=0
C I2=1
C K=0
C AA=0.0
C A=0.0
C I3=1
C
C 6 DO 11 I4=I3,LT
C   IF(Q(I3)-Q(I4))10,9,10
C
C 9   K=K+1
C
C 10  CONTINUE
C
C 11  CONTINUE
C
C   M1=M1+1
C   B(M1)=Q(I3)
C   ND(M1)=LM
C   NN(M1)=NC(LK)
C   NK(M1)=K
C   AA=Q(I3)
C
C   PRINT*, 'D=',LK,' N=',NC(LK),' B(*,M1,*),1I3,* VS=*,K

```

```

      WRITE(70,12)LM,NC(LK),I3,AA,K,M)
12    FORMAT('D=',1I3,3X,'N=' +1I3,3X,'O(*,1I4,*= *,1F10.11,*)',
* 'NUM VECES=',1I5,2X,* M=*,1I5 :)
      K=C
13    I3=I3+1
      IF(I3-(LT+1))14,19,14
14    LJ=LJ+1
      LK=LK+1
      NC(LK)=LJ
      IF(LJ-KNU)16,15,15
15    LJ=0
      LM=LM+1
16    J1=I3-1
      DO 18 I5=1,J1
      IF(Q(I3)-Q(I5))18,13,18
18    CONTINUE
      IF(I3-(LT))8,19,8
C
C*****ORDENACAO DE MAIOR AO MENOR*****
19    L2=1
      N2=2
20    DO 25 L1=N2,M1
      IF(B(L2)-B(L1))21,22,22
21    BC=B(L2)
      B(L2)=B(L1)
      B(L1)=BC
      LD=ND(L2)
      ND(L2)=ND(L1)
      ND(L1)=LD
      LE=NN(L2)
      NN(L2)=NN(L1)
      NN(L1)=LE
      LK=NK(L2)
      NK(L2)=NK(L1)
      NK(L1)=LK
C
C     PRINT*,NN(L2)
22    CONTINUE
25    CONTINUE
      L2=L2+1
      N2=L2+1
      IF(L2-M1)20,26,26
26    DO 28 L4=1,M1
      BA=B(L4)
      BB=B(L4)-B(L4+1)
      KD=ND(L4)
      KE=NN(L4)
      KK=NK(L4)
      PRINT*, 'B(*,L4,*= *,DA,* D=*,ND(L4),* N=*,NN(L4),* VECES=*,KK
      WRITE(71,27)L4,BA,BB,KD,KE,KK
27    FORMAT('B(*,1I5,*= *,1F12.8,3X,*DELTA=*,1F12.8,3X,
* * D=*,1I3,3X,*N=*,1I3,3X,*VEZES=*,1I5 :)
28    CONTINUE
      DO 32 L5=1,M1
      IF(NK(L5)-12)32,30,30
30    KN=KN+1
      WRITE(73,31)KN,L5,B(L5),ND(L5),NN(L5),NK(L5)
31    FORMAT(2X,15,3X,'B(*,1I5,*= *,1F12.8,3X,
* * D=*,1I2,3X,*N=*,1I3,3X,*VEZES=*,1I6 :)
      GO TO 33
32    CONTINUE
33    CONTINUE

```

B I B L I O G R A F I A

- B I B L I O G R A F I A -

CAPÍTULO I

- [1.1] - AFONSO DE O. ALONSO, JOÃO B. T. YABU-UTI, NORMONDS ALENS e YUZO IANO - DIGITALIZAÇÃO DE SINAIS DE TV. CONTRATO TELEBRÁS 033/80 - RELATÓRIO TÉCNICO RT-80, Dezembro 1980.
- [1.2] - LIMB, J. O., RUBINSTEINS, C. B. AND THOMPSON, J. E. - "DIGITAL CODING OF COLOUR VIDEO SIGNALS - A REVIEW" - IEEE TRANS ON COMM., vol. COM-25 nº 11, November 1977.
- [1.3] - GODALL, W. W - TELEVISION PULSE CODE MODULATIONS - B. S. T. J., vol 30 nº 1, pp 33,49, January/1961.
- [1.4] - PRATT, W.K. - DIGITAL IMAGE PROCESSING. A. WILEY, INTERSCIENCE PUB., J. WILEY & SONS, 1978.
- [1.5] - NELSON ORLANDO SENATORI - INTRODUÇÃO A TV A CORES, SISTEMA "PAL-M" - vol 1, Princípios, Biblioteca Técnica IBRAPE, 2ª edição 1971.
- [1.6] - BARRETO BAIRD GUILHERME - UM SISTEMA MCPD PARA TRANSMISSÃO DIGITAL DE SINAL DE TV EM CORES COM PREDIÇÃO LINEAR E QUANTIZAÇÃO OTIMIZADA - TESE DE MESTRADO 1989.

CAPÍTULO II

- [2.1] - YUZO IANO, NORMONDS ALENS, AFONSO DE O. ALONSO, JOÃO B. T. YABU-UTI e LUIS C. MARTINI - PROCESSAMENTO DIGITAL DE SINAIS DE TV POR UM SISTEMA MCPD USANDO PREDIÇÃO E QUANTIZAÇÃO - CONTRATO TELEBRÁS 024A/83 RELATÓRIO TÉCNICO RT-134, Fevereiro 1986.
- [2.2] - RATLIFF, P. A. - BIT RATE REDUCTION FOR HIGH QUALITY DIGITAL TELEVISION TRANSMISSION - BBC RESEARCH DEPARTMENT, UK, September 1978.
- [2.3] - AFONSO DE O. ALONSO, JOÃO B. T. YABU-UTI, NORMONDS ALENS e YUZO IANO - DIGITALIZAÇÃO DE SINAIS DE TV. CONTRATO TELEBRÁS 033/80 - RELATÓRIO TÉCNICO RT-80, Dezembro 1980.
- [2.4] - MAX, JOEL - QUANTIZING FOR MINIMUM DISTORTION. IRE TRANSACTION ON INFORMATION THEORY - vol. IT-6, pp 7-12 Março 1960.

CAPÍTULO III

- [3.1] - MAX, JOEL - QUANTIZING FOR MINIMUM DISTORTION. IRE TRANSACTION ON INFORMATION THEORY - vol. IT-6, pp 7-12 Março 1960.
- [3.2] - YUZO IANO - DIGITALIZAÇÃO DE SINAIS DE TV ATRAVÉS DE UM SISTEMA MCPD USANDO PREDIÇÃO E QUANTIZAÇÃO - TESE DE DOUTORADO - UNICAMP, Janeiro 1987.
- [3.3] - INTERIM WORKING PARTY 11/4 "DRAFT REVISION OF RECOMMENDATION 500-3" CCIR STUDY GROUPS 20 July, 1987.

CAPÍTULO IV

- [4.1] - YUZO IANO - DIGITALIZAÇÃO DE SINAIS DE TV ATRAVÉS DE UM SISTEMA MCPD USANDO PREDIÇÃO E QUANTIZAÇÃO - TESE DE DOUTORADO - UNICAMP, Janeiro 1987.
- [4.2] - YUZO IANO, AFONSO DE O. ALONSO, NORMONDS ALENS, JOÃO B.T. YABU-UTI e LUIS C. MARTINI - "PROGRAMAS DE COMPUTADOR PARA SIMULAÇÃO DE PROCESSAMENTOS DIGITAIS DE IMAGENS NO SISTEMA MCPD" - CONTRATO TELEBRÁS 208/87, RT-154.
- [4.3] - YUZO IANO, AFONSO DE O. ALONSO, NORMONDS ALENS, JOÃO B.T. YABU-UTI e LUIS C. MARTINI - "IMAGENS DIGITALIZADAS DA SMPTE ARMAZENADAS EM FITAS MAGNÉTICAS" - CONTRATO TELEBRÁS 208/87, RT-153.